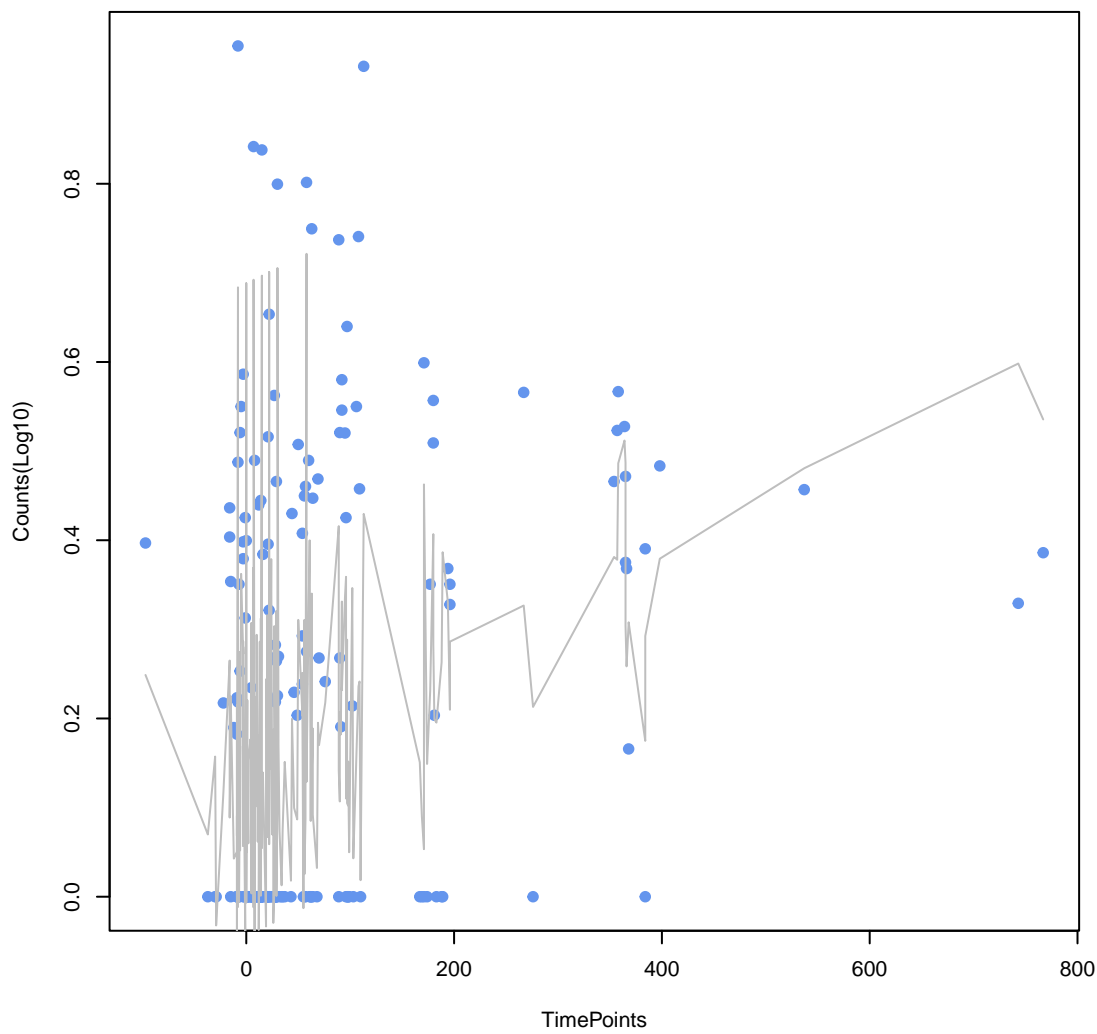
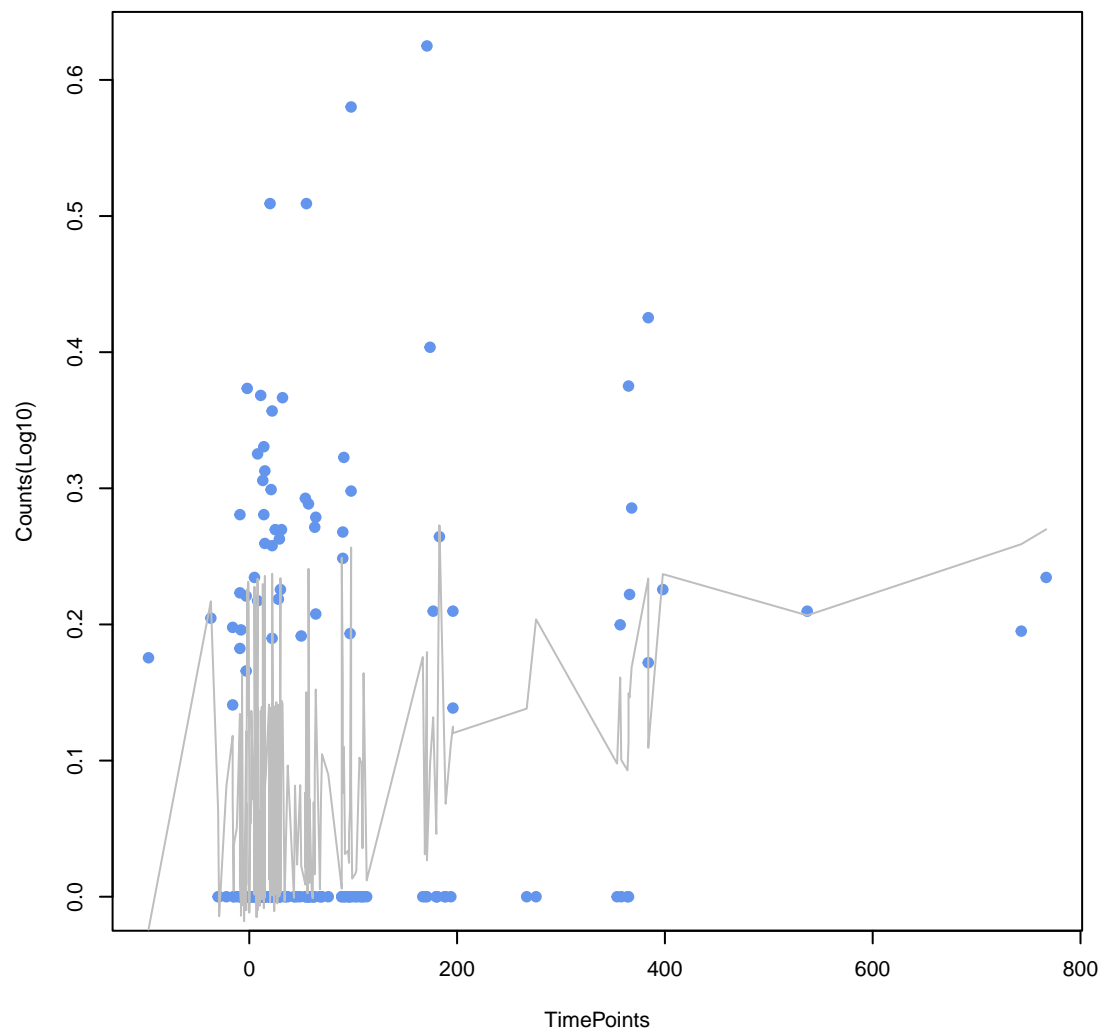


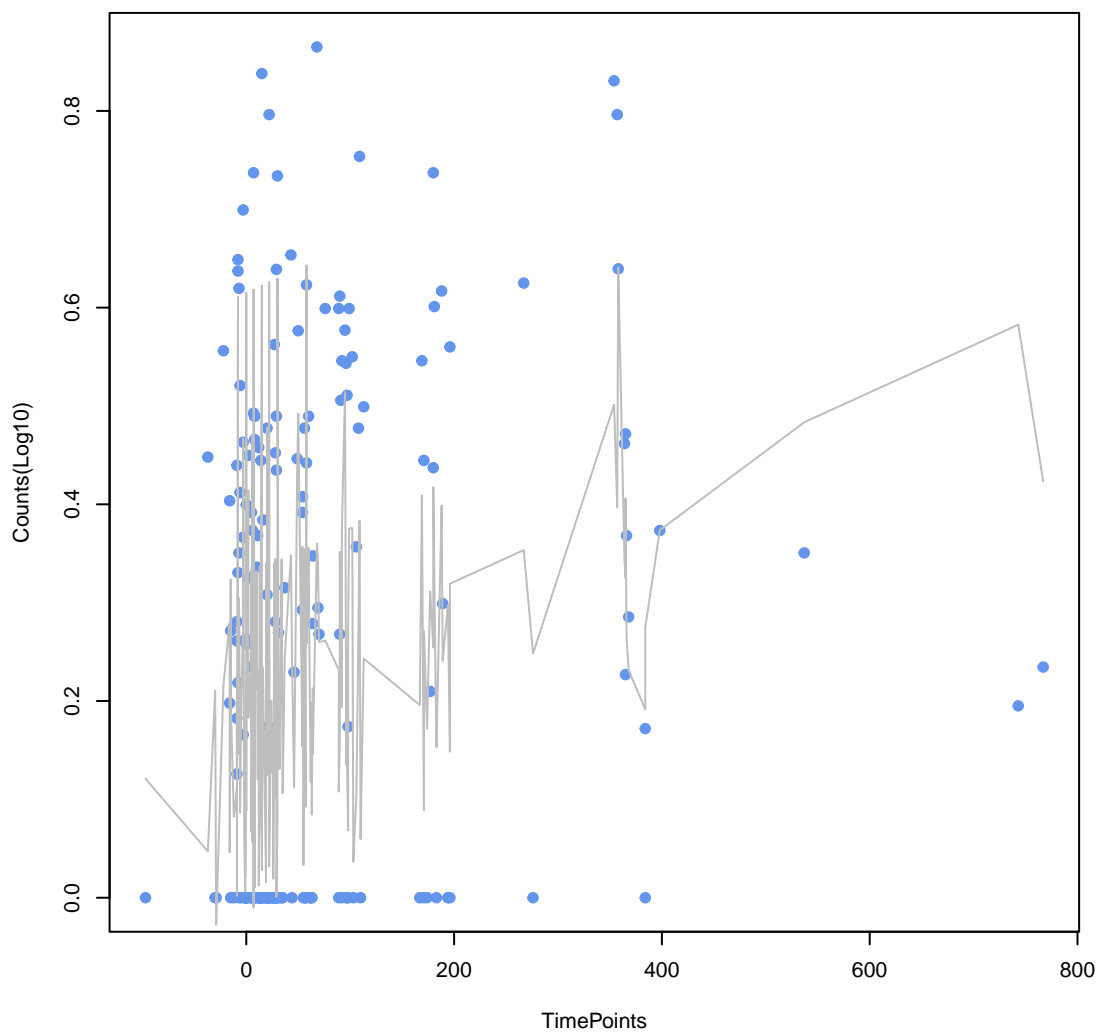
**nimA**  
ANOVA  $P=2.38e-06$ , adj. ANOVA  $P=0.000255$



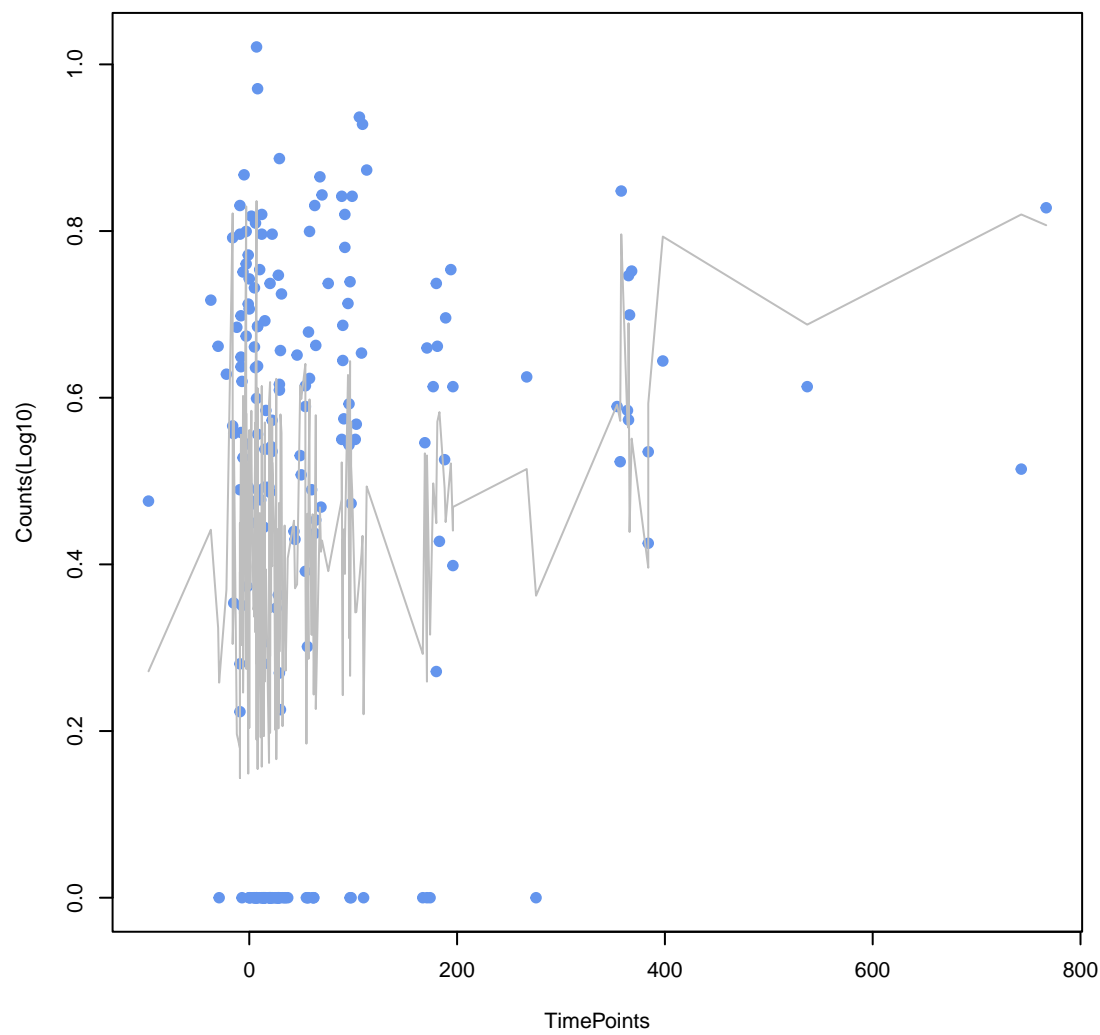
**evgA**  
ANOVA  $P=0.000936$ , adj. ANOVA  $P=0.0411$



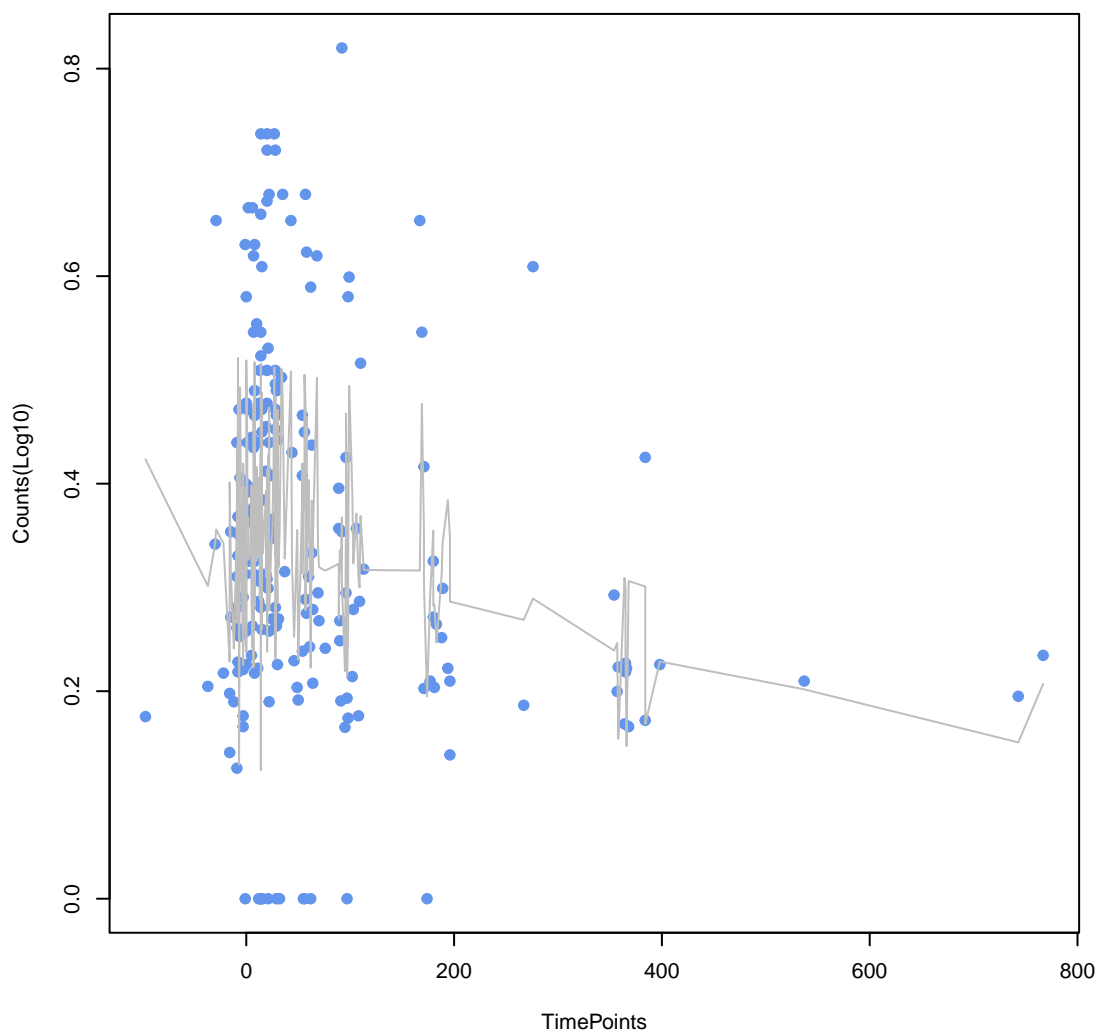
**nimJ**  
ANOVA  $P=0.00115$ , adj. ANOVA  $P=0.0411$



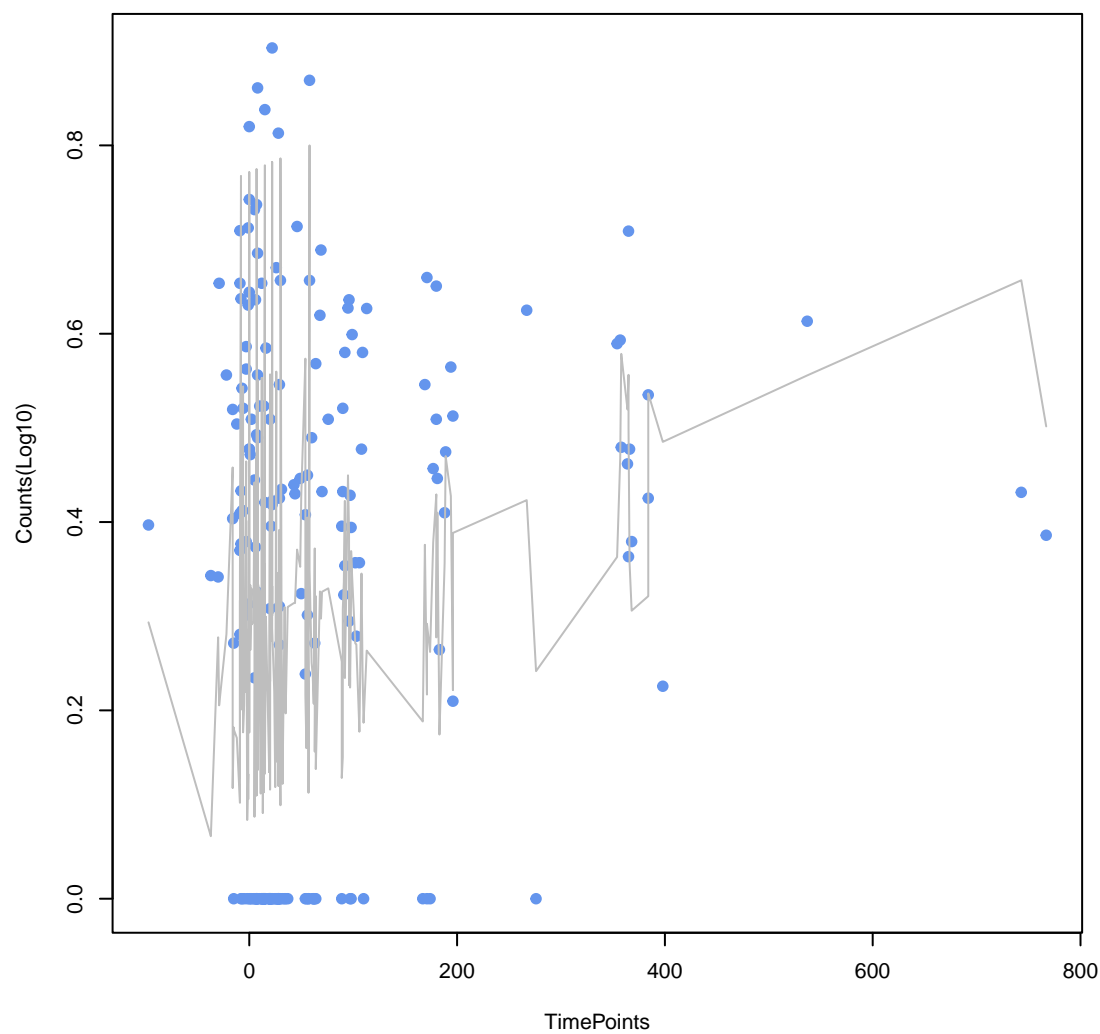
**tet(T)**  
ANOVA  $P=0.0018$ , adj. ANOVA  $P=0.048$



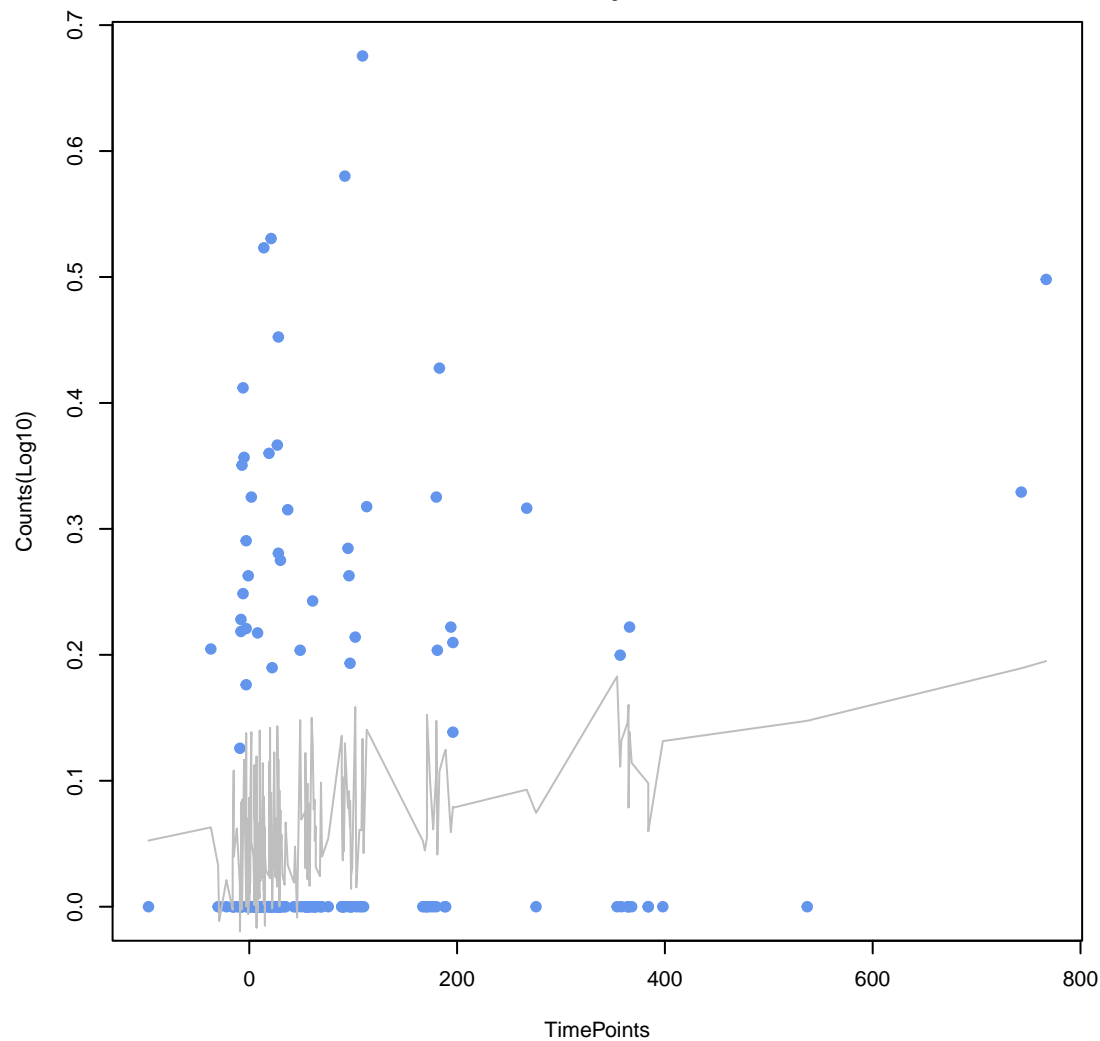
**ErmB**  
ANOVA  $P=0.00301$ , adj. ANOVA  $P=0.0585$



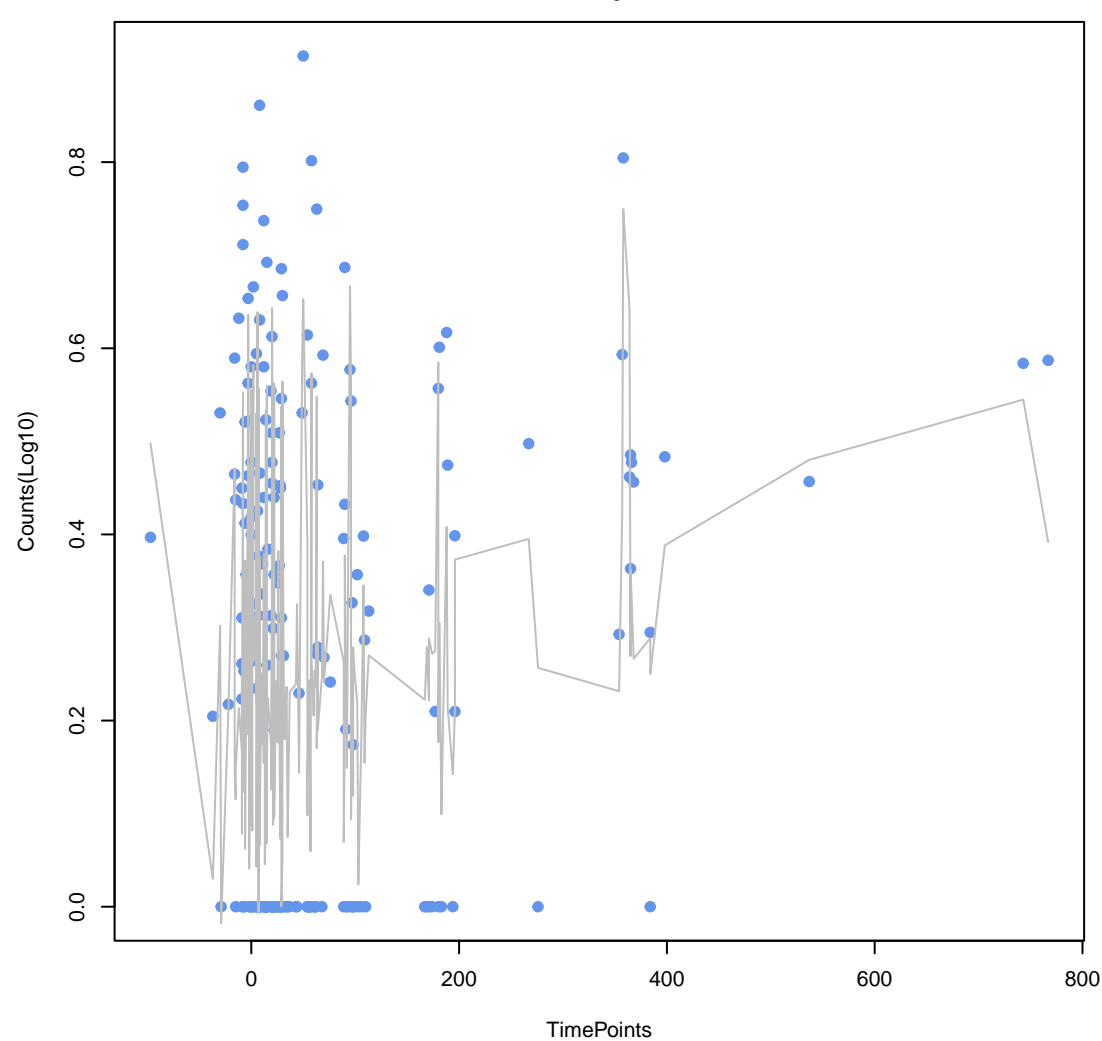
**tet(36)**  
ANOVA  $P=0.00328$ , adj. ANOVA  $P=0.0585$



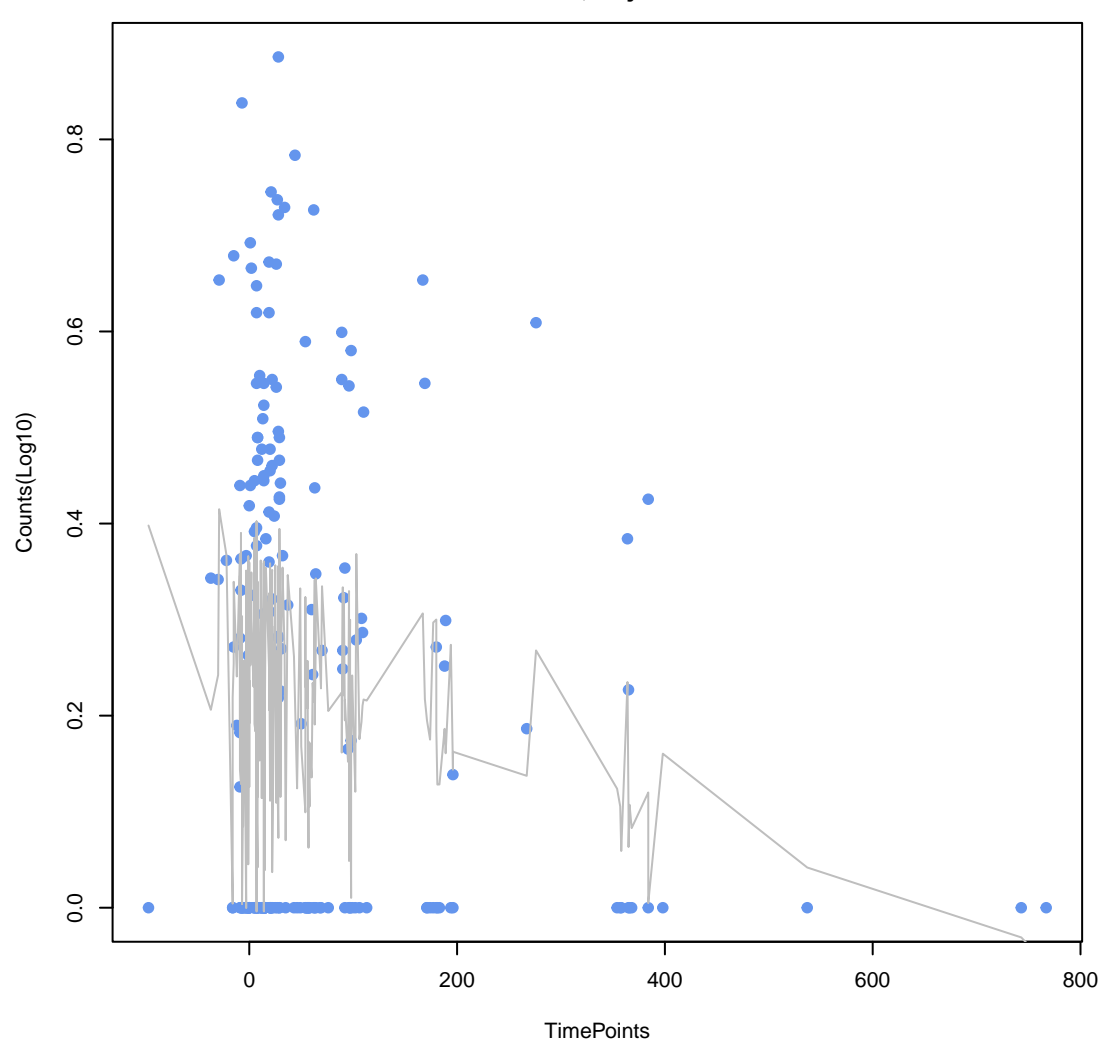
**adeA**  
ANOVA P=0.00716, adj. ANOVA-P=0.0959



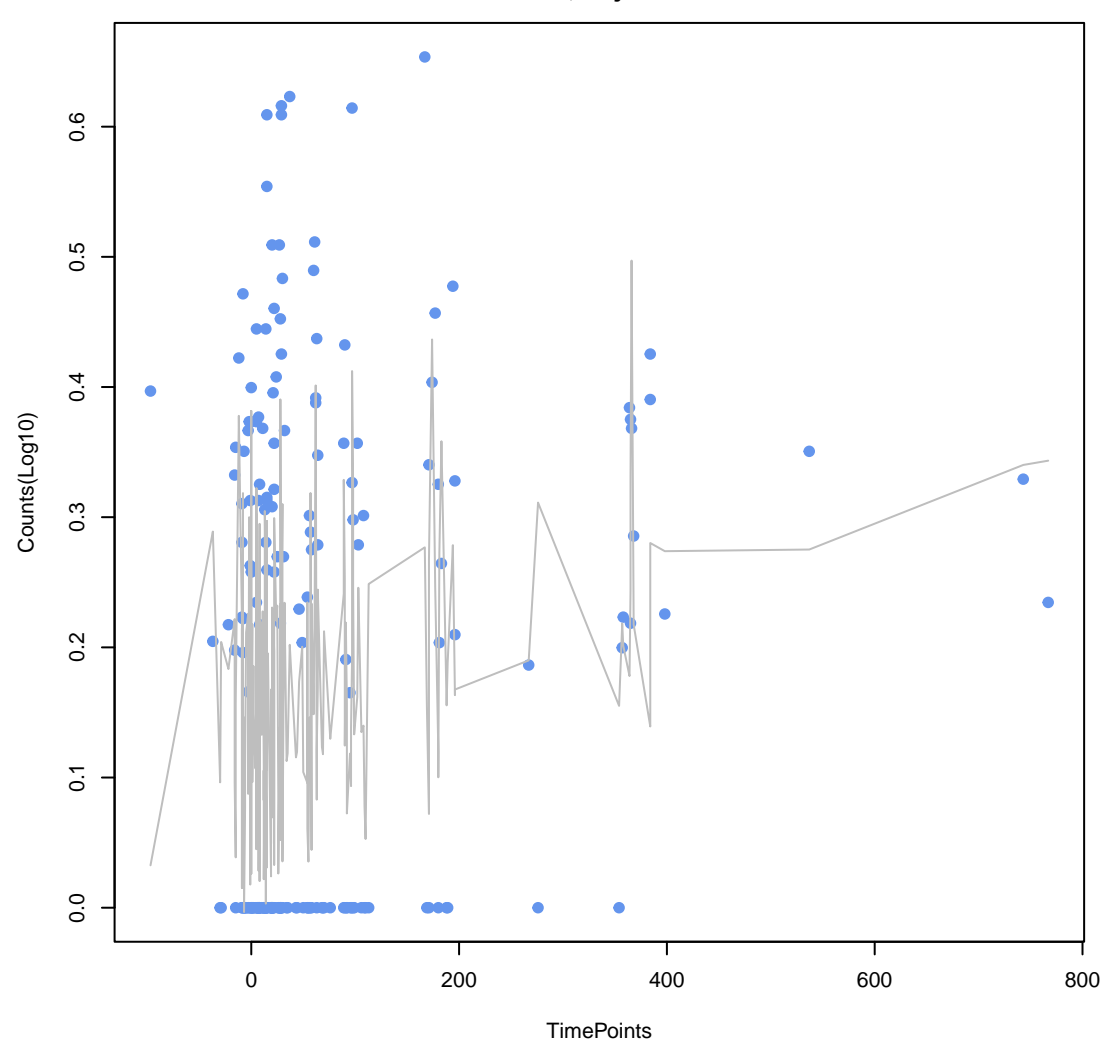
**mefH**  
ANOVA P=0.00717, adj. ANOVA-P=0.0959



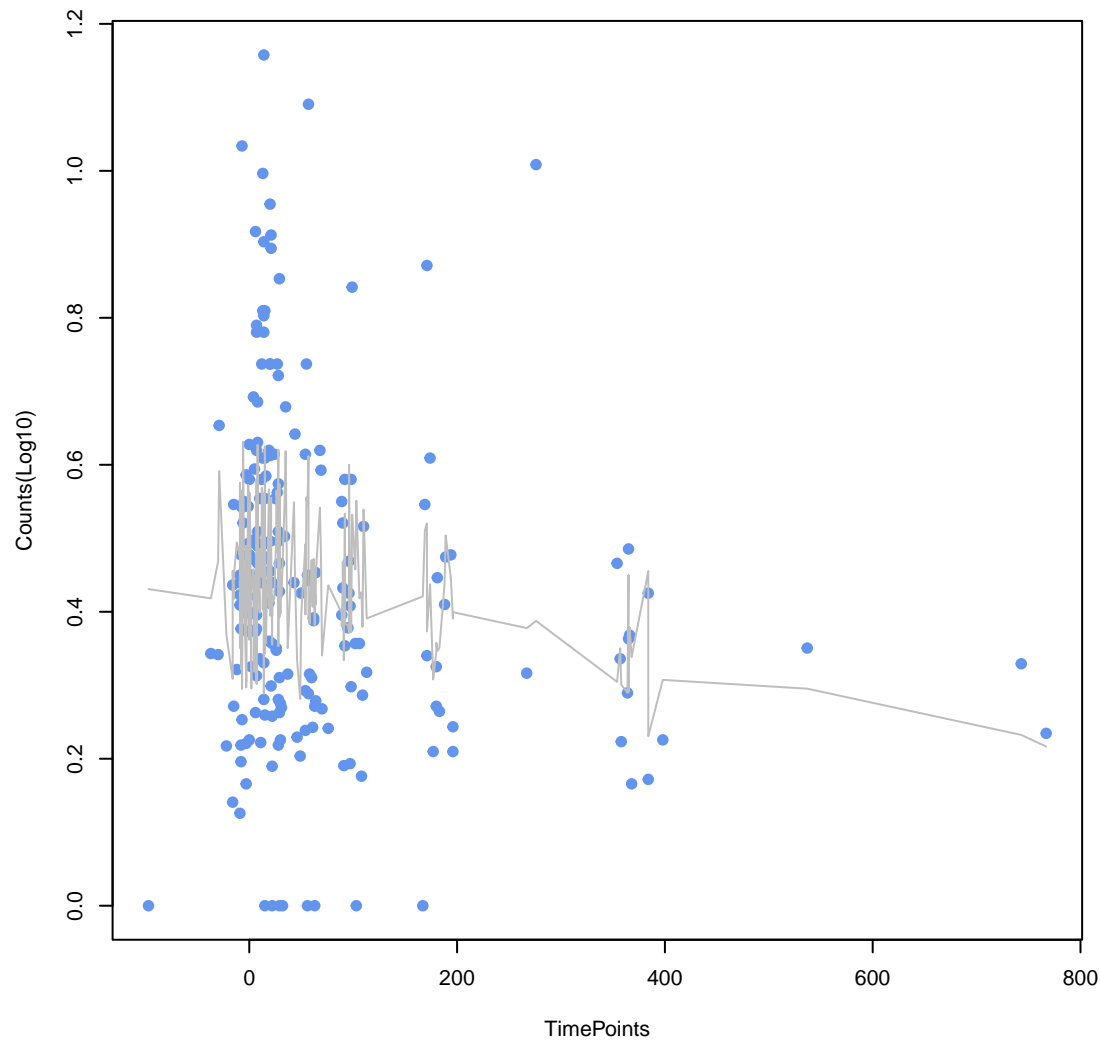
**vanH gene in vanA cluster**  
ANOVA P=0.00921, adj. ANOVA-P=0.11



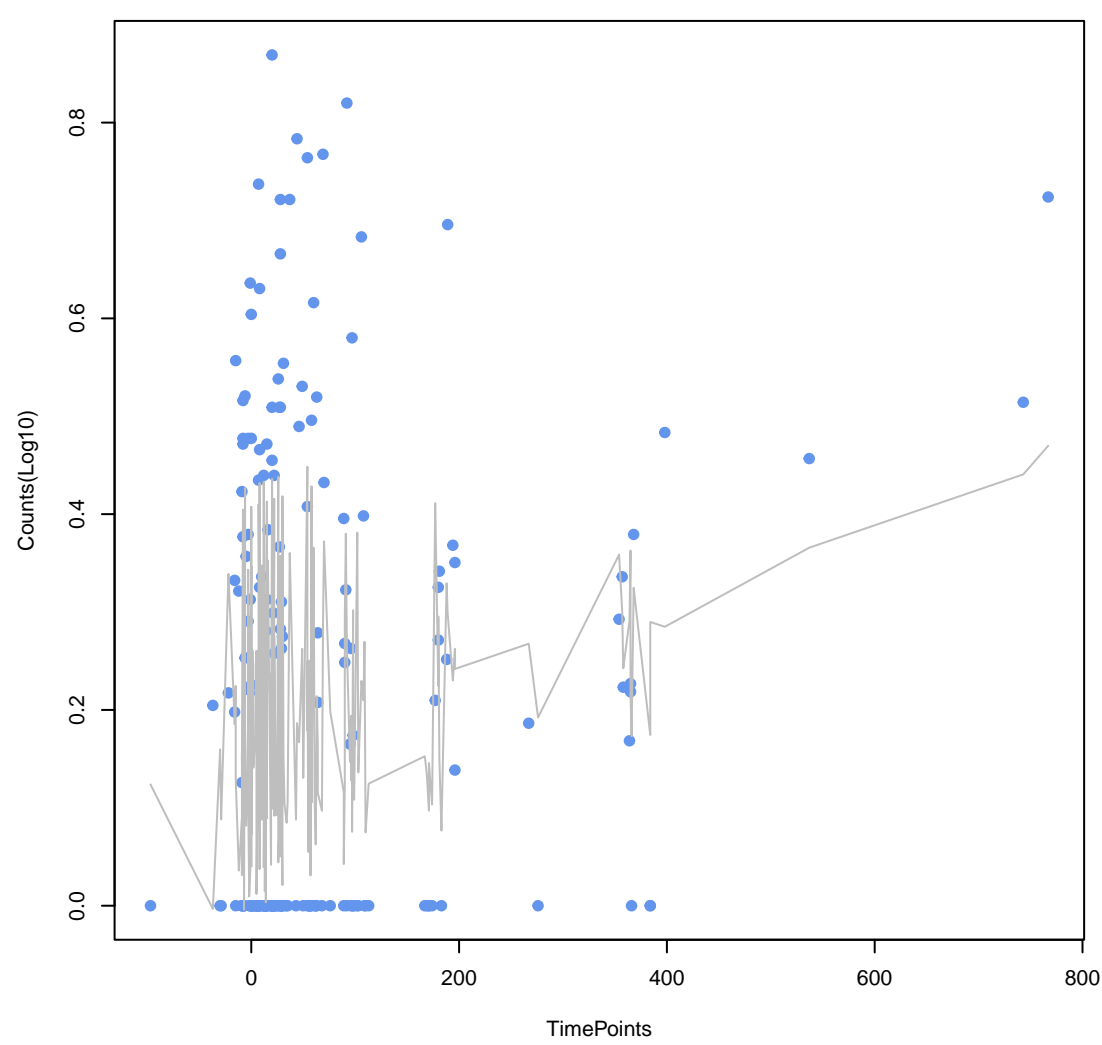
**bacA**  
ANOVA P=0.0126, adj. ANOVA-P=0.133



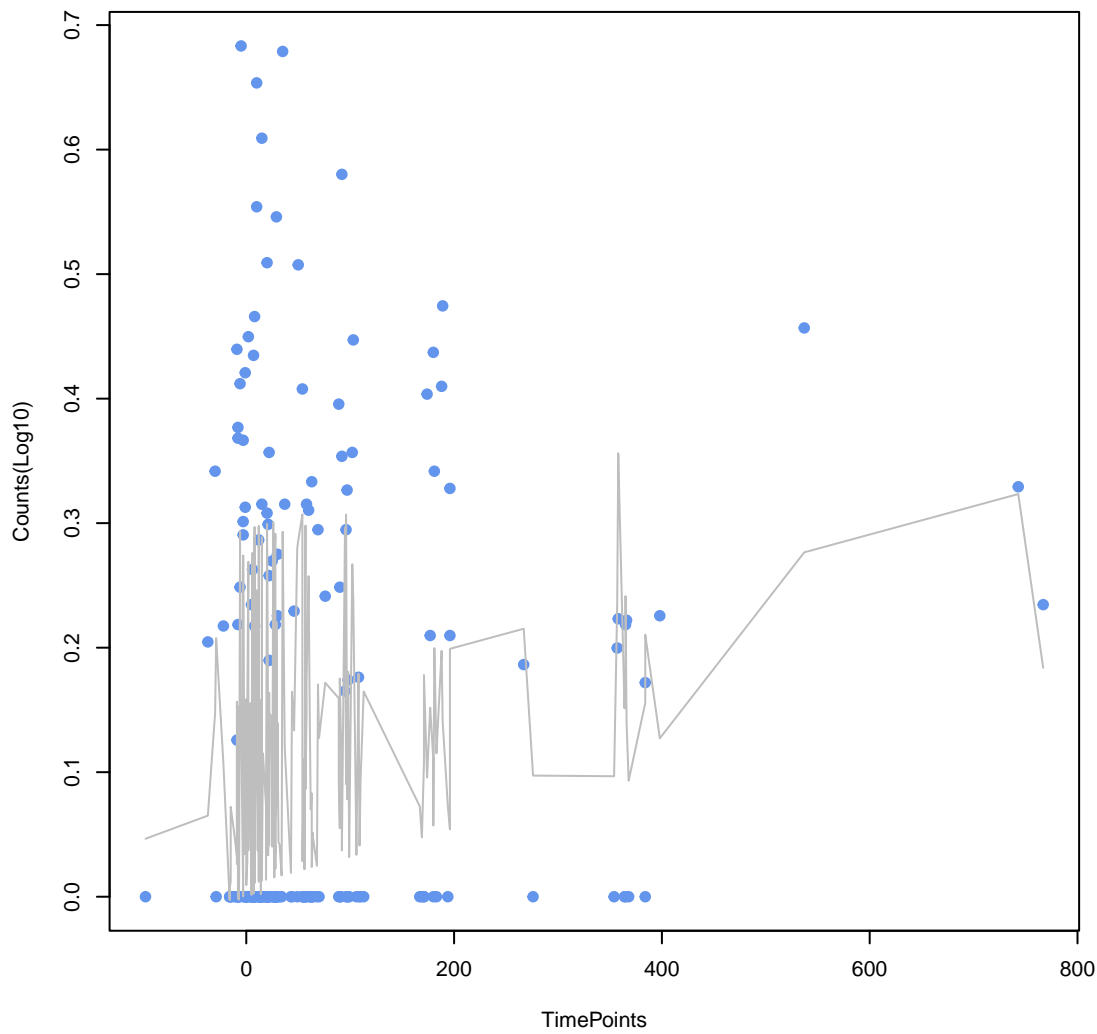
**tet(W)**  
ANOVA P=0.0136, adj. ANOVA-P=0.133



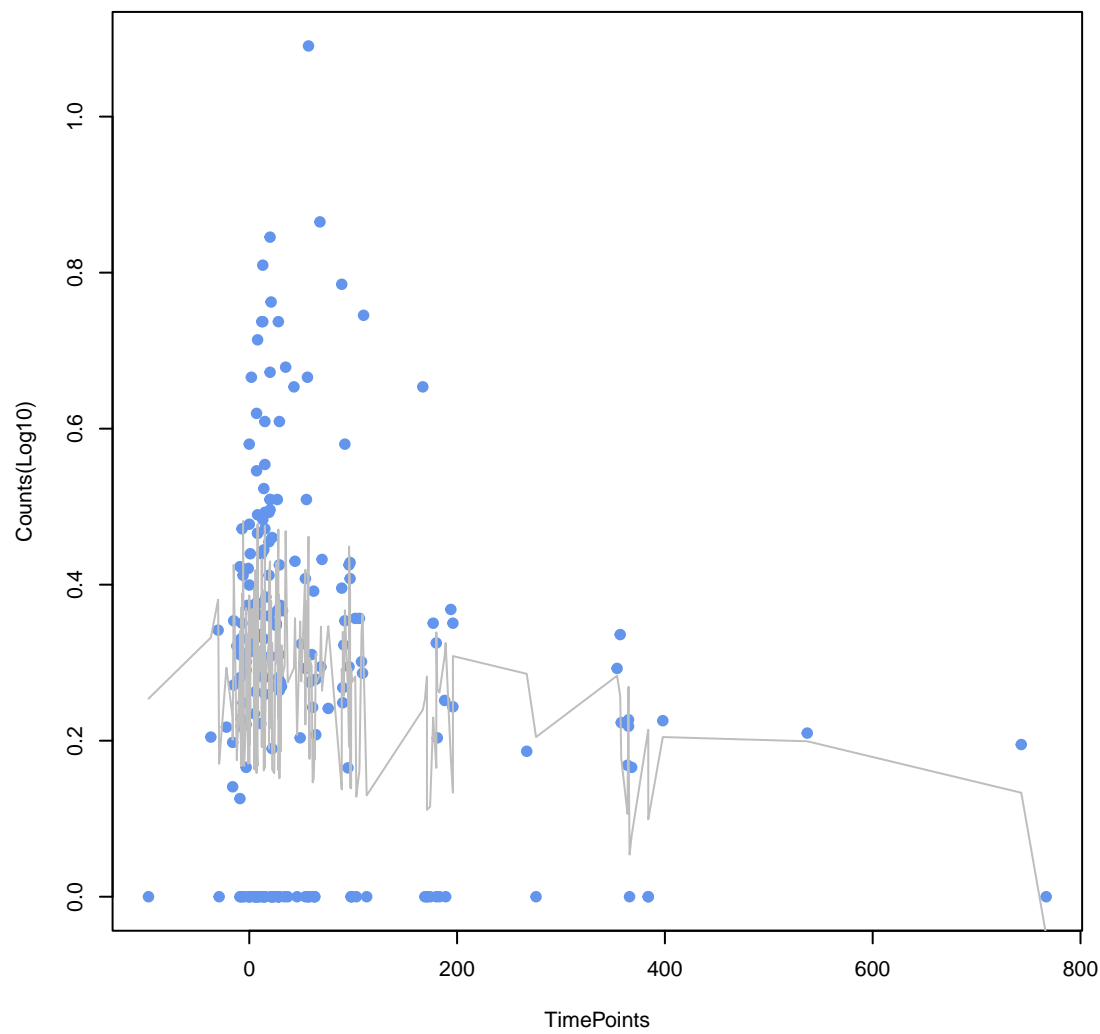
**tet(44)**  
ANOVA P=0.0149, adj. ANOVA-P=0.133



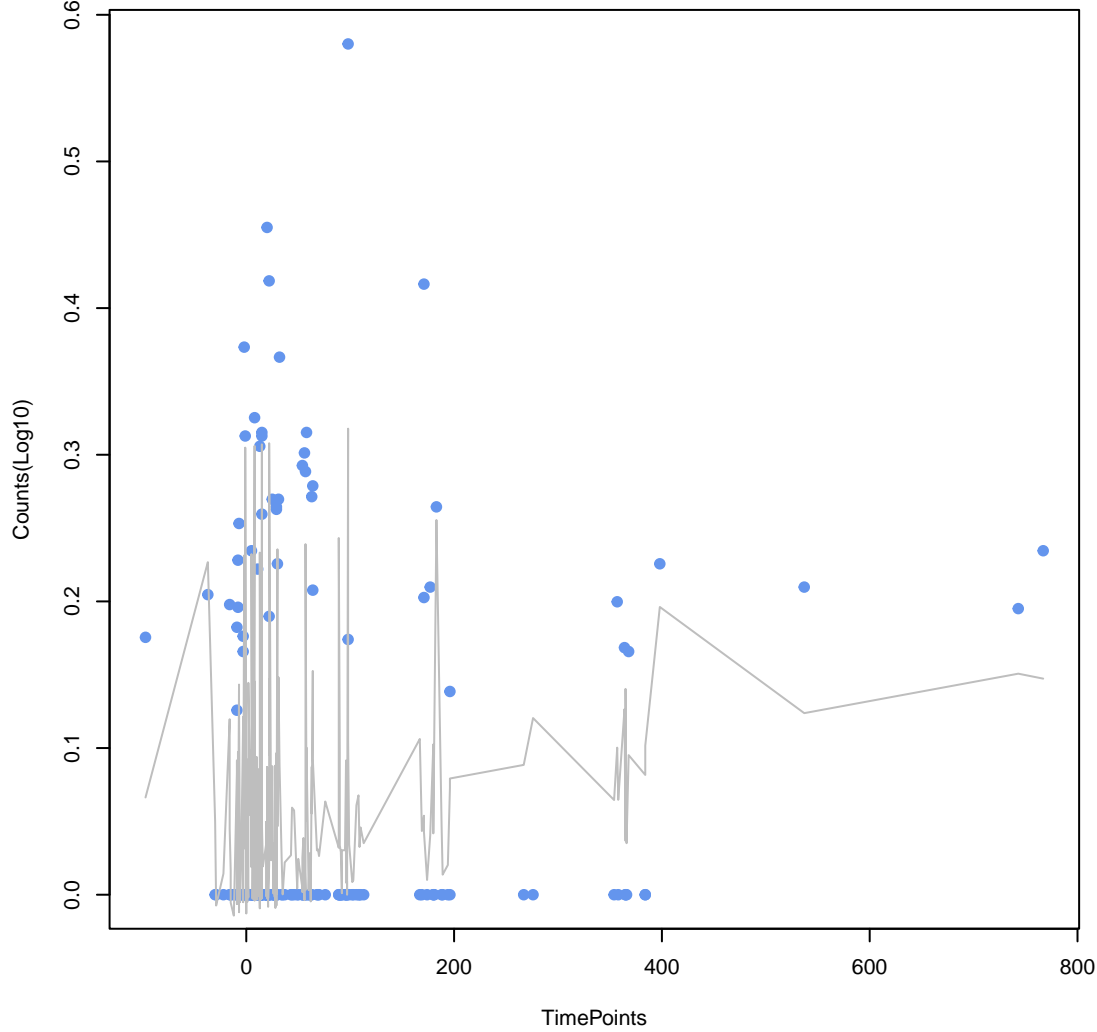
**myrA**  
ANOVA P=0.0267, adj. ANOVA-P=0.214



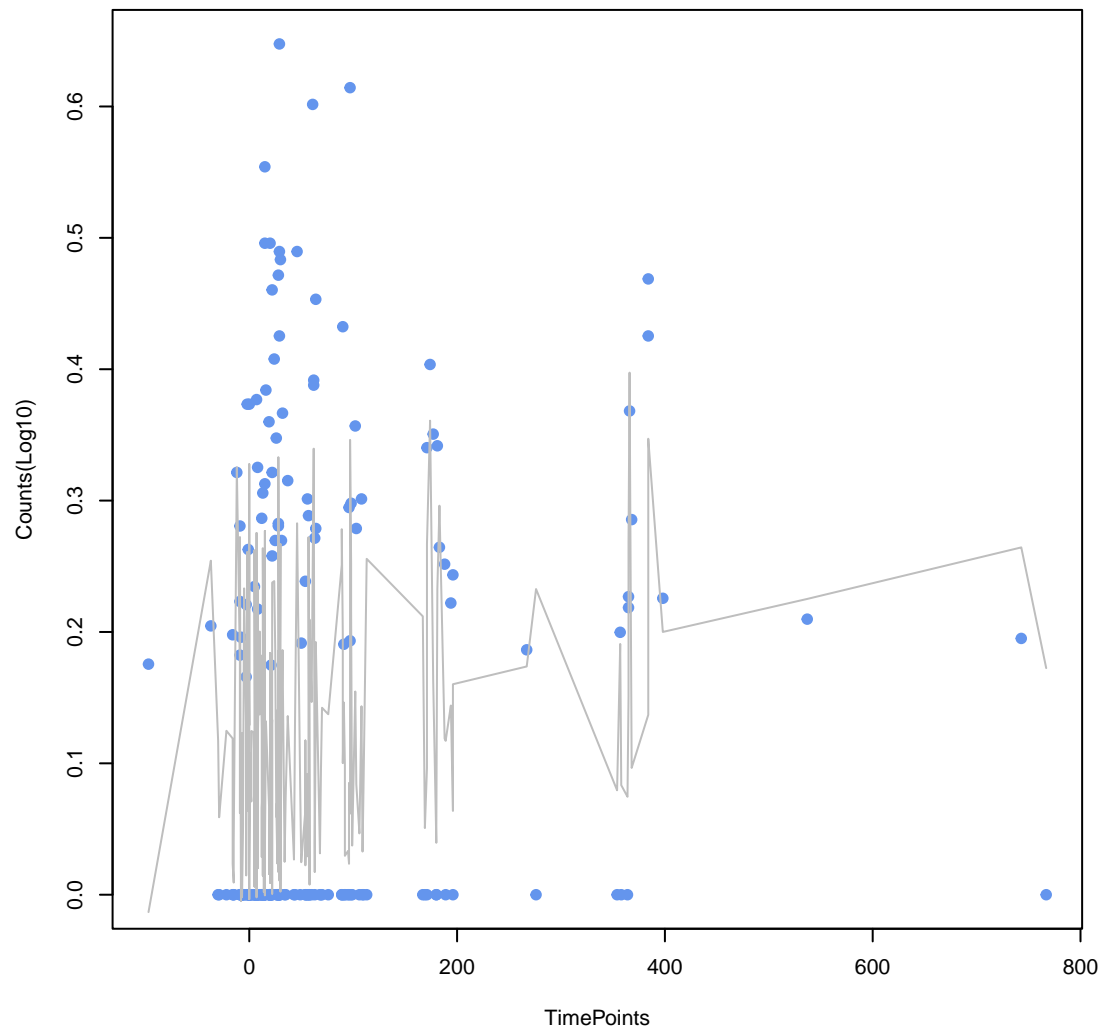
**ErmF**  
ANOVA P=0.028, adj. ANOVA-P=0.214



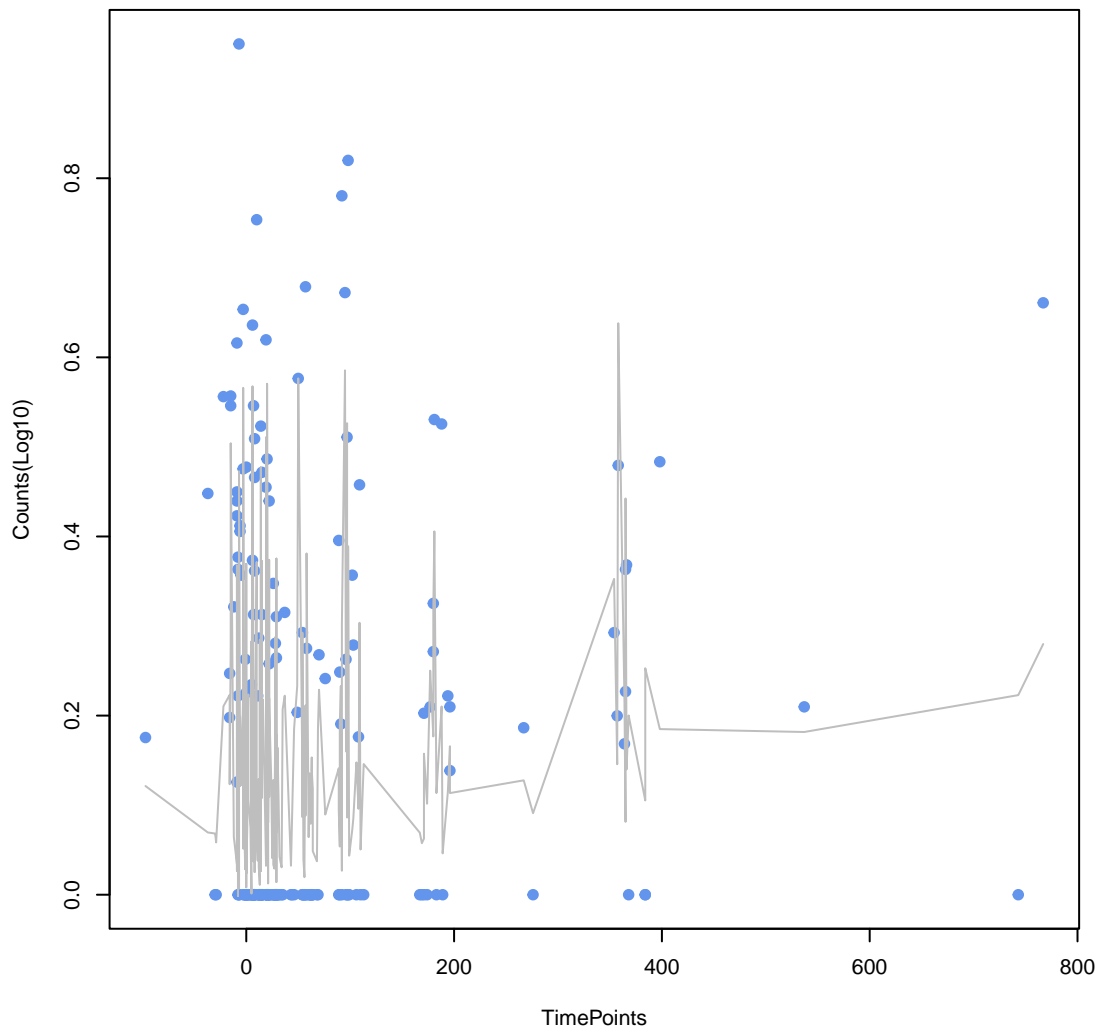
**gadW**  
ANOVA P=0.0324, adj. ANOVA-P=0.231



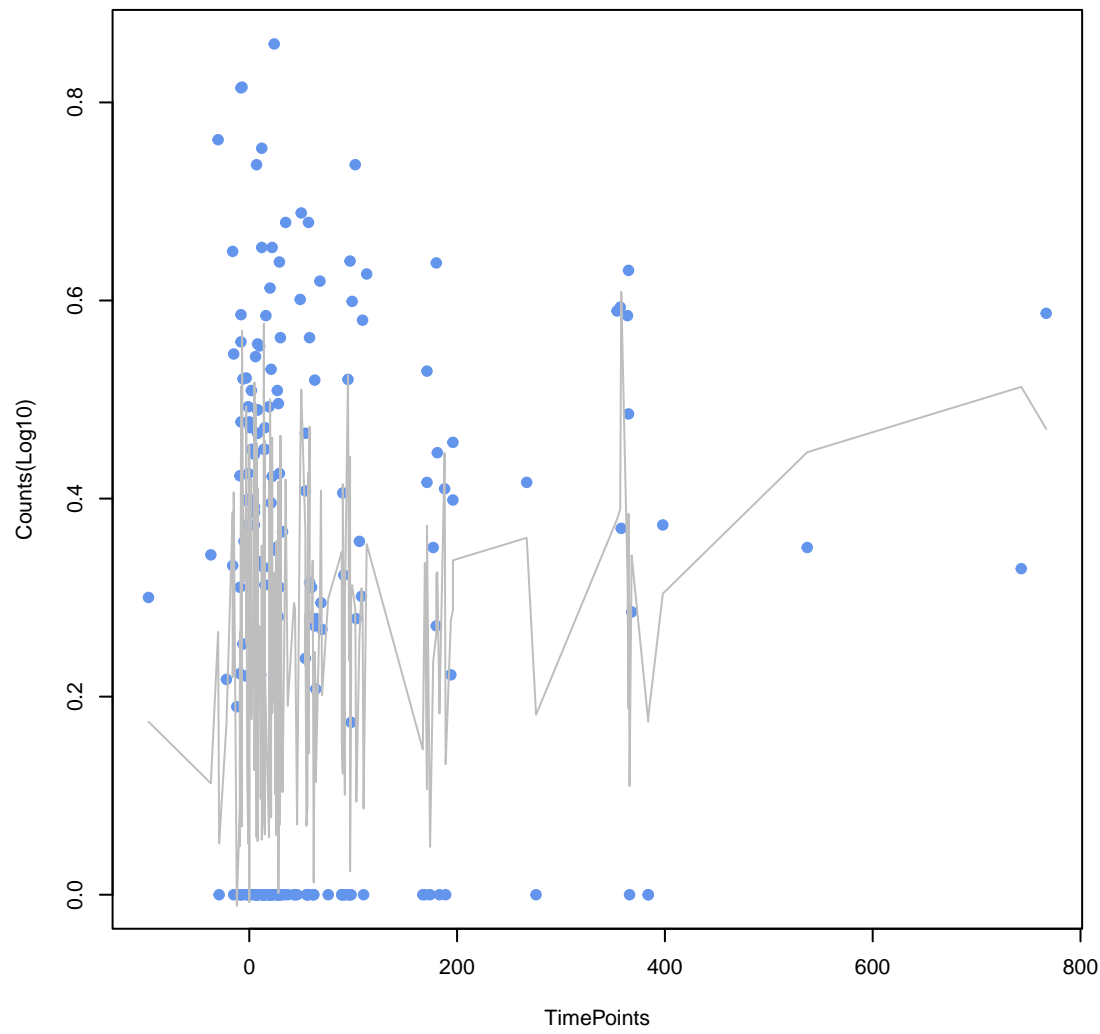
**scherrichia coli AcrAB-TolC with MarR mutations conferring resistance to ciprofloxacin and**  
ANOVA P=0.0346, adj. ANOVA-P=0.231



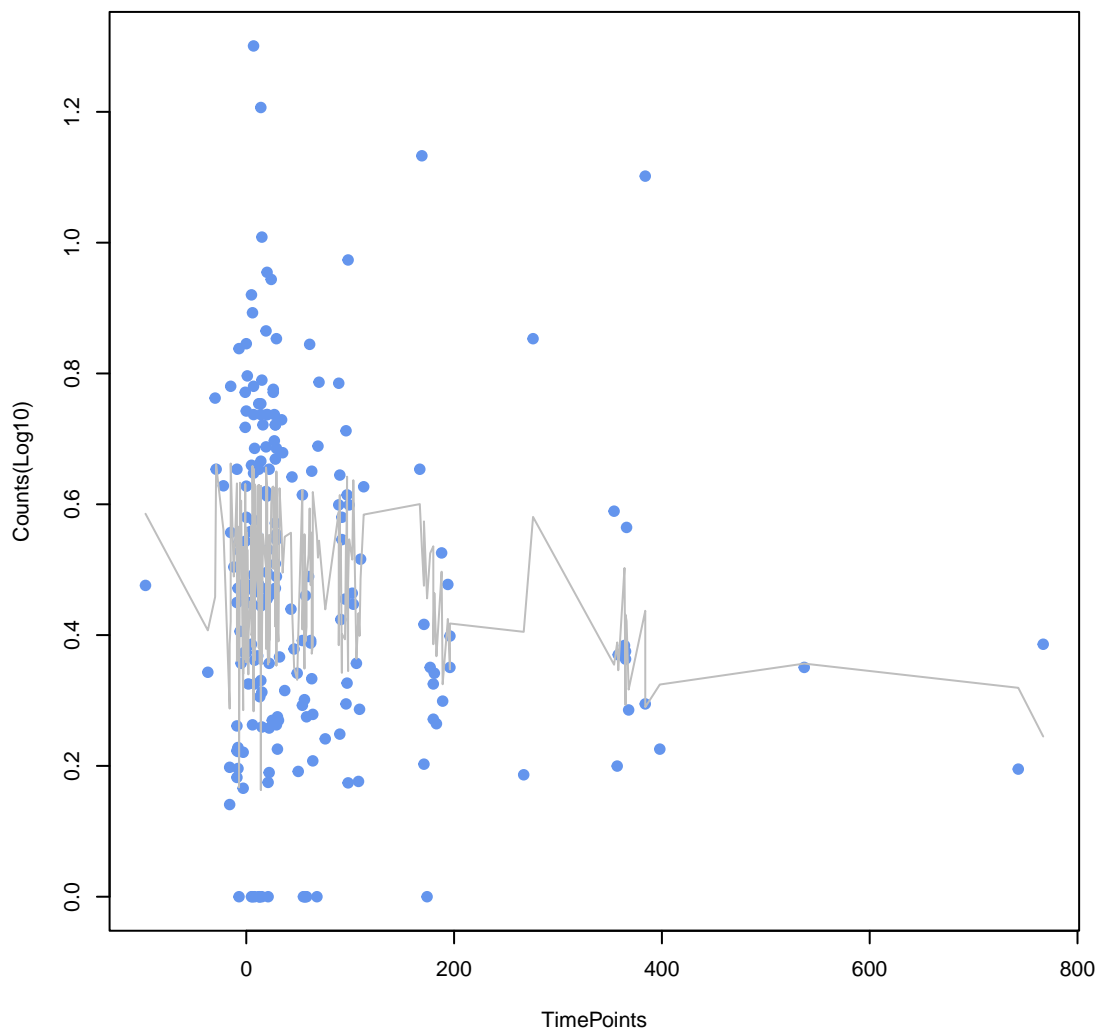
**APH(6)-Ic**  
ANOVA P=0.0588, adj. ANOVA-P=0.357



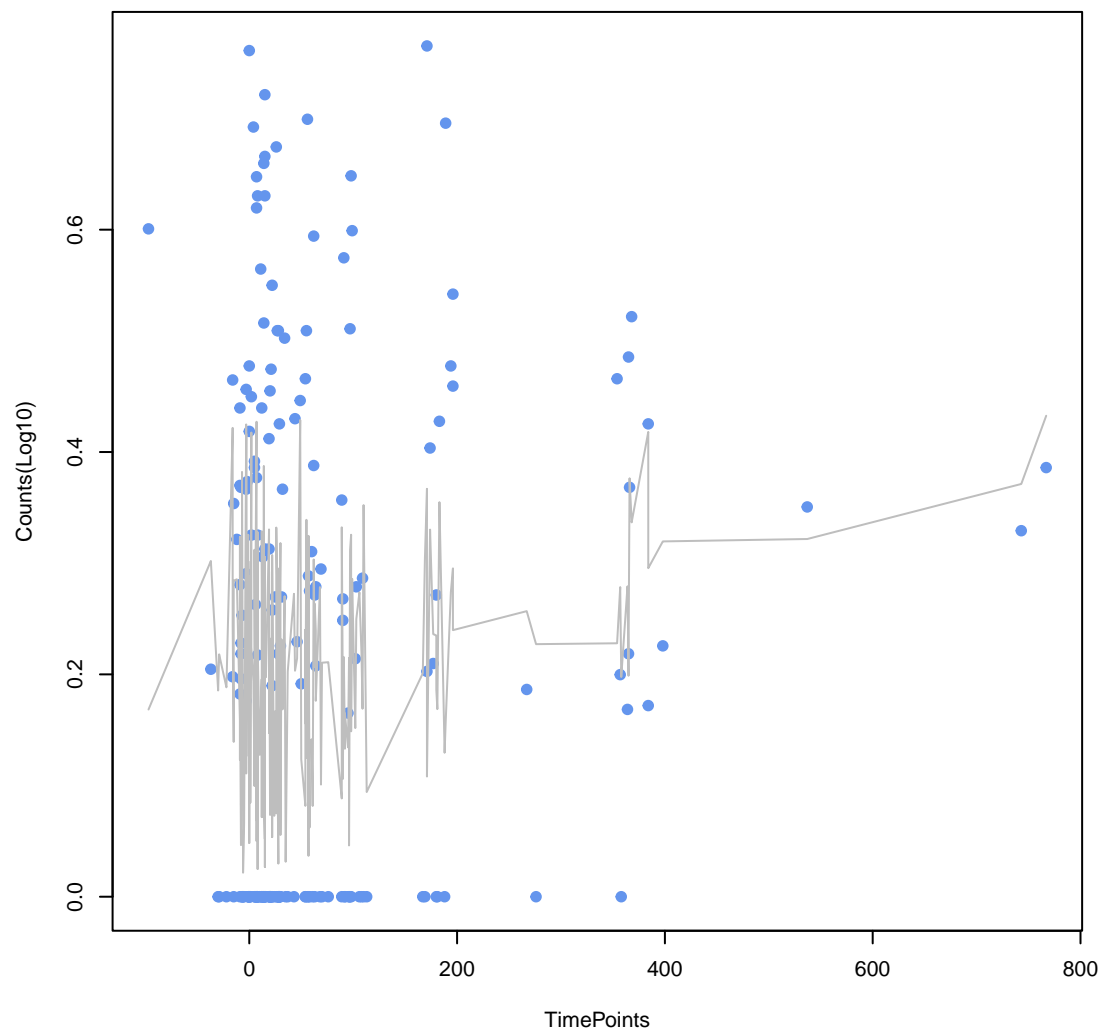
**ANA-1**  
ANOVA P=0.0645, adj. ANOVA-P=0.357



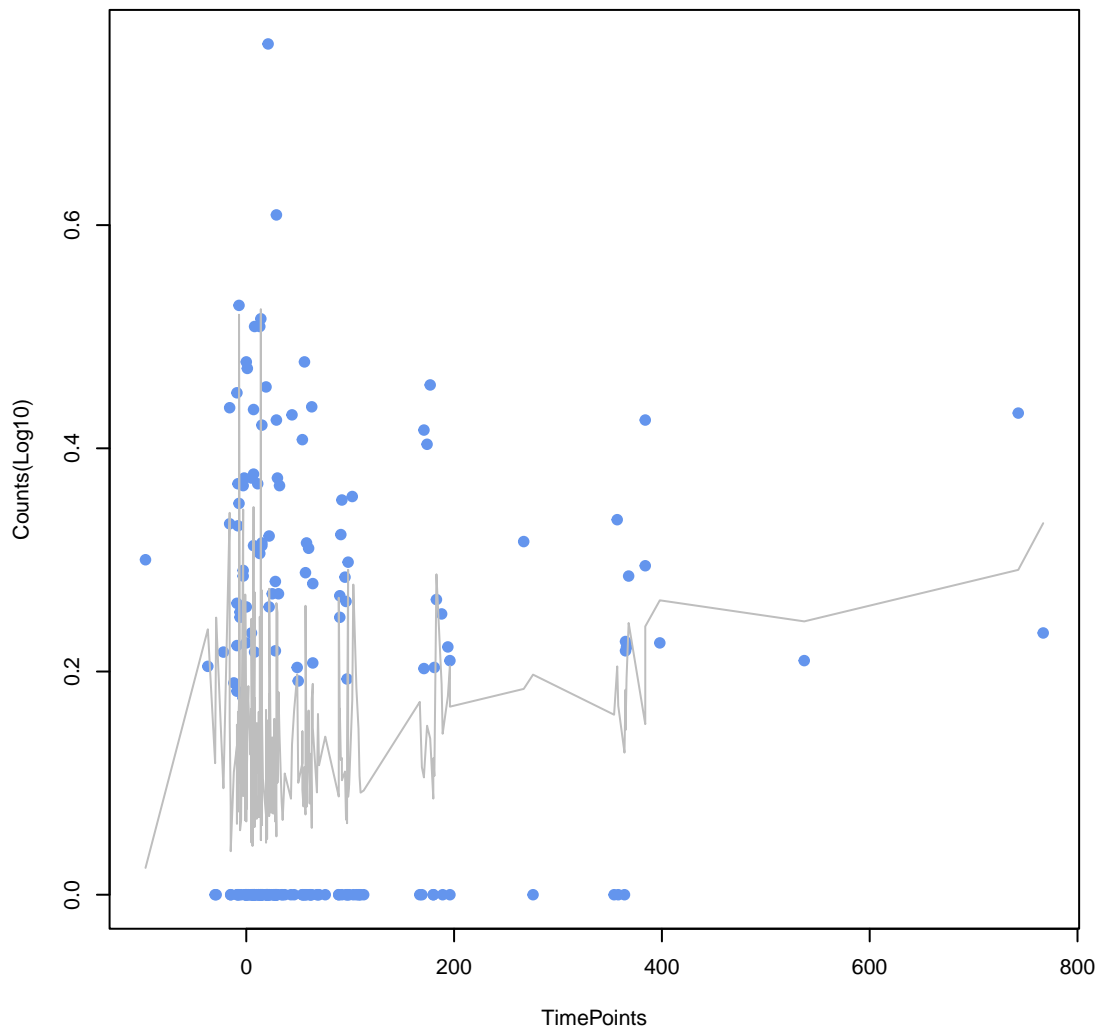
**tet(M)**  
ANOVA P=0.0665, adj. ANOVA-P=0.357



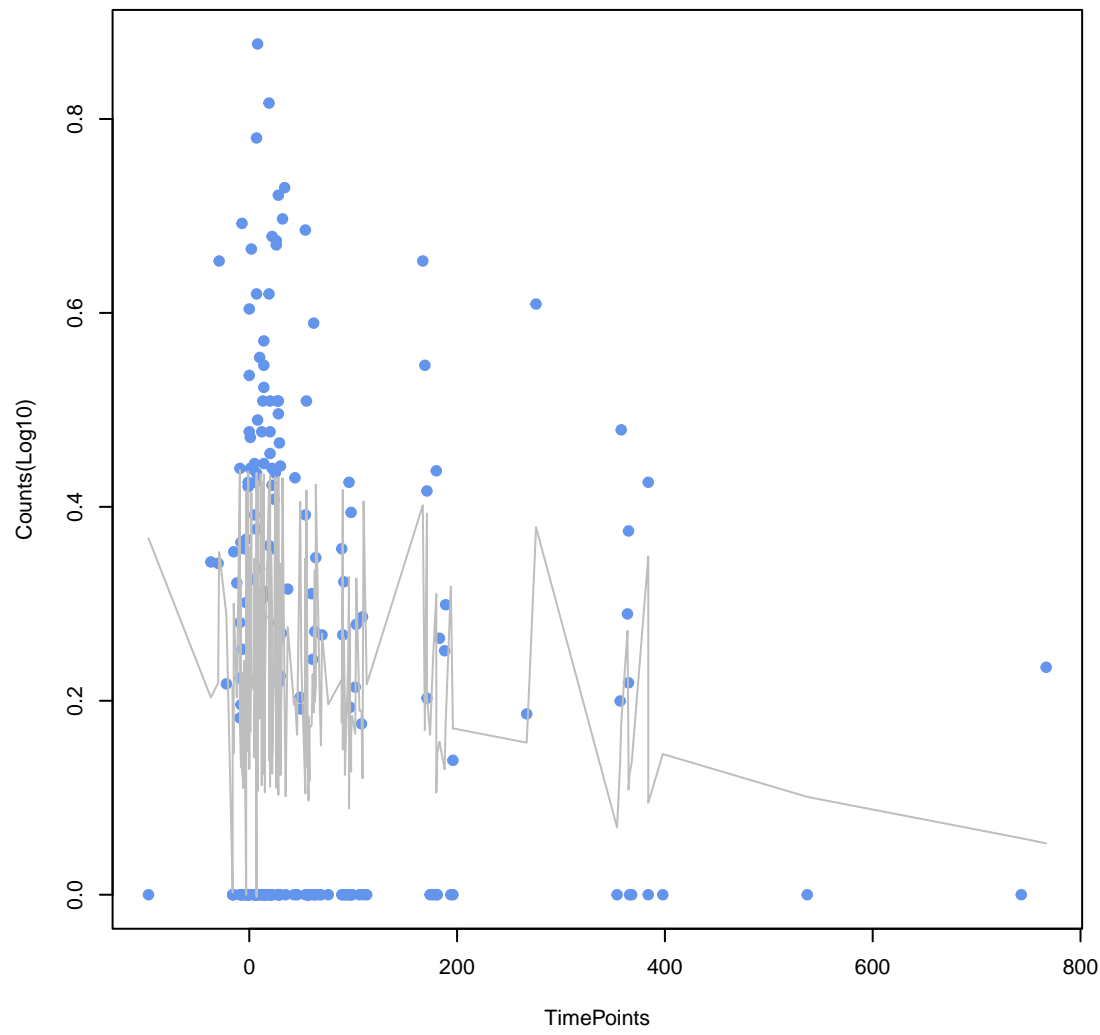
**mdtF**  
ANOVA P=0.0698, adj. ANOVA-P=0.357



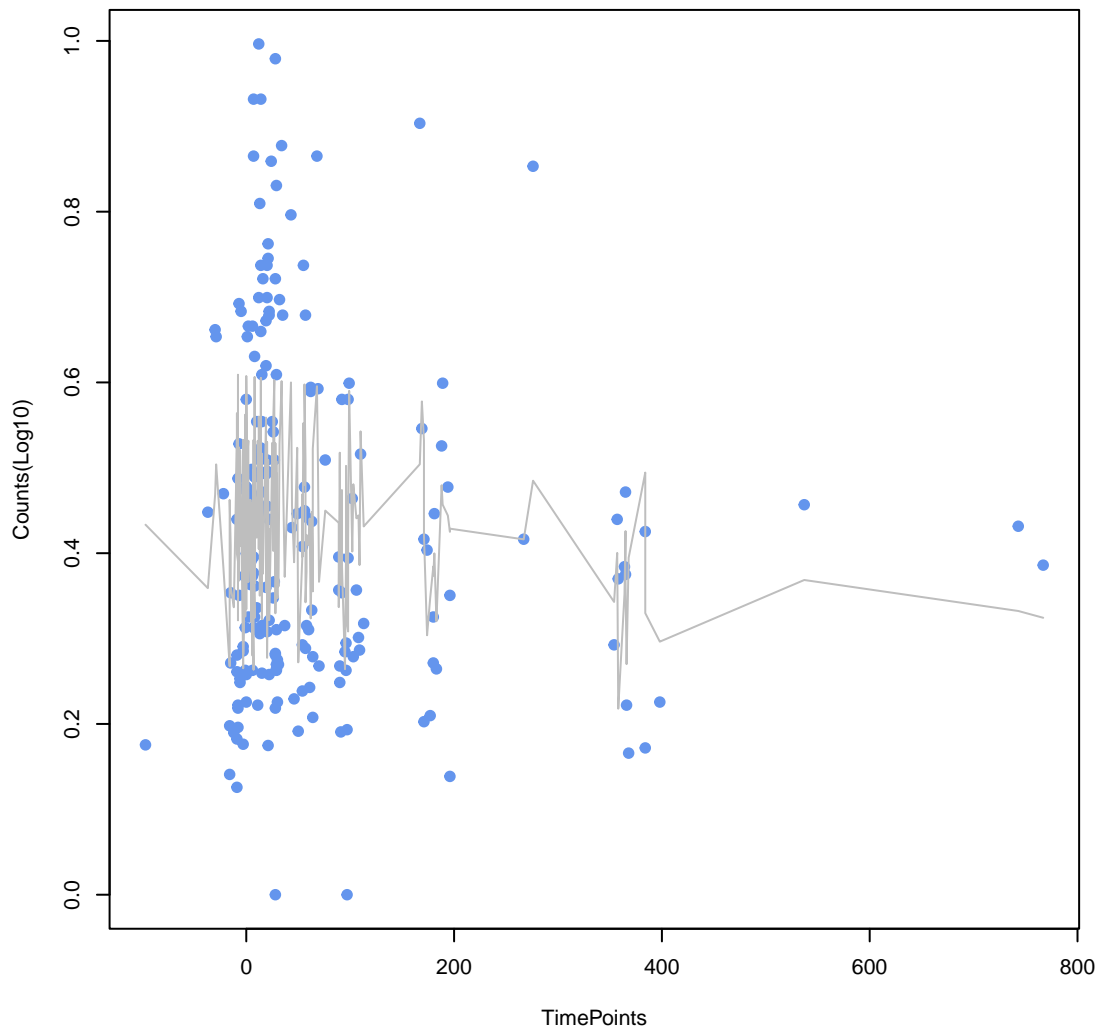
**mdtH**  
ANOVA P=0.0703, adj. ANOVA-P=0.357



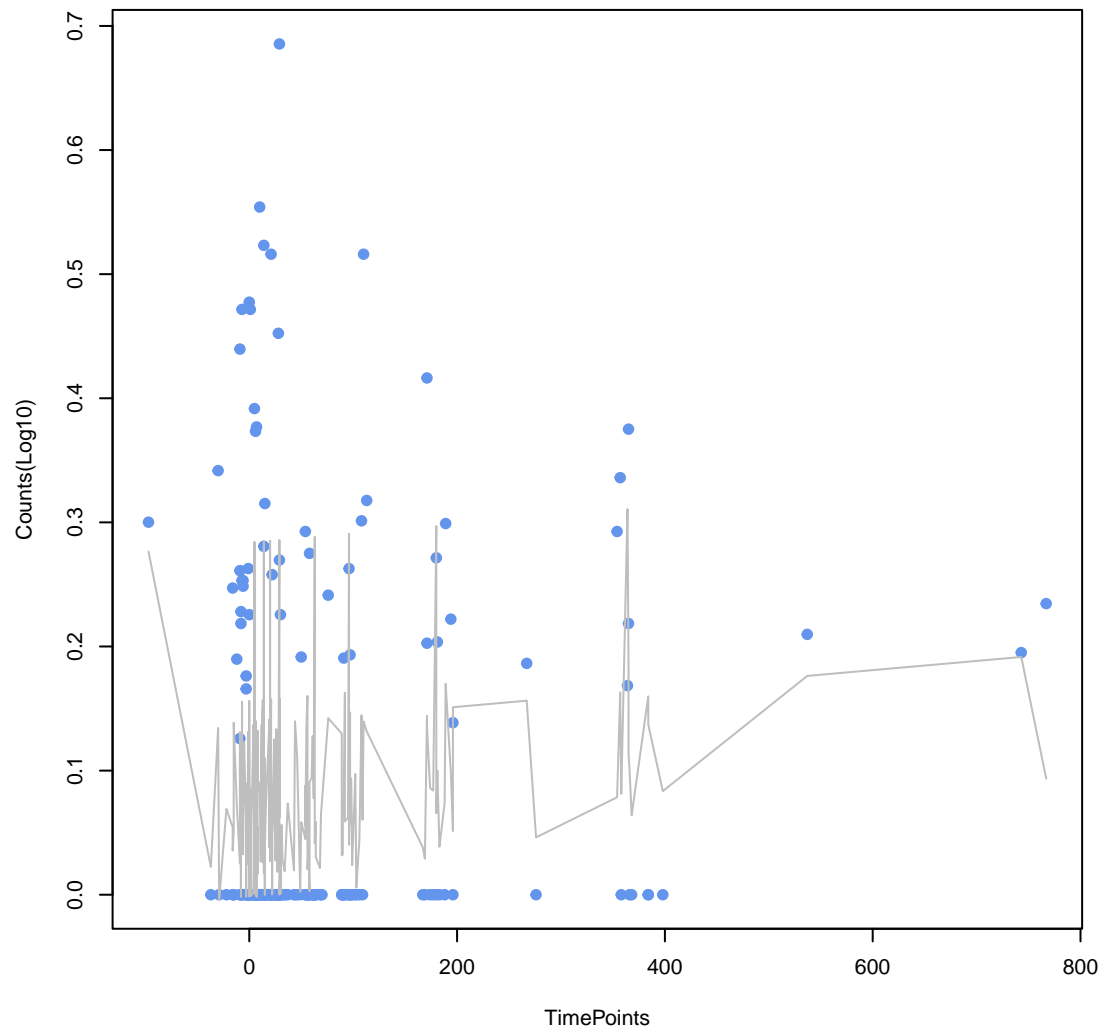
**vanA**  
ANOVA P=0.0774, adj. ANOVA-P=0.357



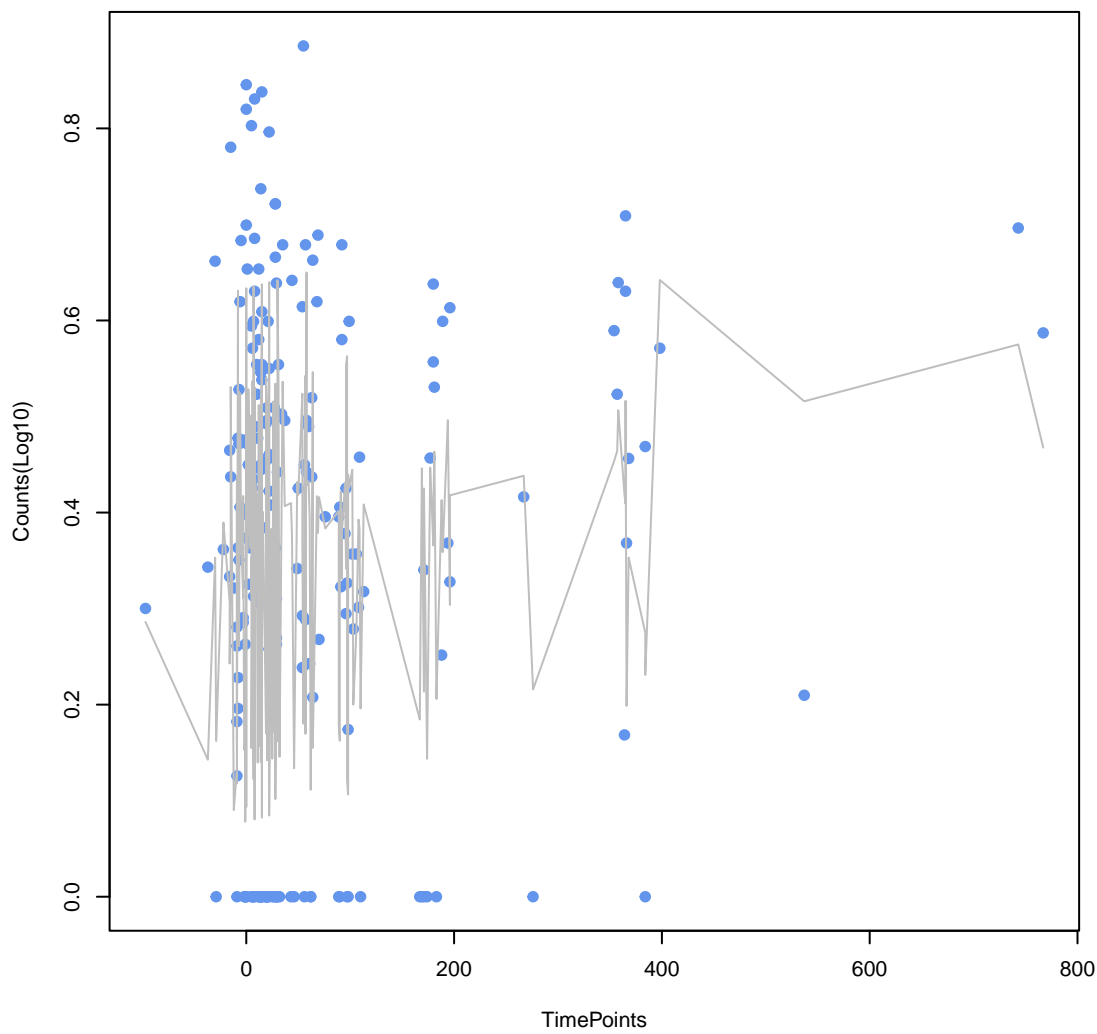
**tet(O)**  
ANOVA P=0.0798, adj. ANOVA-P=0.357



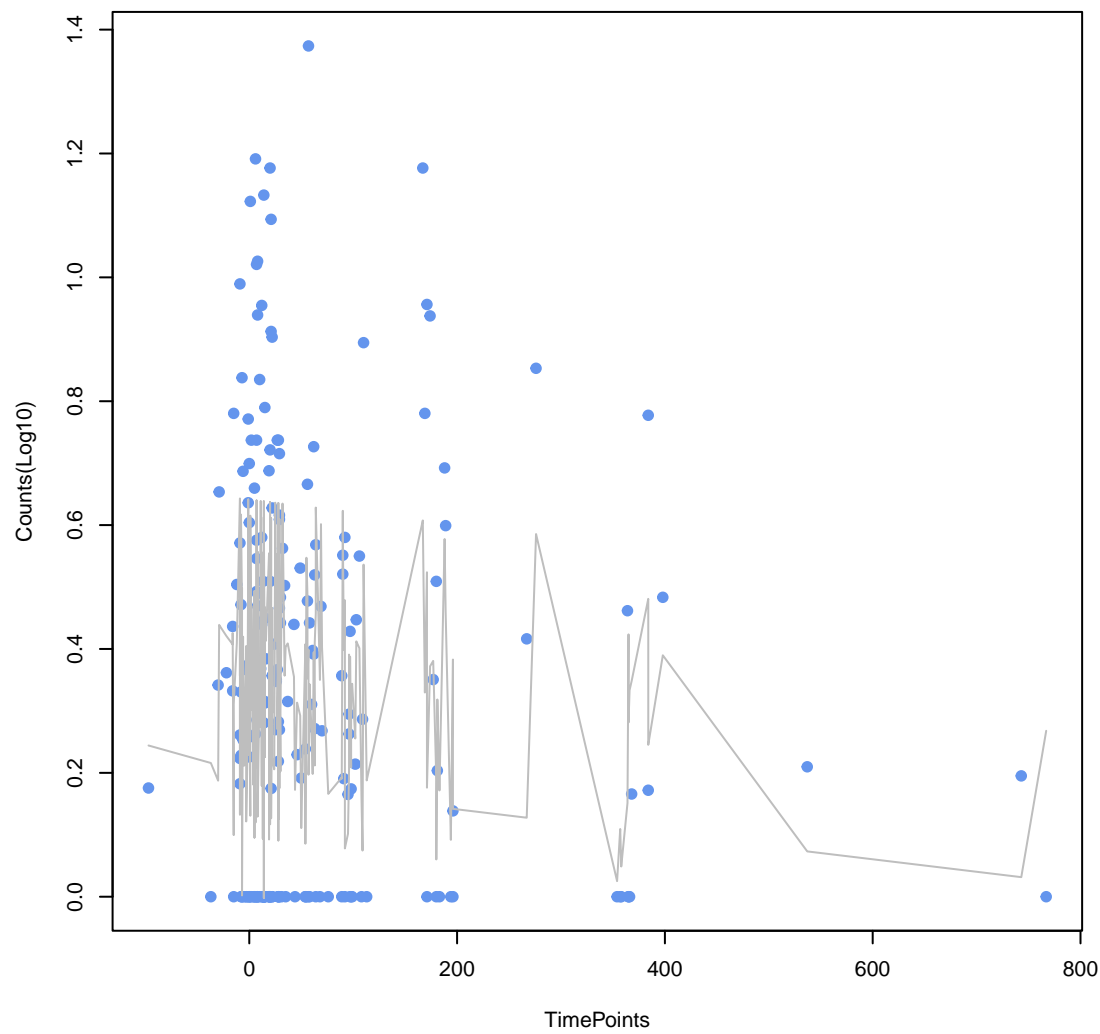
**Streptomyces rimosus otr(A)**  
ANOVA P=0.0842, adj. ANOVA-P=0.357



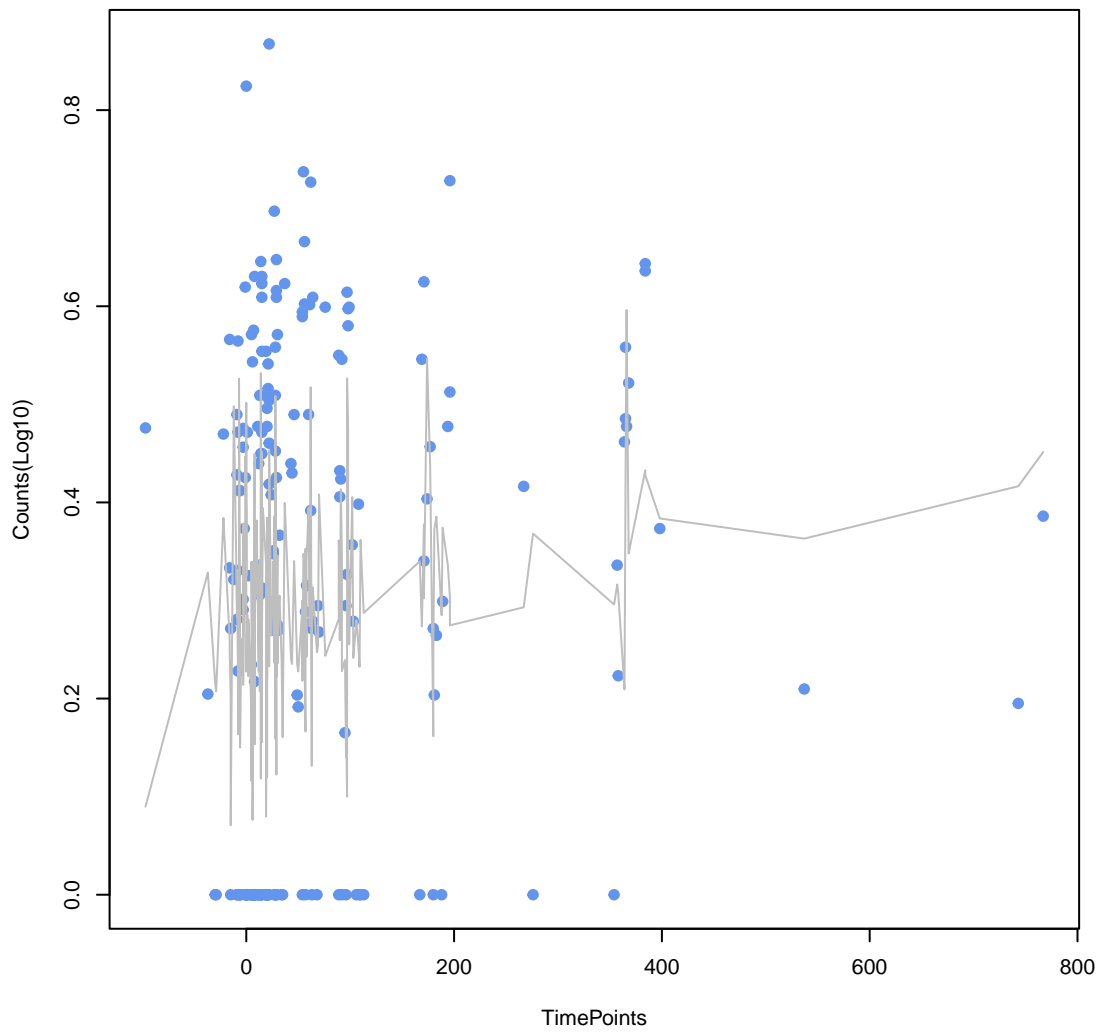
**tet(32)**  
ANOVA P=0.0846, adj. ANOVA-P=0.357



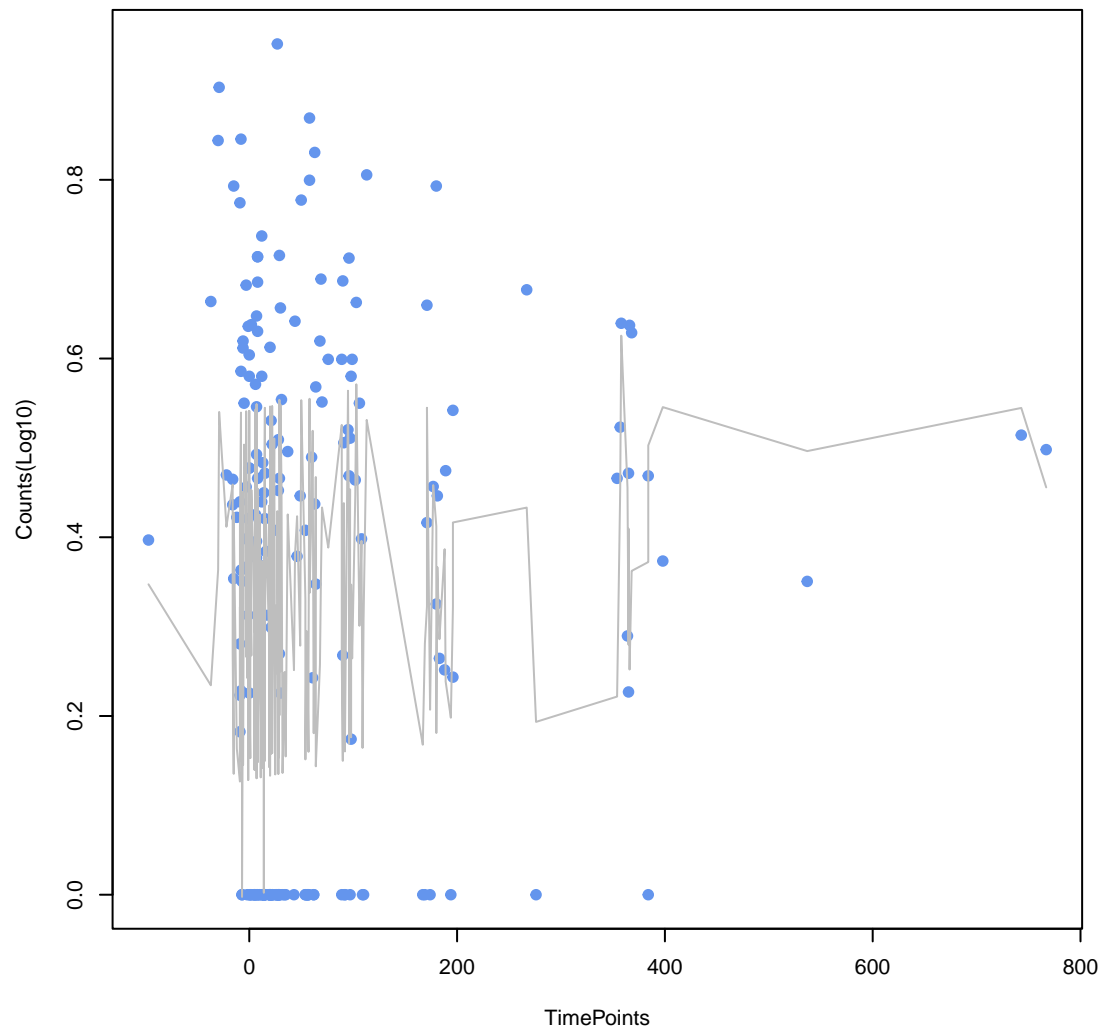
**ImrD**  
ANOVA P=0.0869, adj. ANOVA-P=0.357



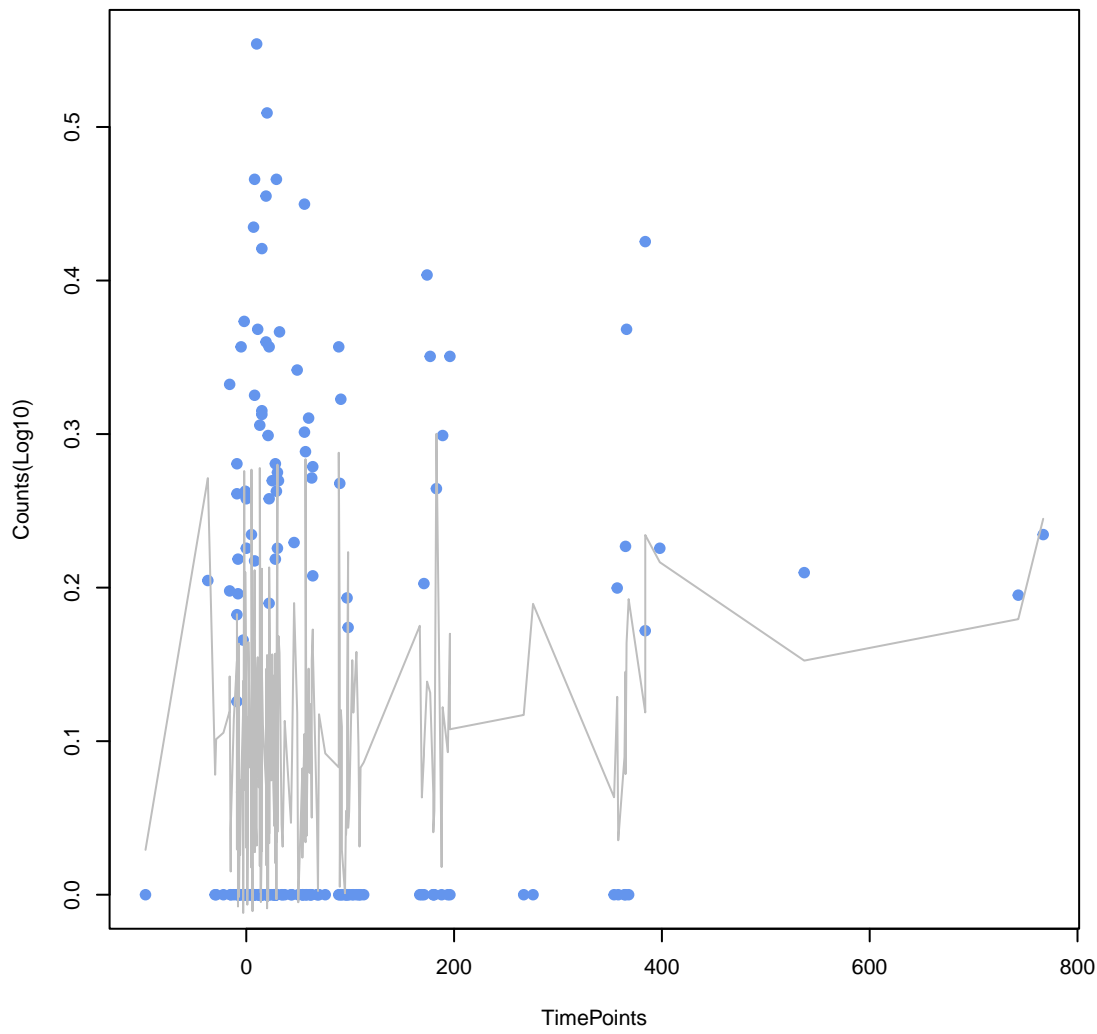
**mdtB**  
ANOVA P=0.0995, adj. ANOVA-P=0.394



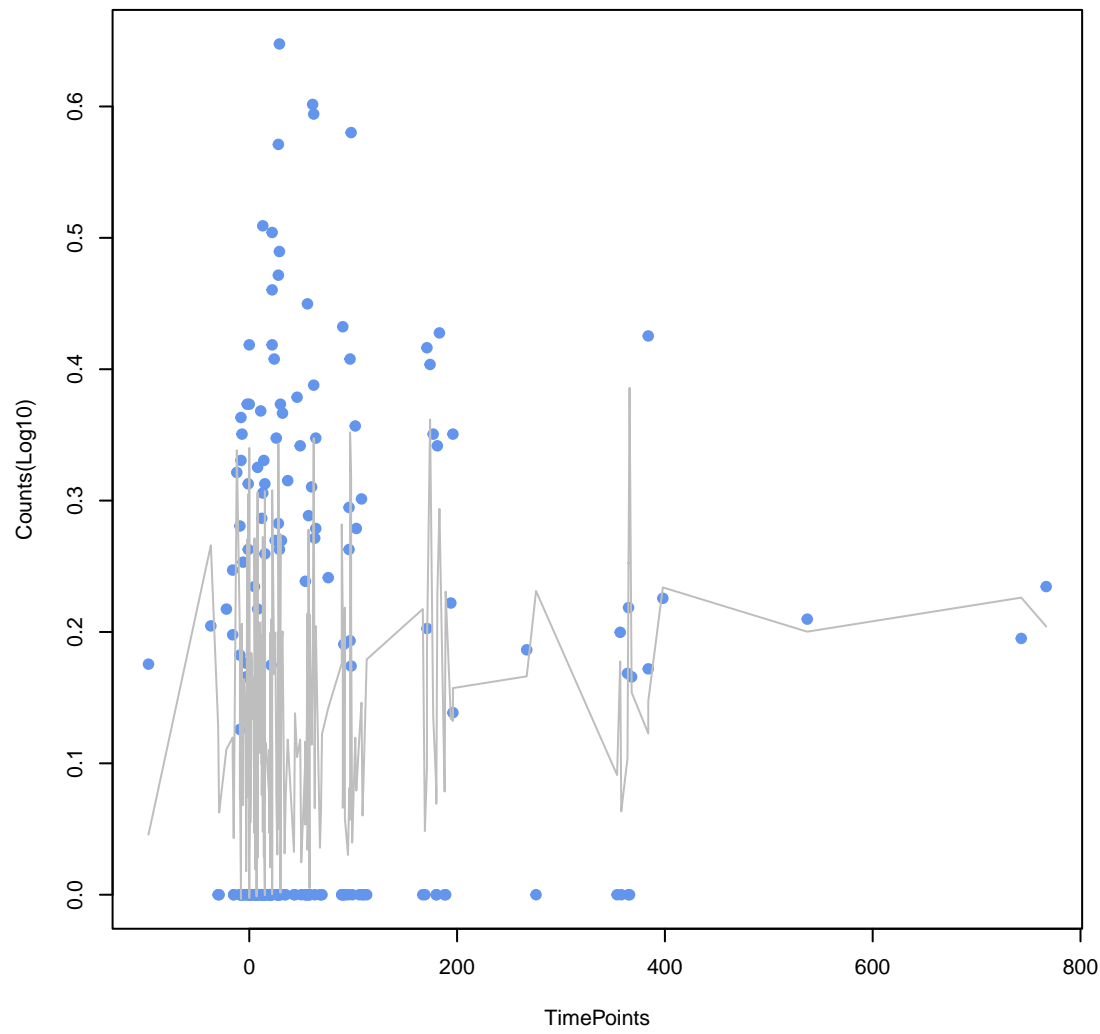
**vanI**  
ANOVA P=0.105, adj. ANOVA-P=0.4



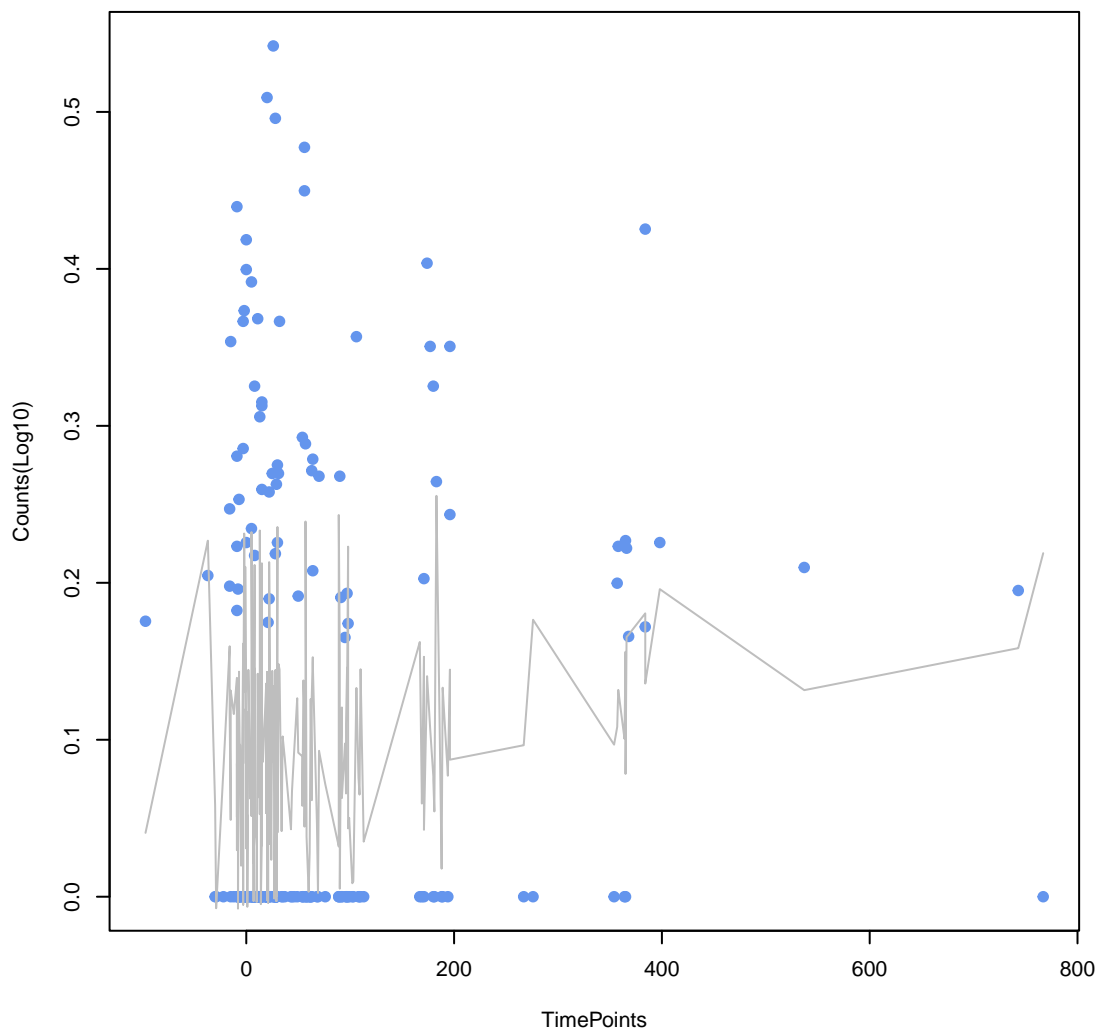
**gadX**  
ANOVA P=0.108, adj. ANOVA-P=0.4



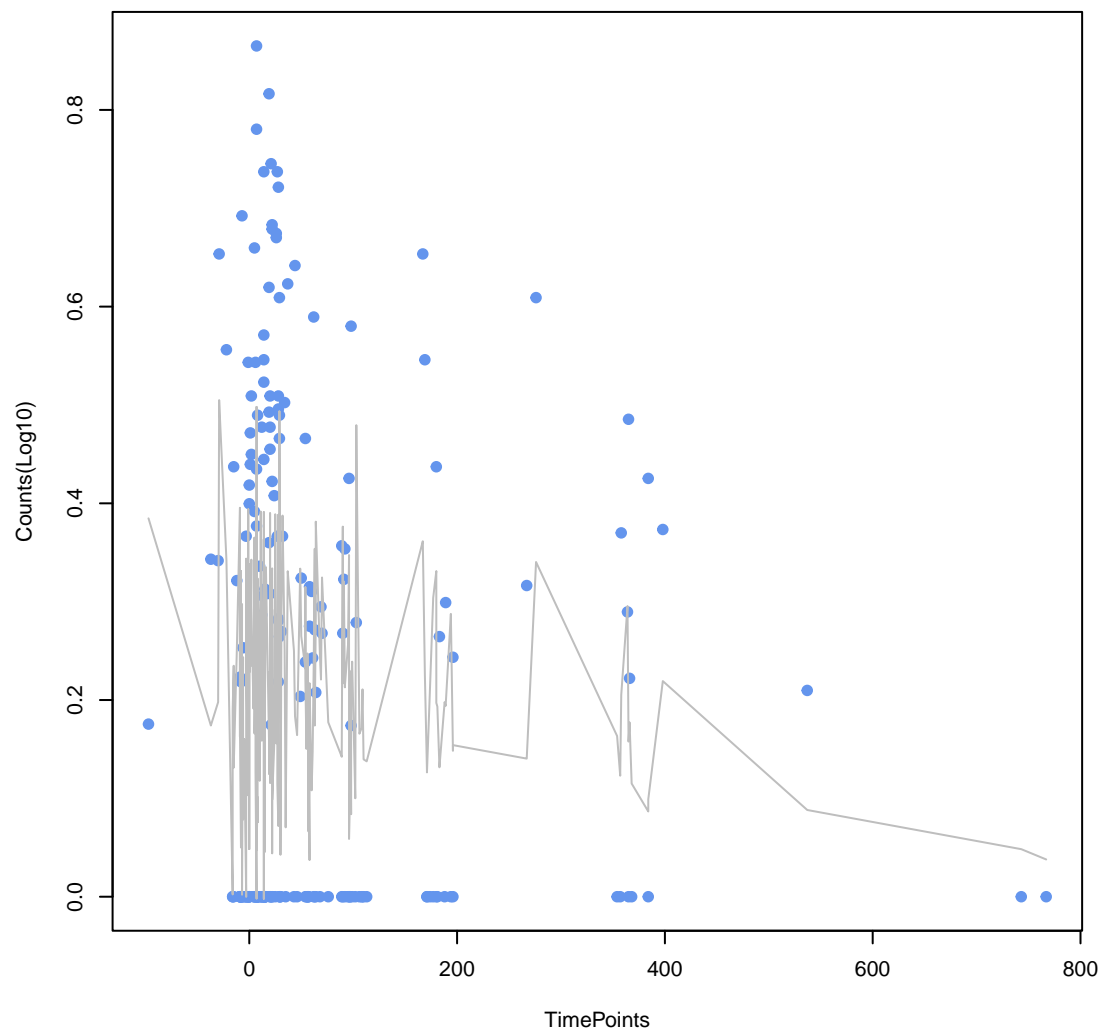
**emrR**  
ANOVA P=0.114, adj. ANOVA-P=0.407



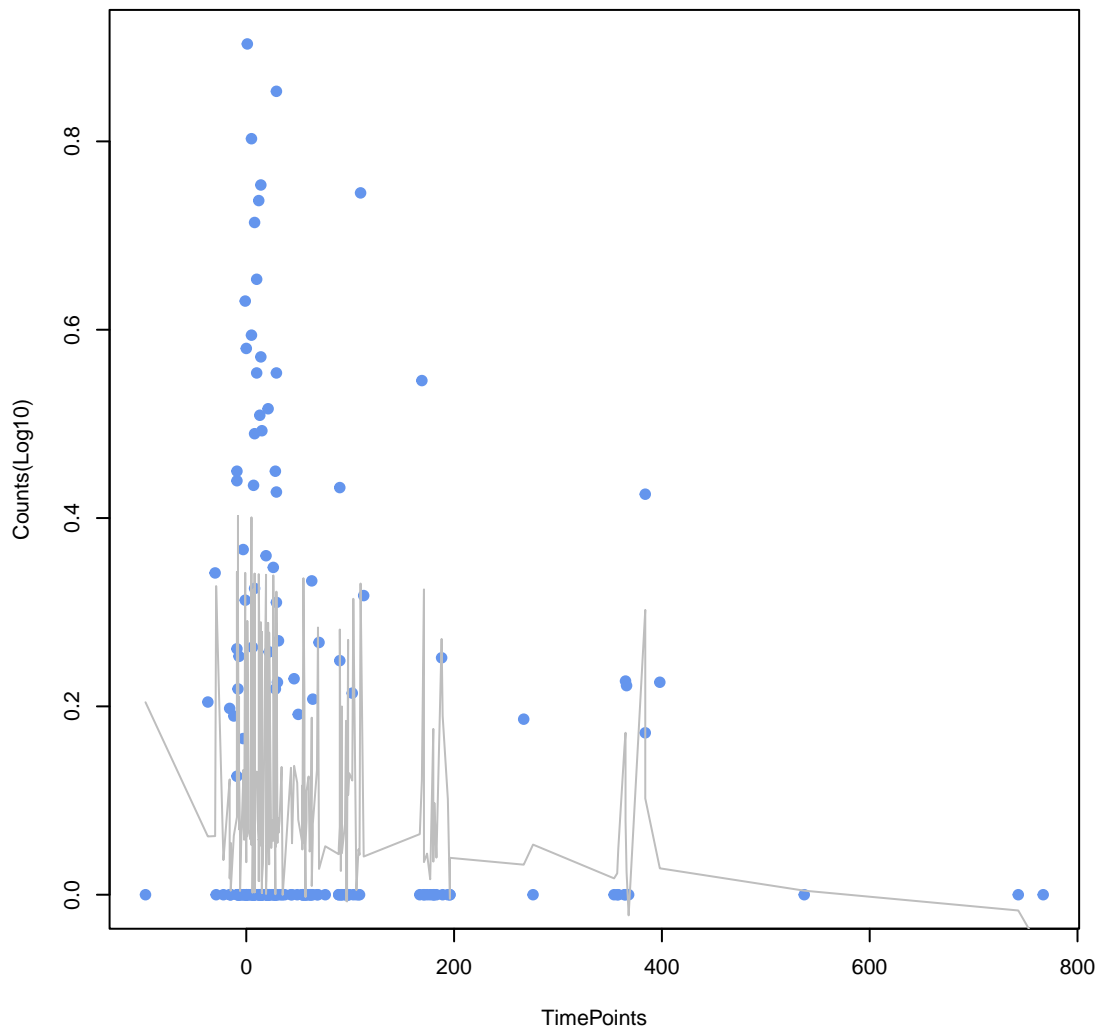
**AcrS**  
ANOVA P=0.119, adj. ANOVA-P=0.411



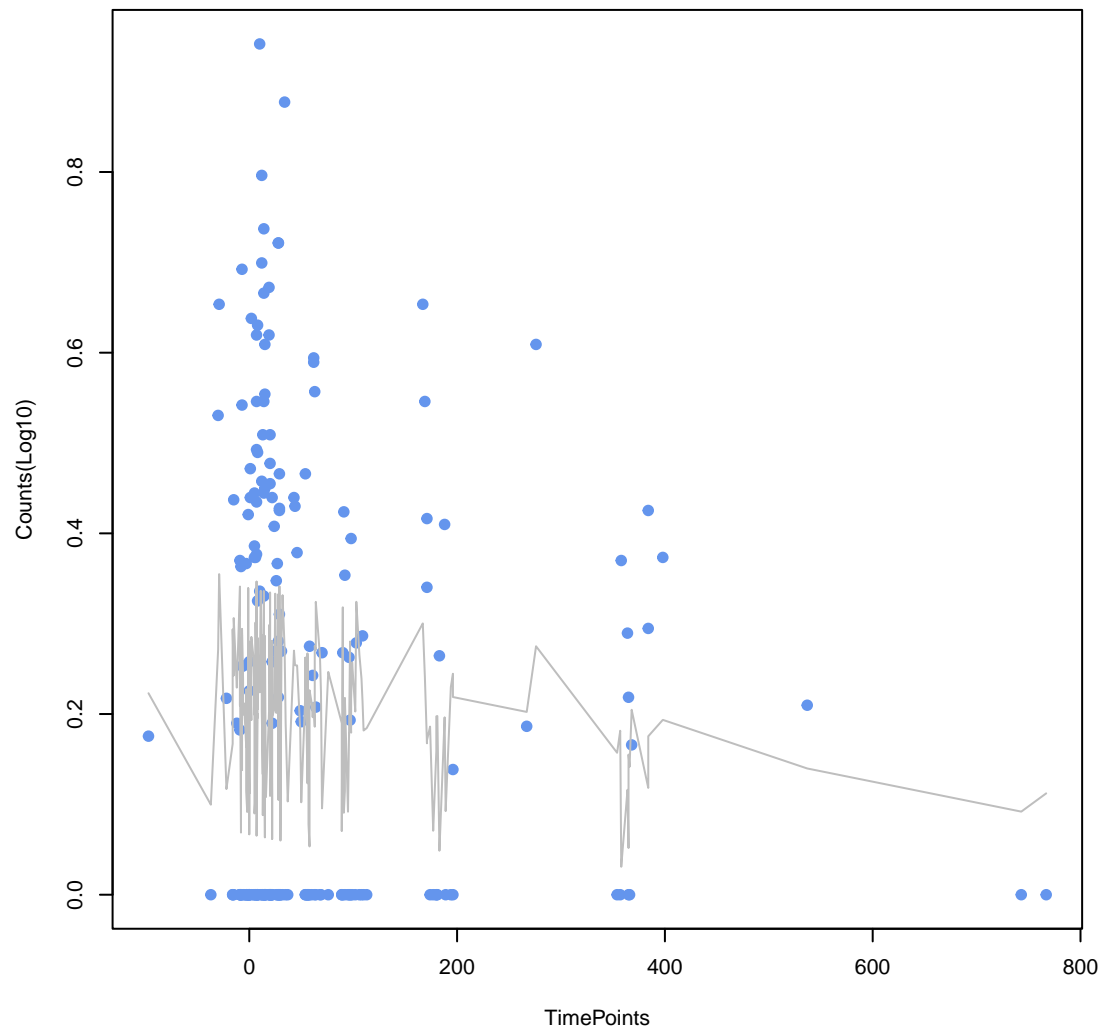
**vanS gene in vanA cluster**  
ANOVA P=0.123, adj. ANOVA-P=0.411



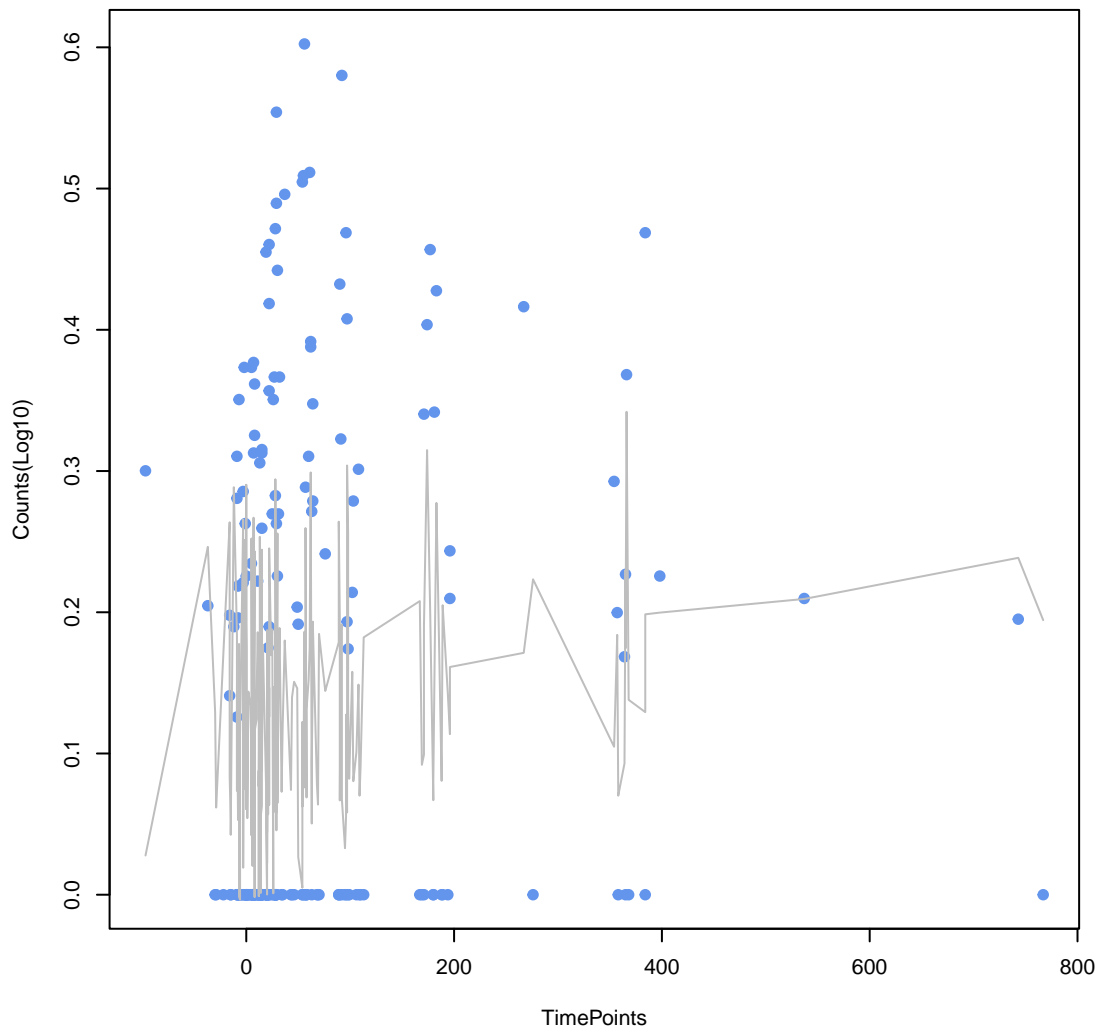
**pmrA**  
ANOVA P=0.128, adj. ANOVA-P=0.417



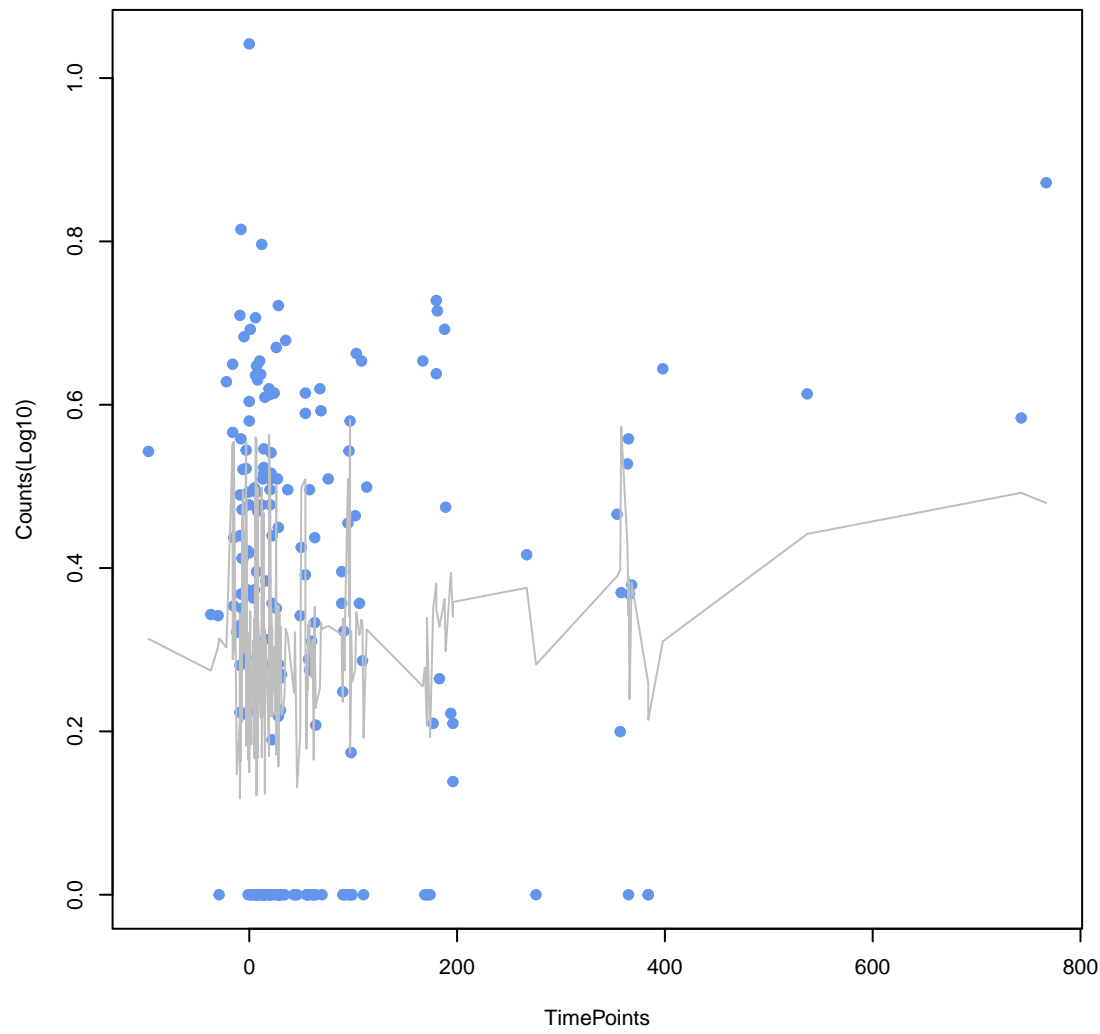
**msrC**  
ANOVA P=0.149, adj. ANOVA-P=0.459



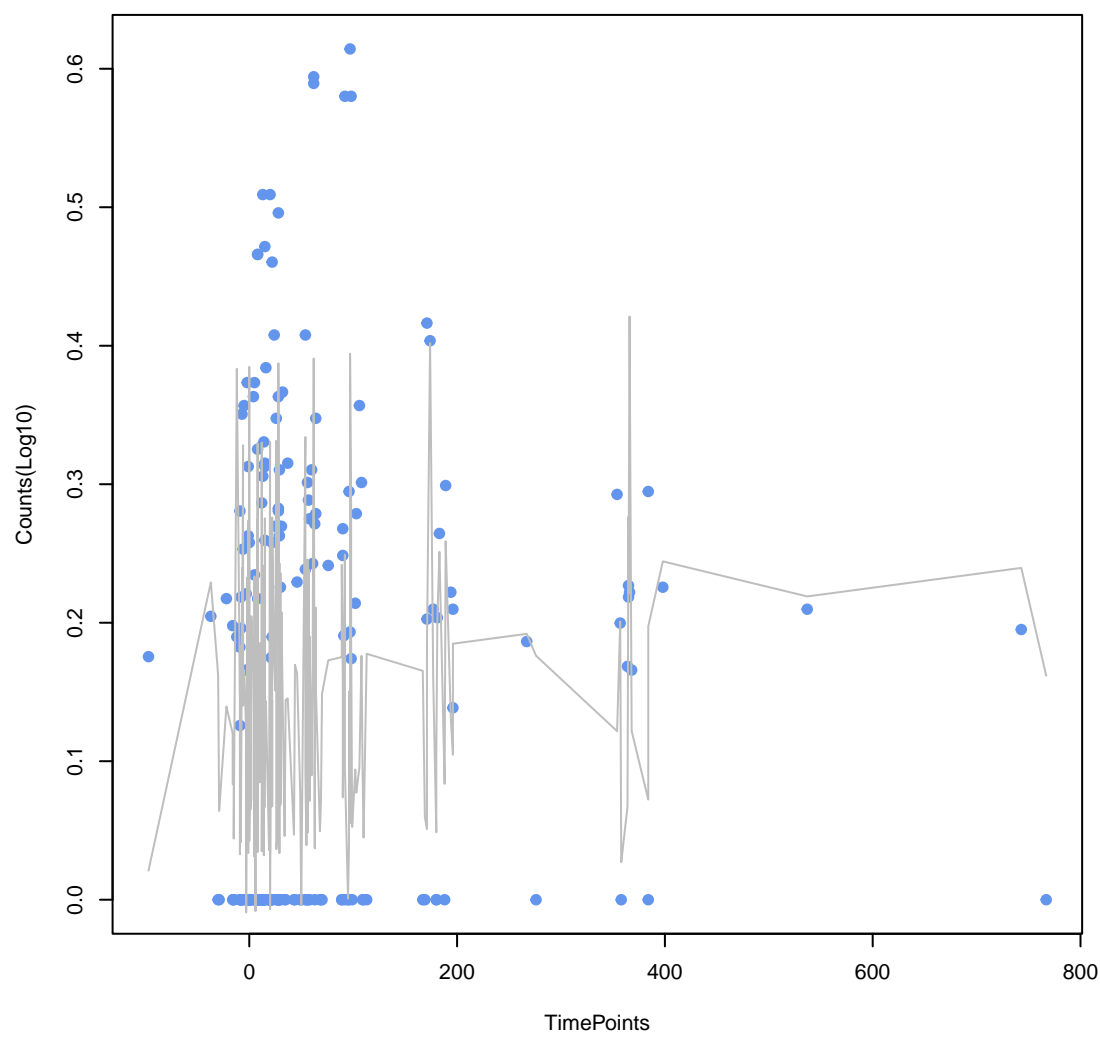
**emrB**  
ANOVA P=0.15, adj. ANOVA-P=0.459



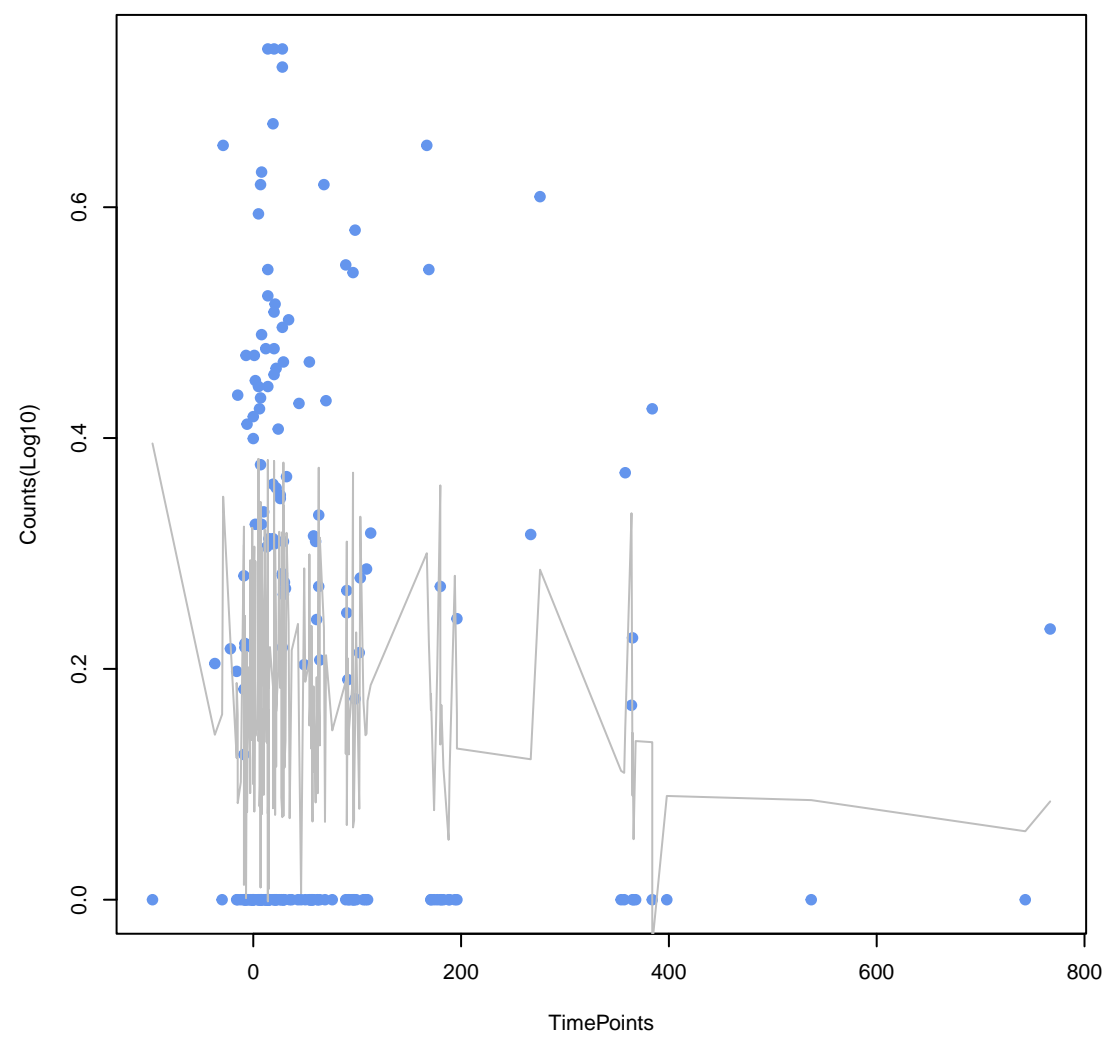
**BlaB-16**  
ANOVA P=0.156, adj. ANOVA-P=0.464



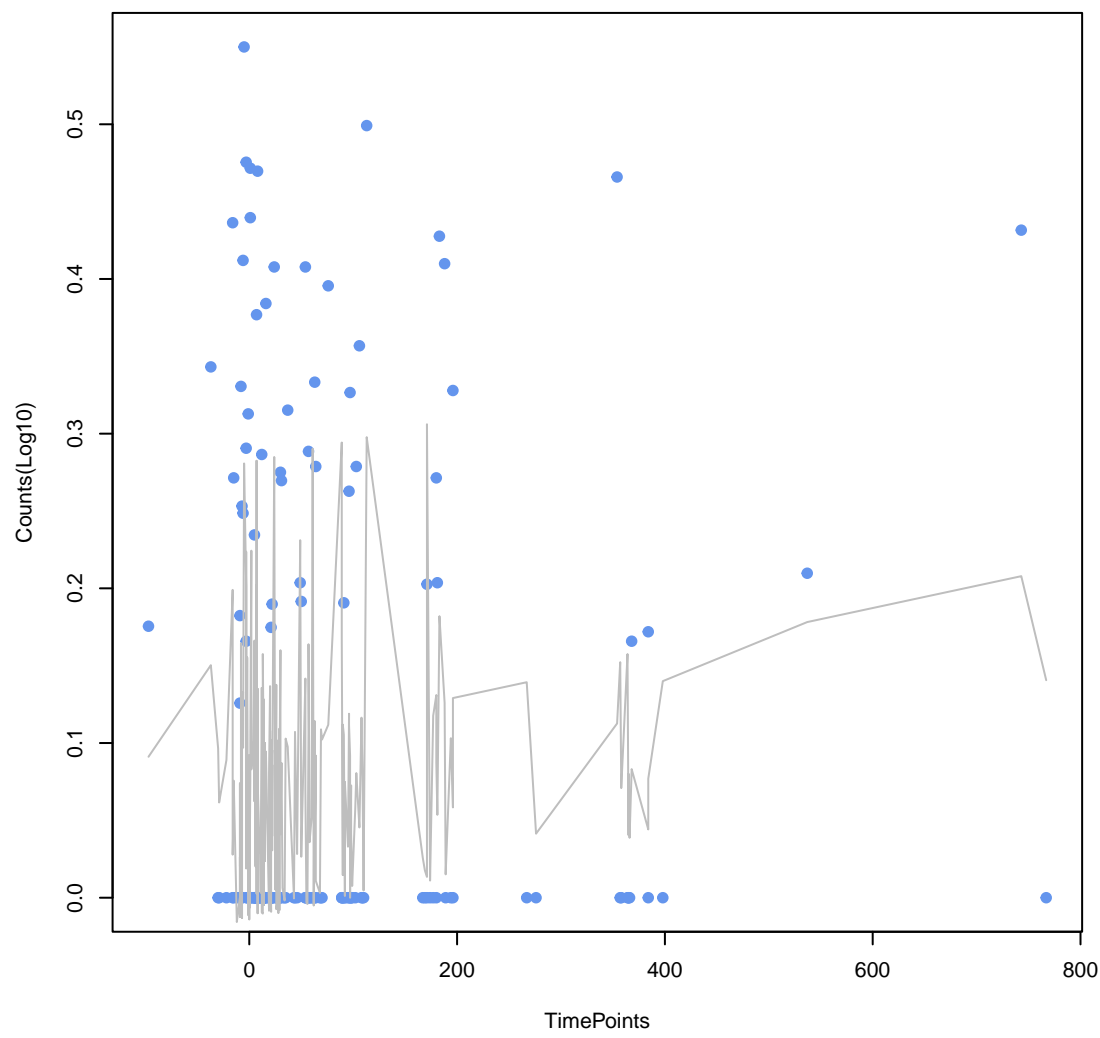
**Escherichia coli EF-Tu mutants conferring resistance to Pulvomycin**  
ANOVA P=0.16, adj. ANOVA-P=0.464



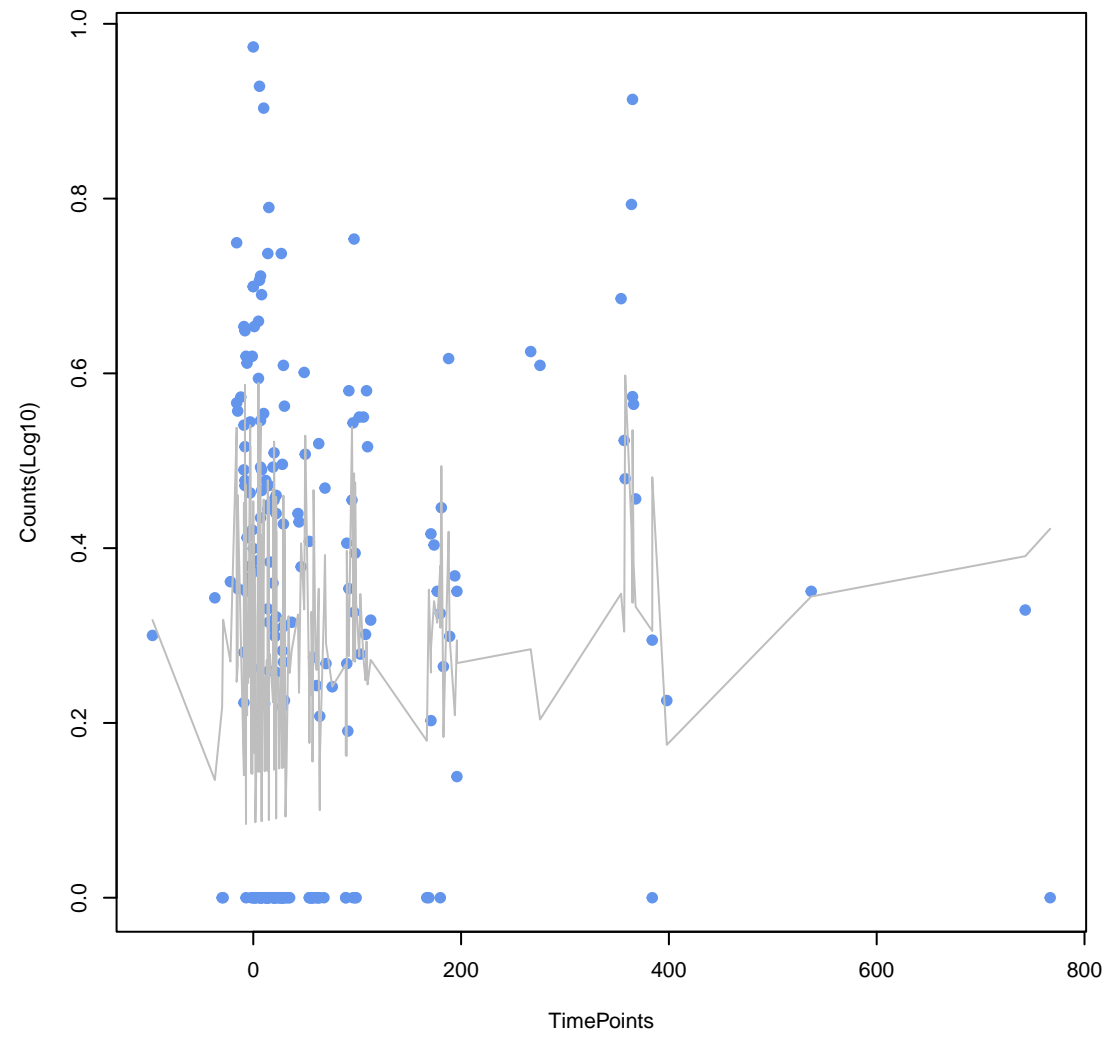
**vanX gene in vanA cluster**  
ANOVA P=0.175, adj. ANOVA-P=0.485



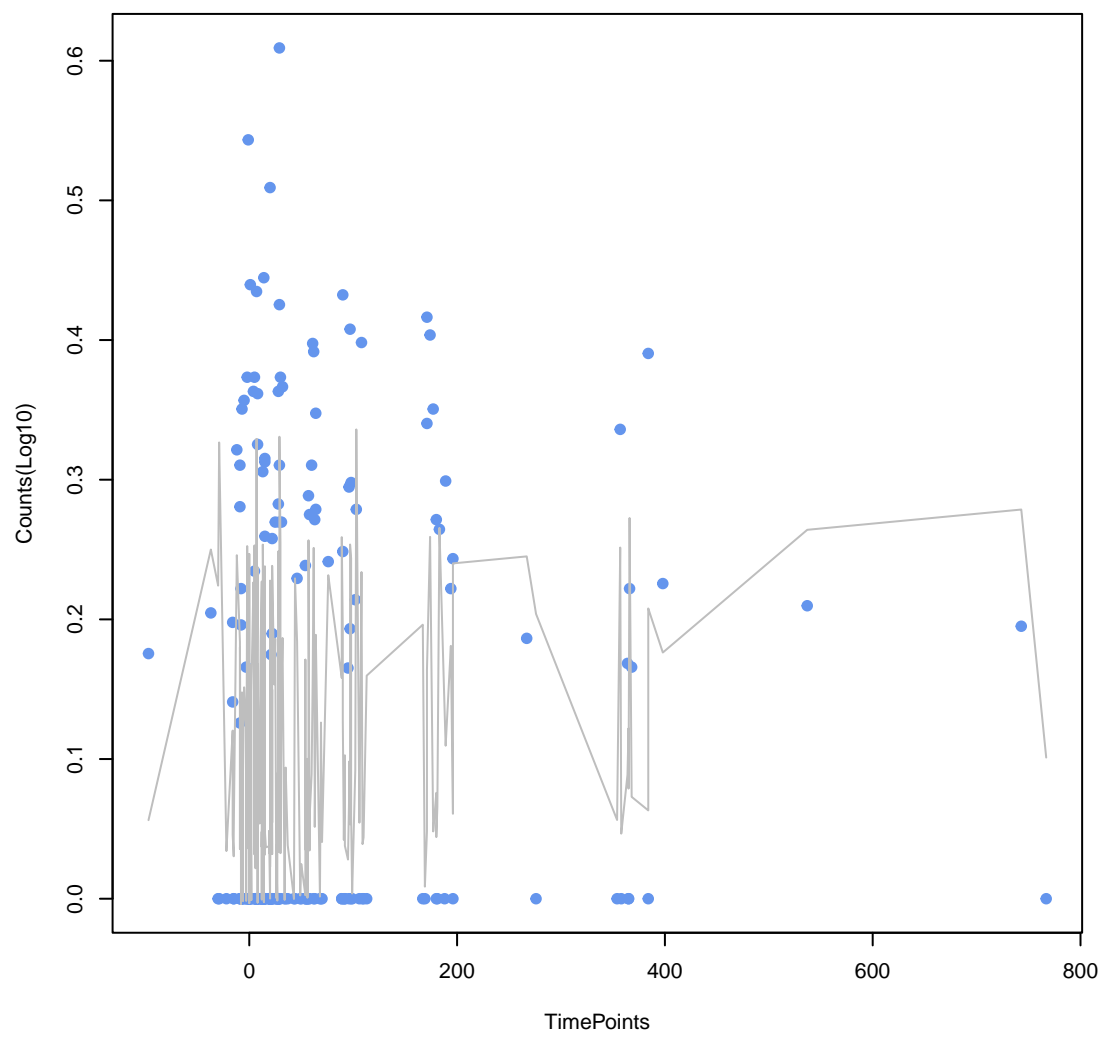
**SHV-43**  
ANOVA P=0.177, adj. ANOVA-P=0.485



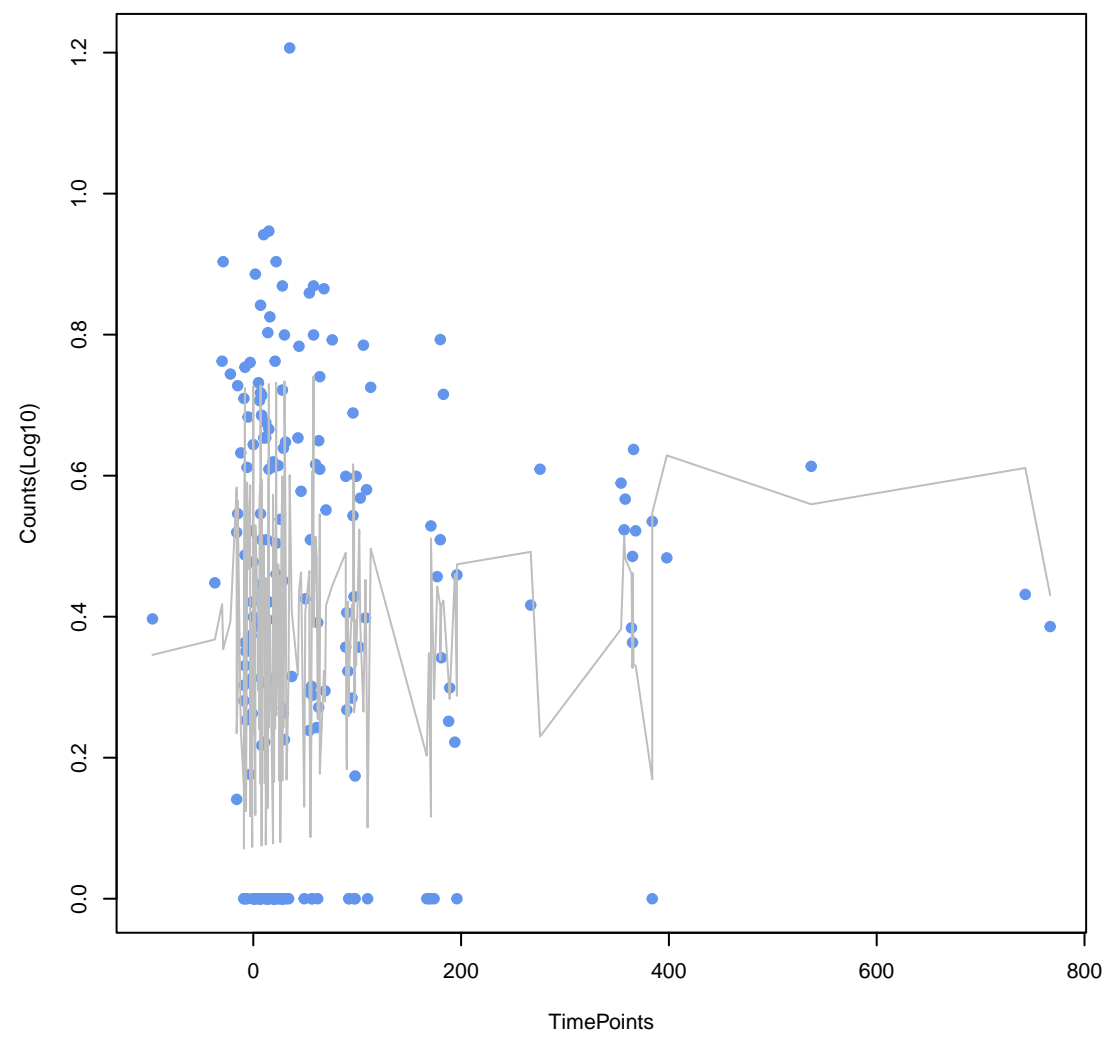
**BlaB-38**  
ANOVA P=0.201, adj. ANOVA-P=0.527



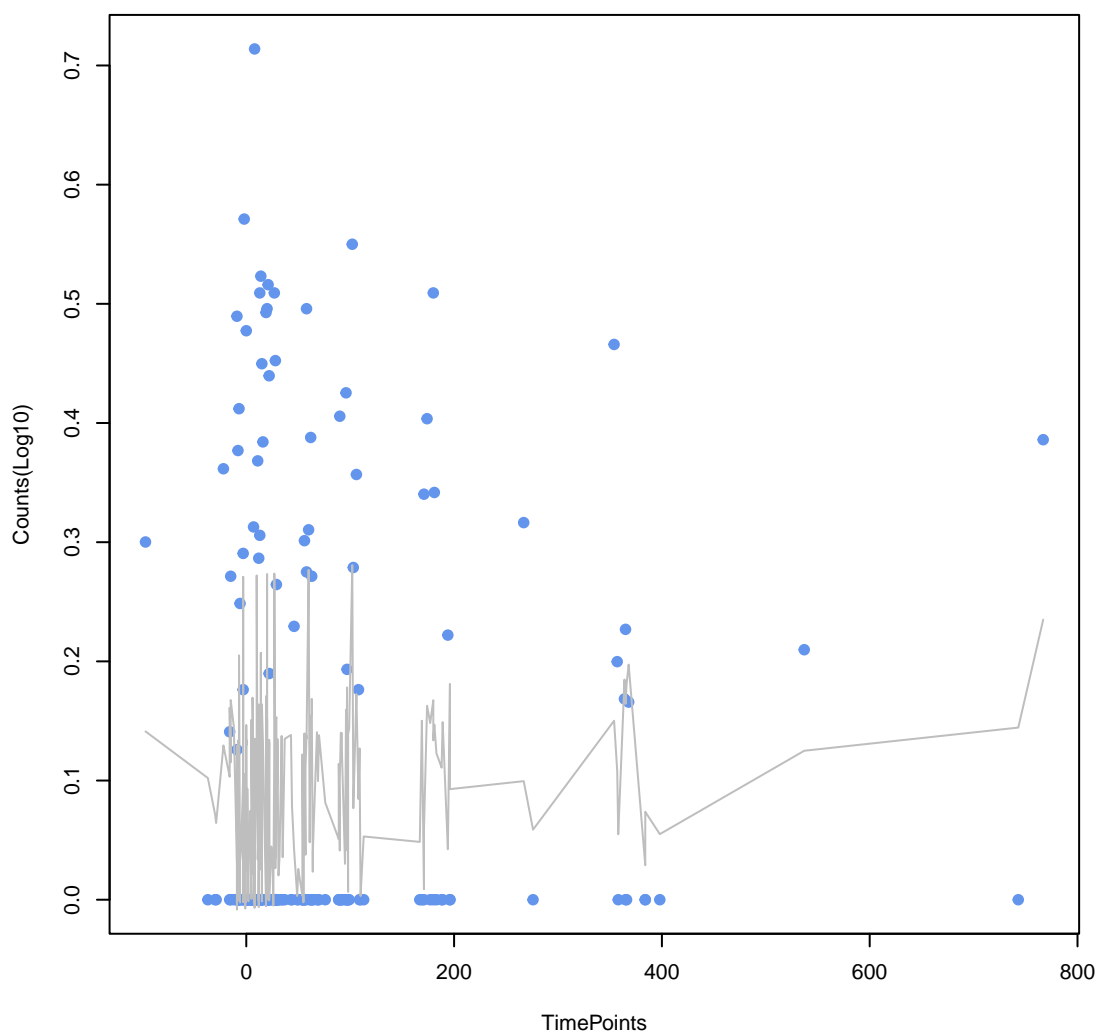
**Escherichia coli soxS with mutation conferring antibiotic resistance**  
ANOVA P=0.202, adj. ANOVA-P=0.527



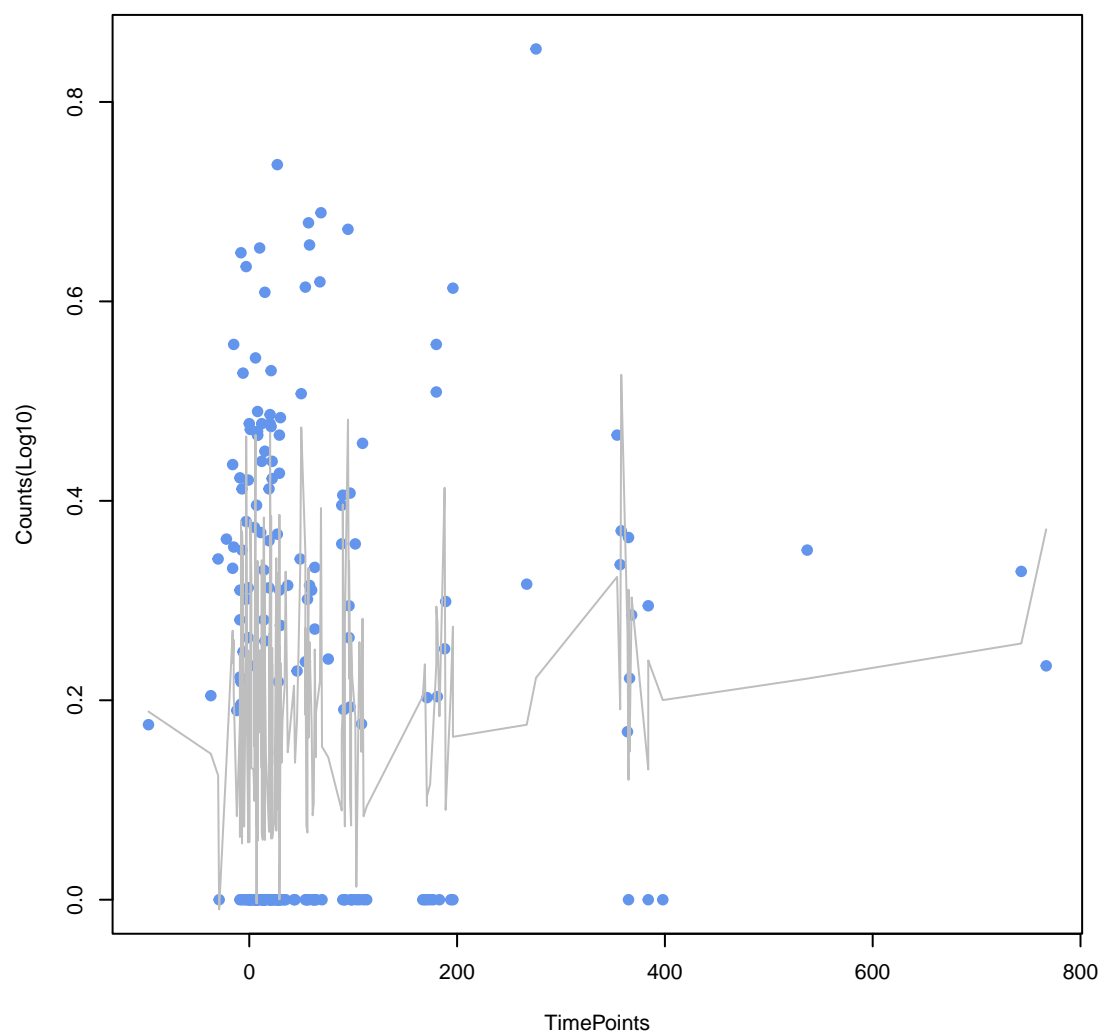
**poxtA**  
ANOVA P=0.211, adj. ANOVA-P=0.533



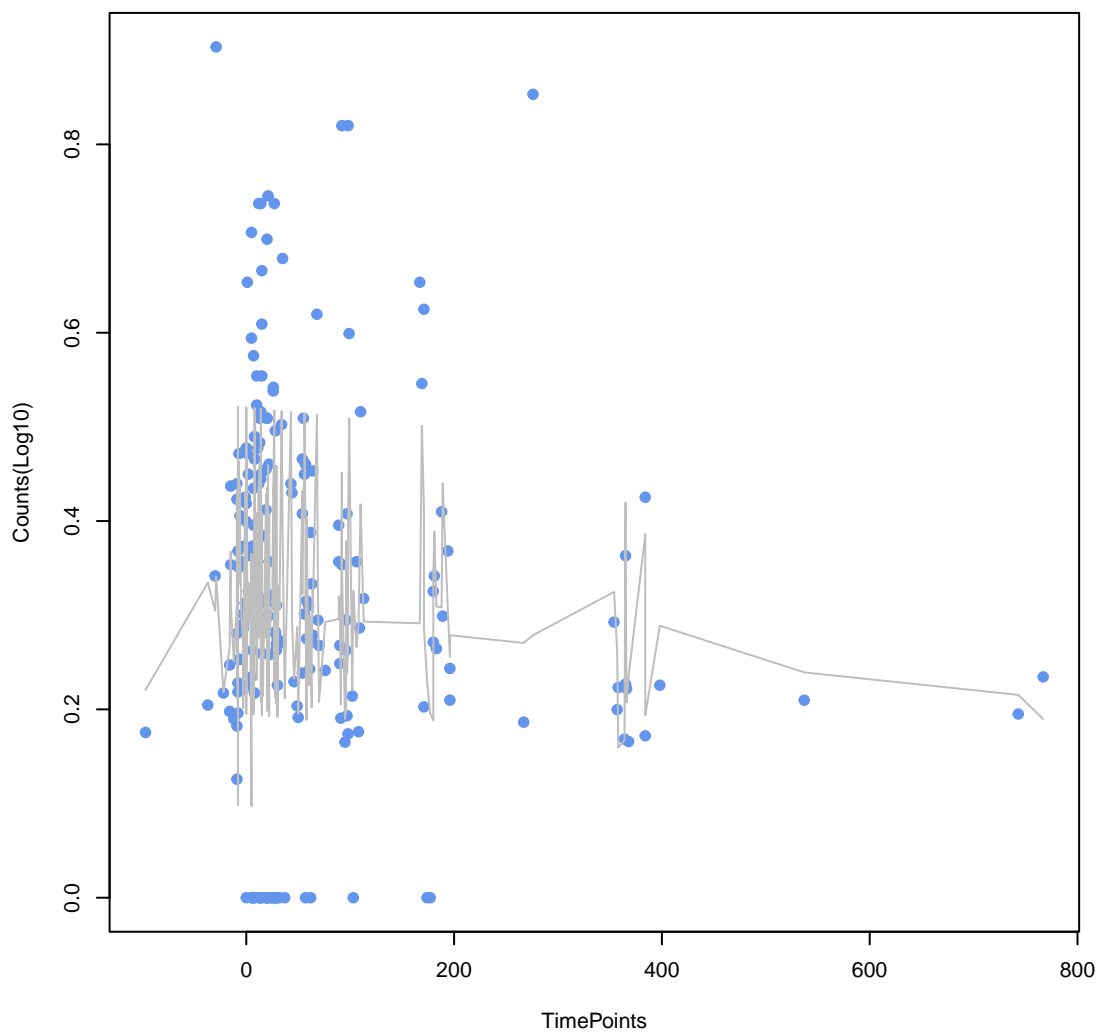
**tet(W/N/W)**  
ANOVA P=0.219, adj. ANOVA-P=0.533



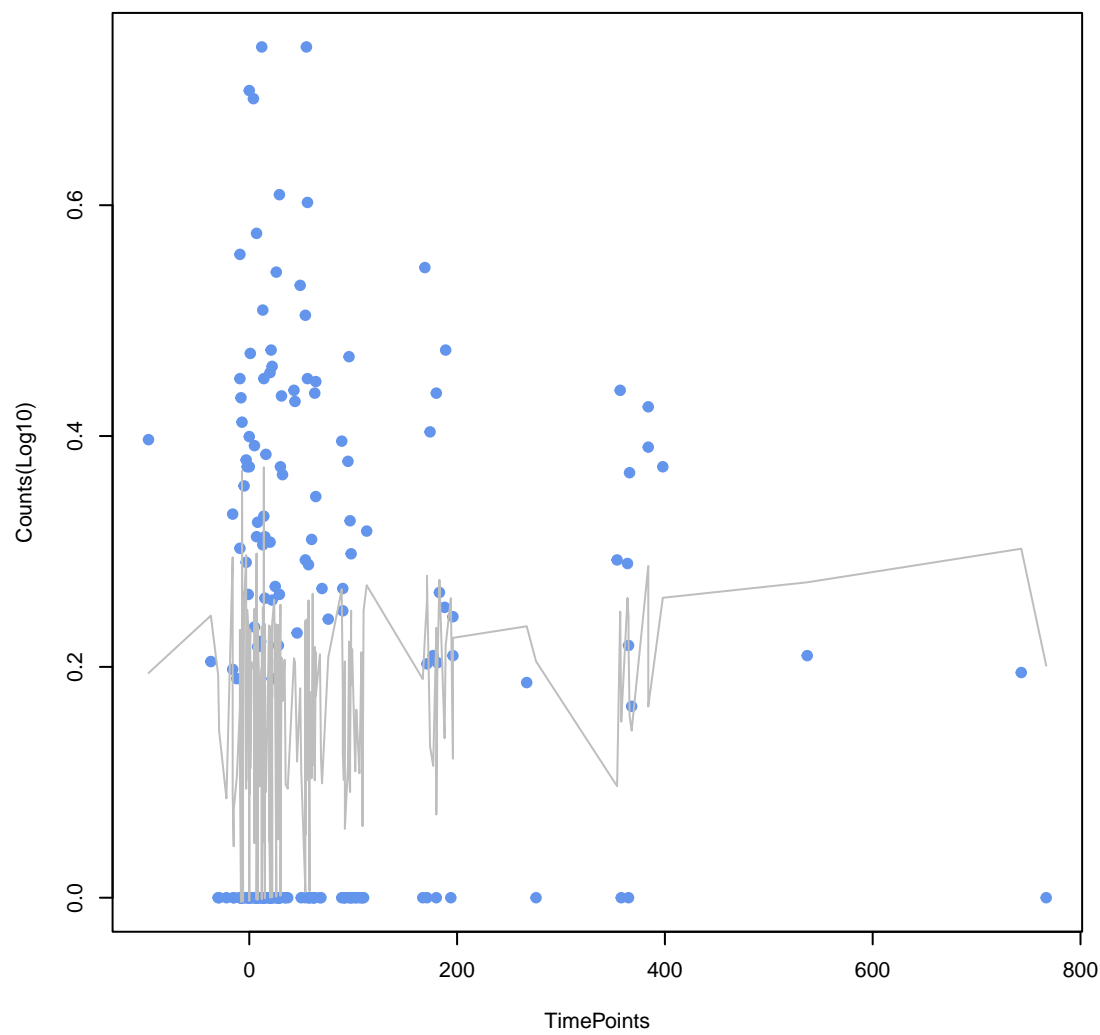
**chrB**  
ANOVA P=0.219, adj. ANOVA-P=0.533



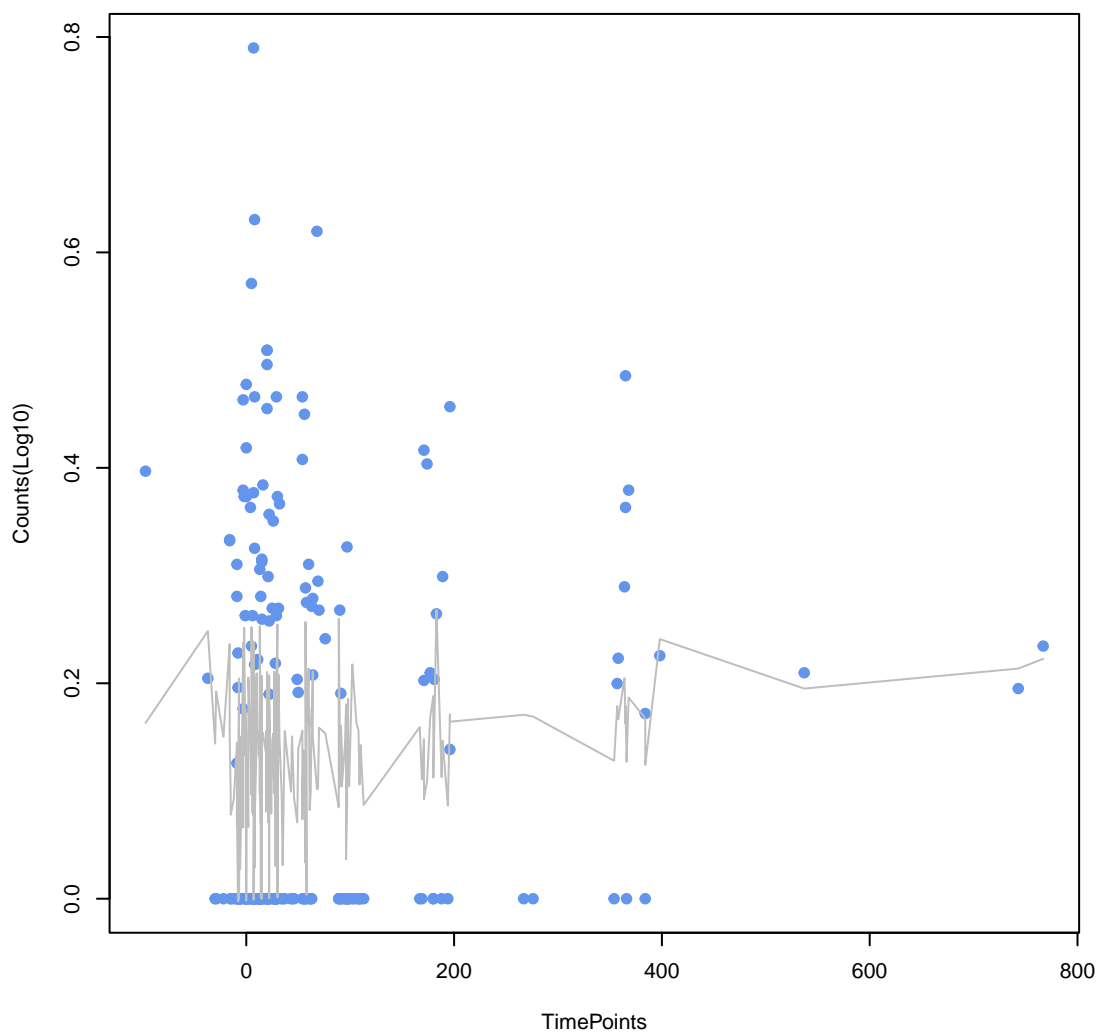
**tet(40)**  
ANOVA P=0.238, adj. ANOVA-P=0.565



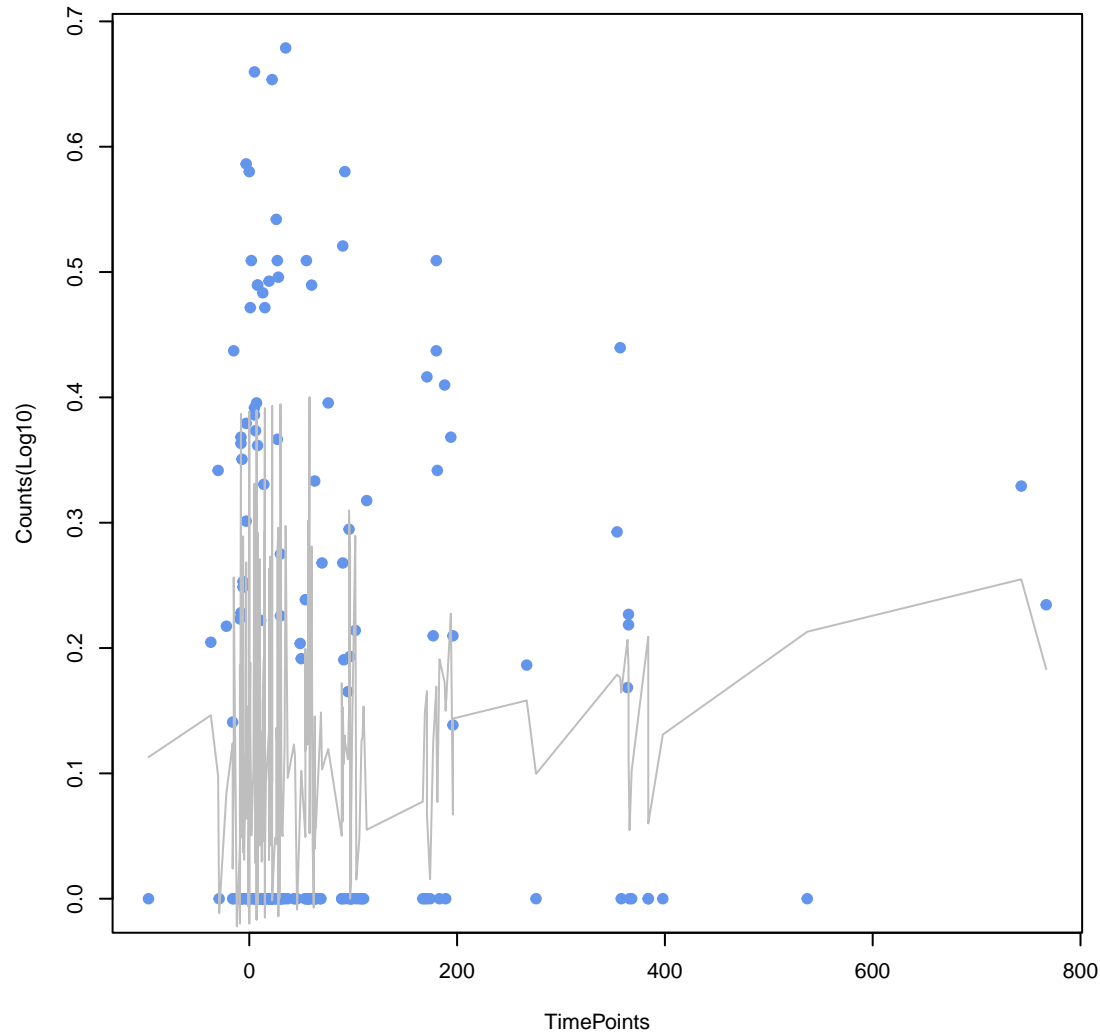
**baeS**  
ANOVA P=0.255, adj. ANOVA-P=0.572



**mdtN**  
ANOVA P=0.257, adj. ANOVA-P=0.572

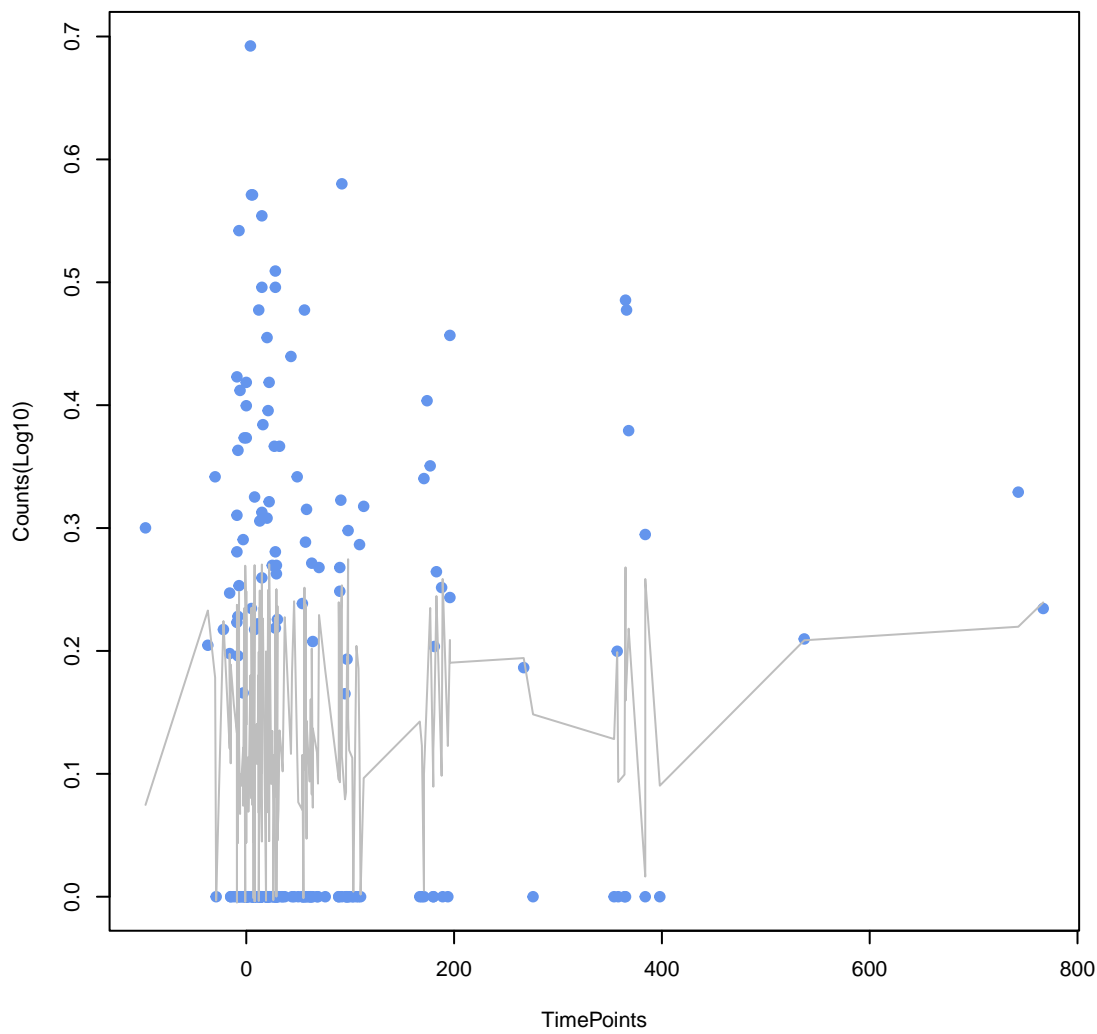


**tet(W/32/O)**  
ANOVA P=0.258, adj. ANOVA-P=0.572

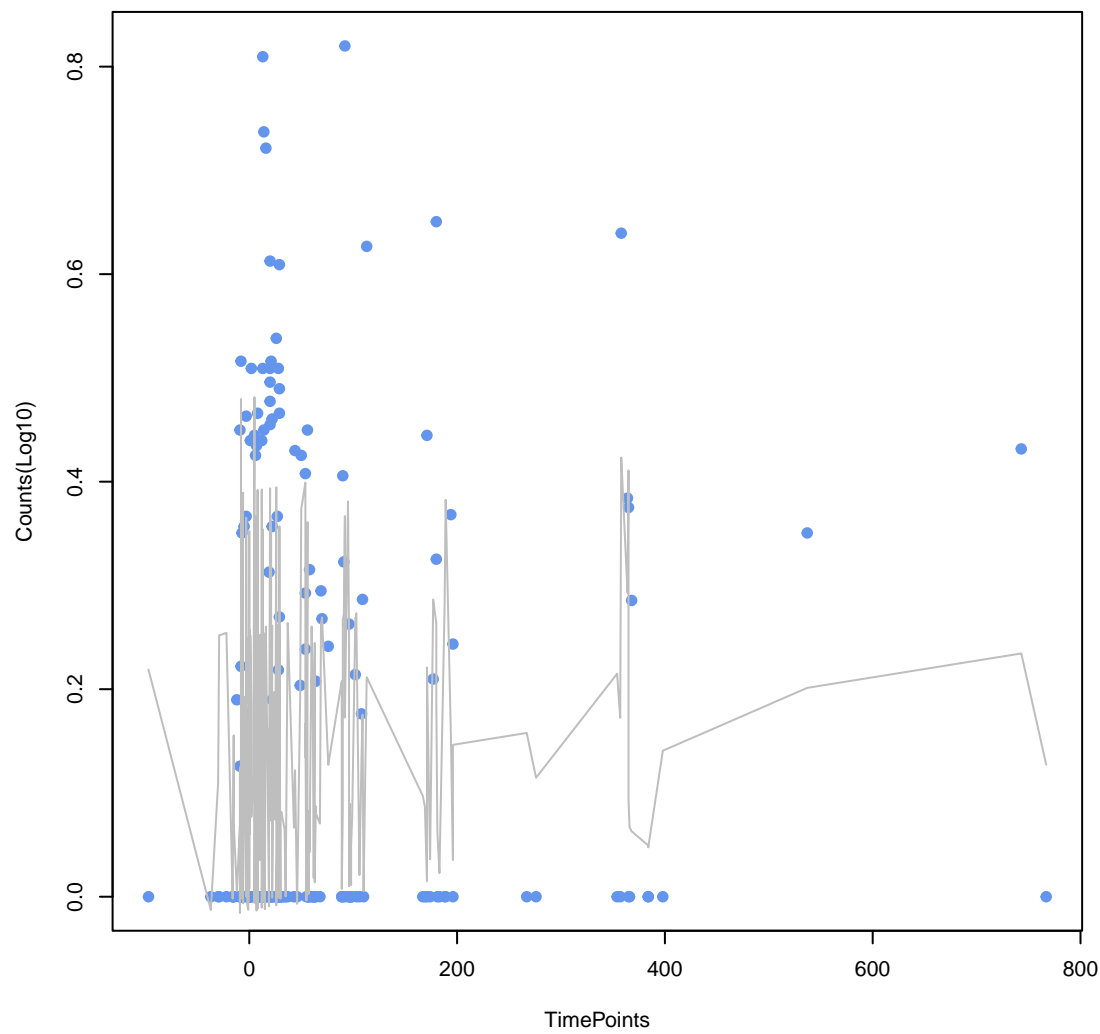




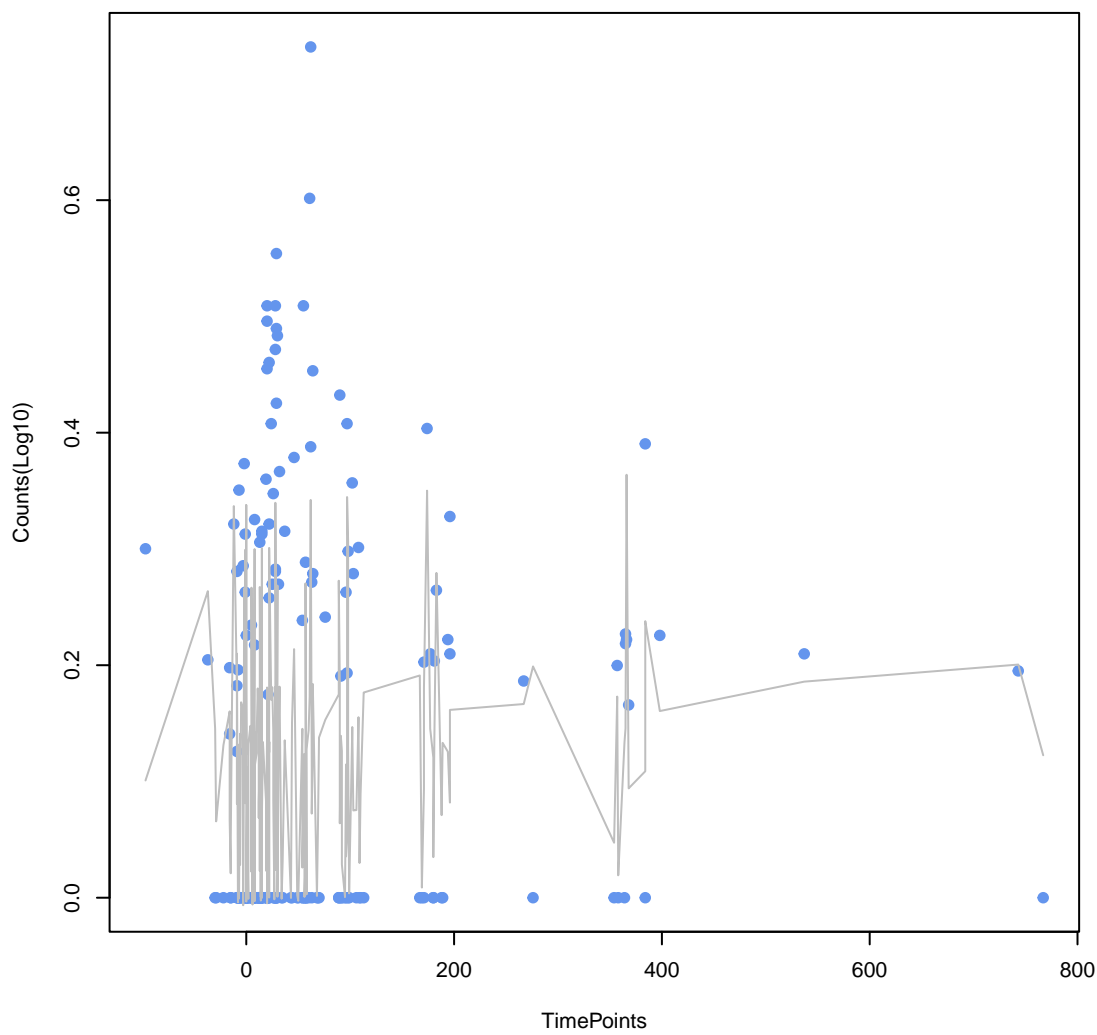
**eptA**  
ANOVA P=0.262, adj. ANOVA-P=0.572



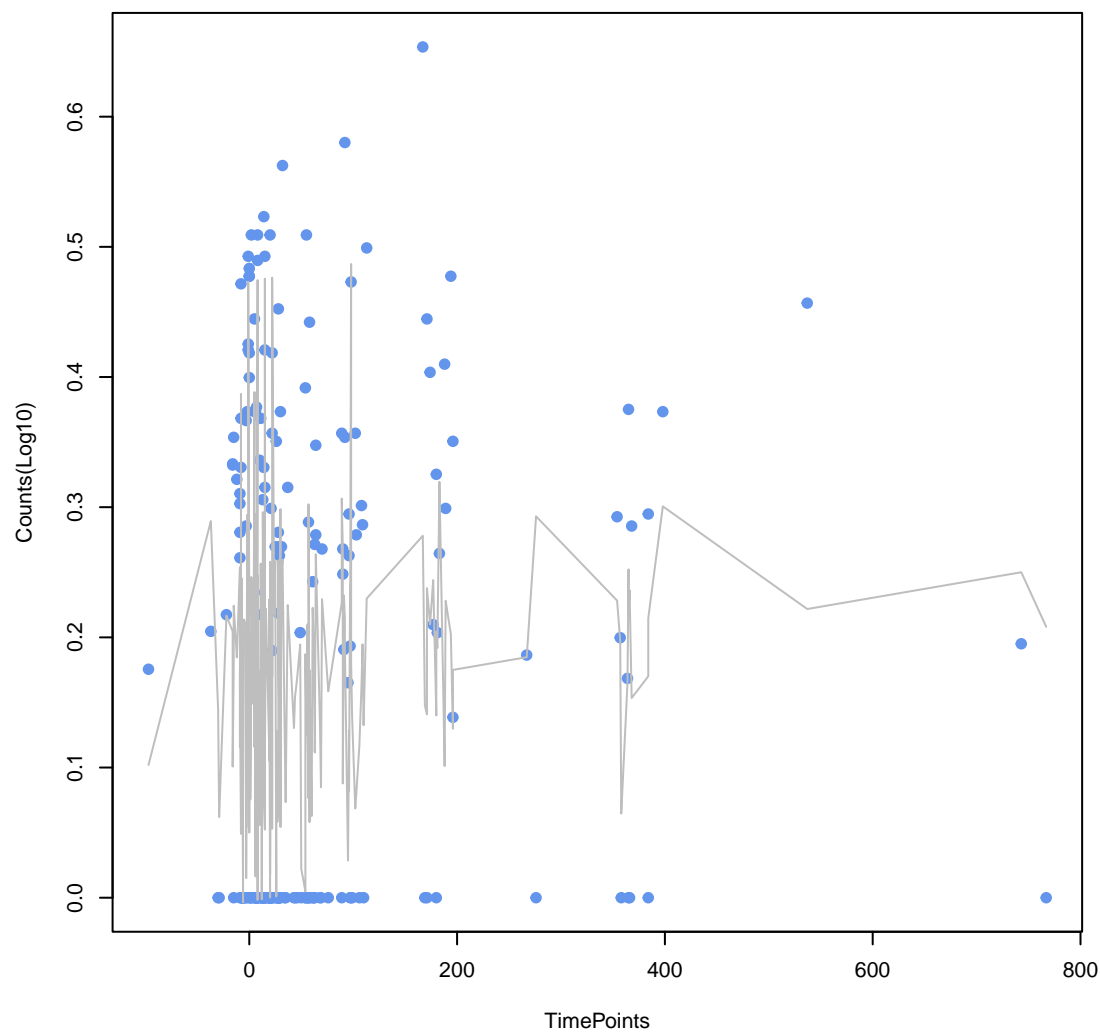
**mdeA**  
ANOVA P=0.27, adj. ANOVA-P=0.577



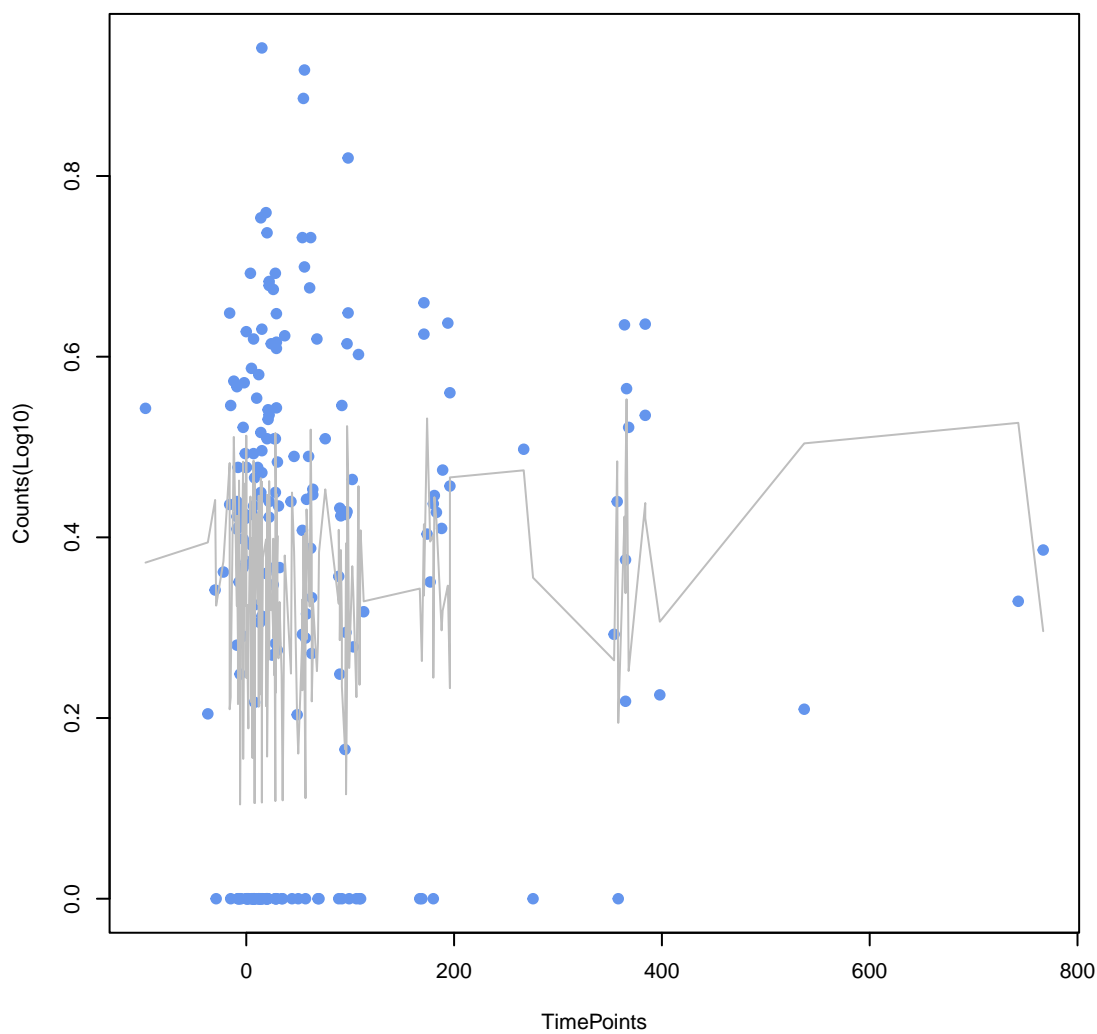
**marA**  
ANOVA P=0.299, adj. ANOVA-P=0.611



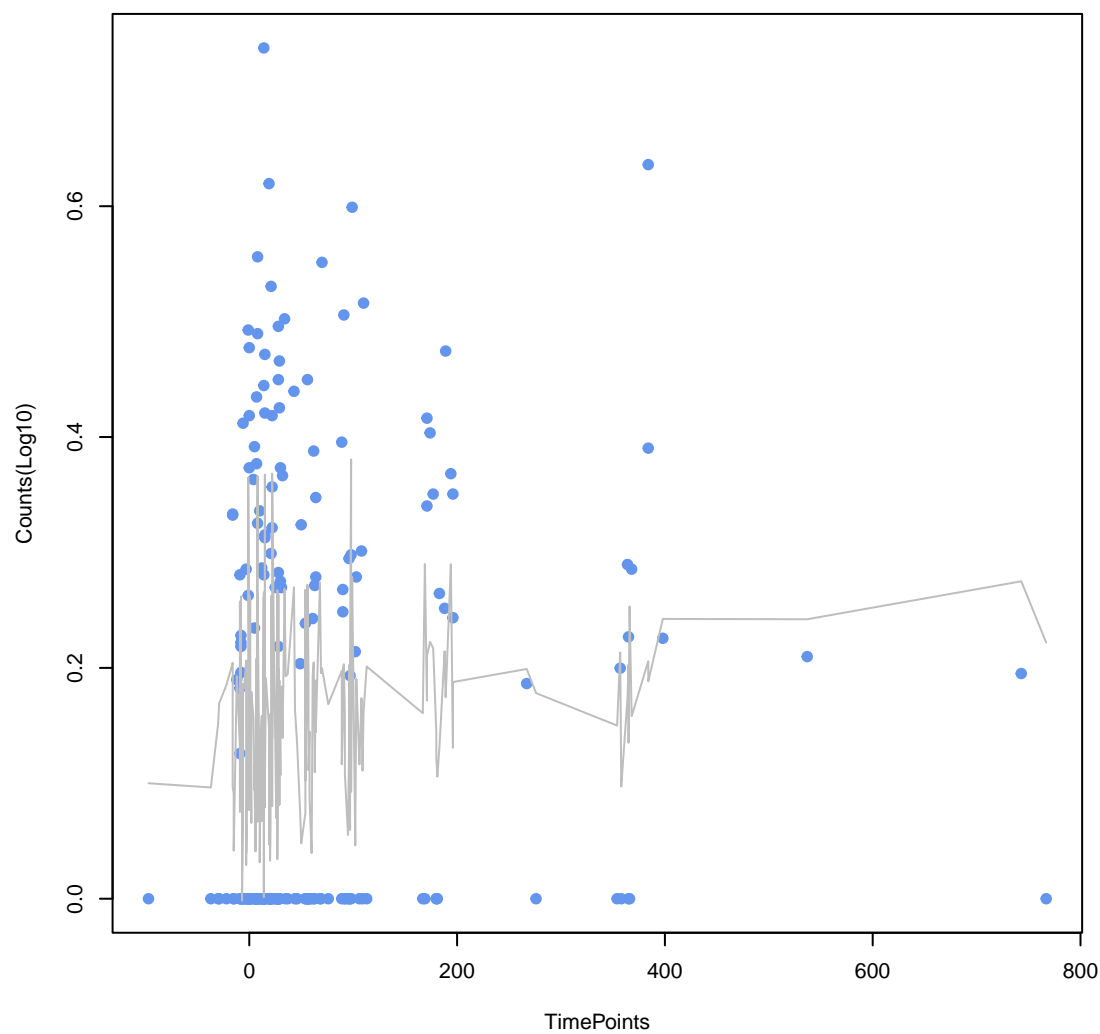
**mdtG**  
ANOVA P=0.304, adj. ANOVA-P=0.611



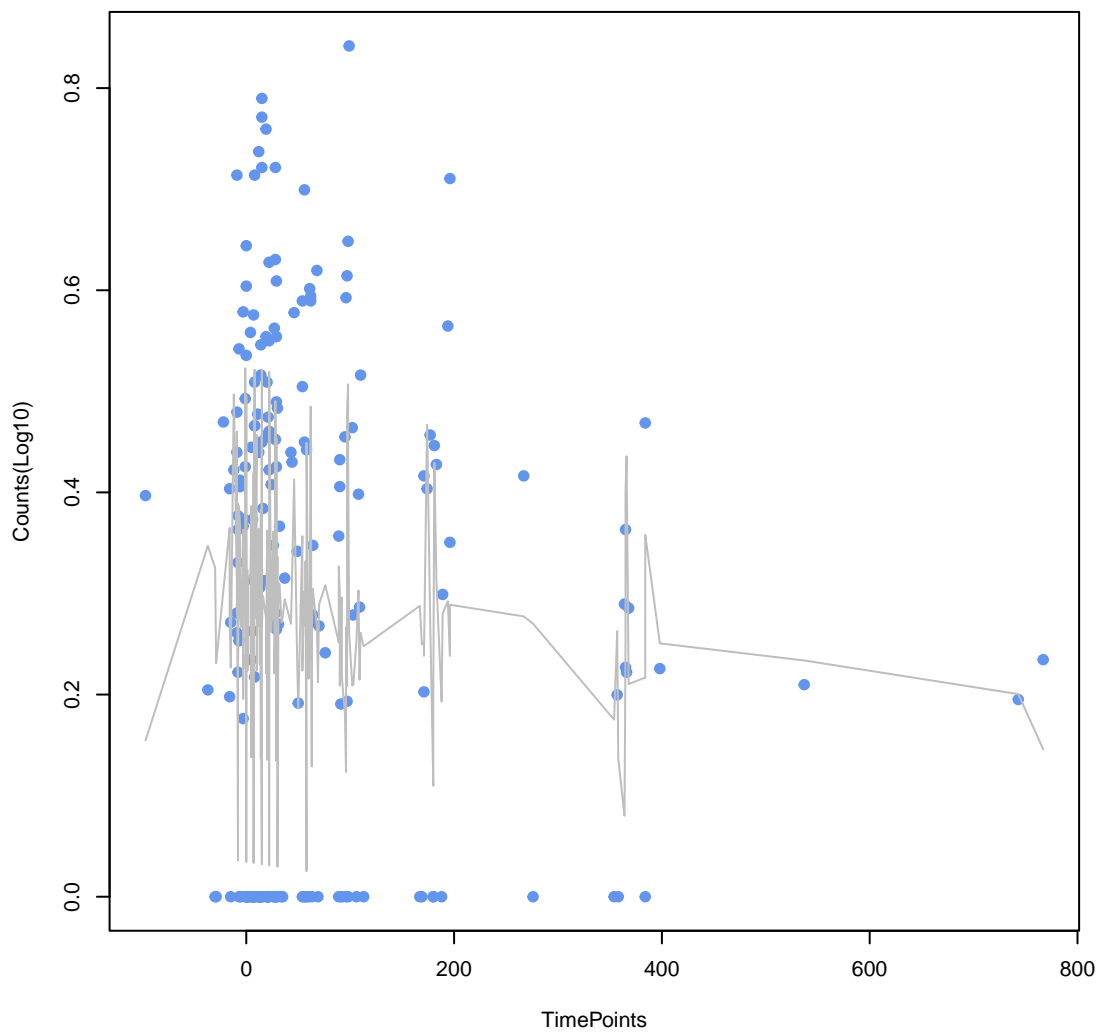
**acrD**  
ANOVA P=0.307, adj. ANOVA-P=0.611



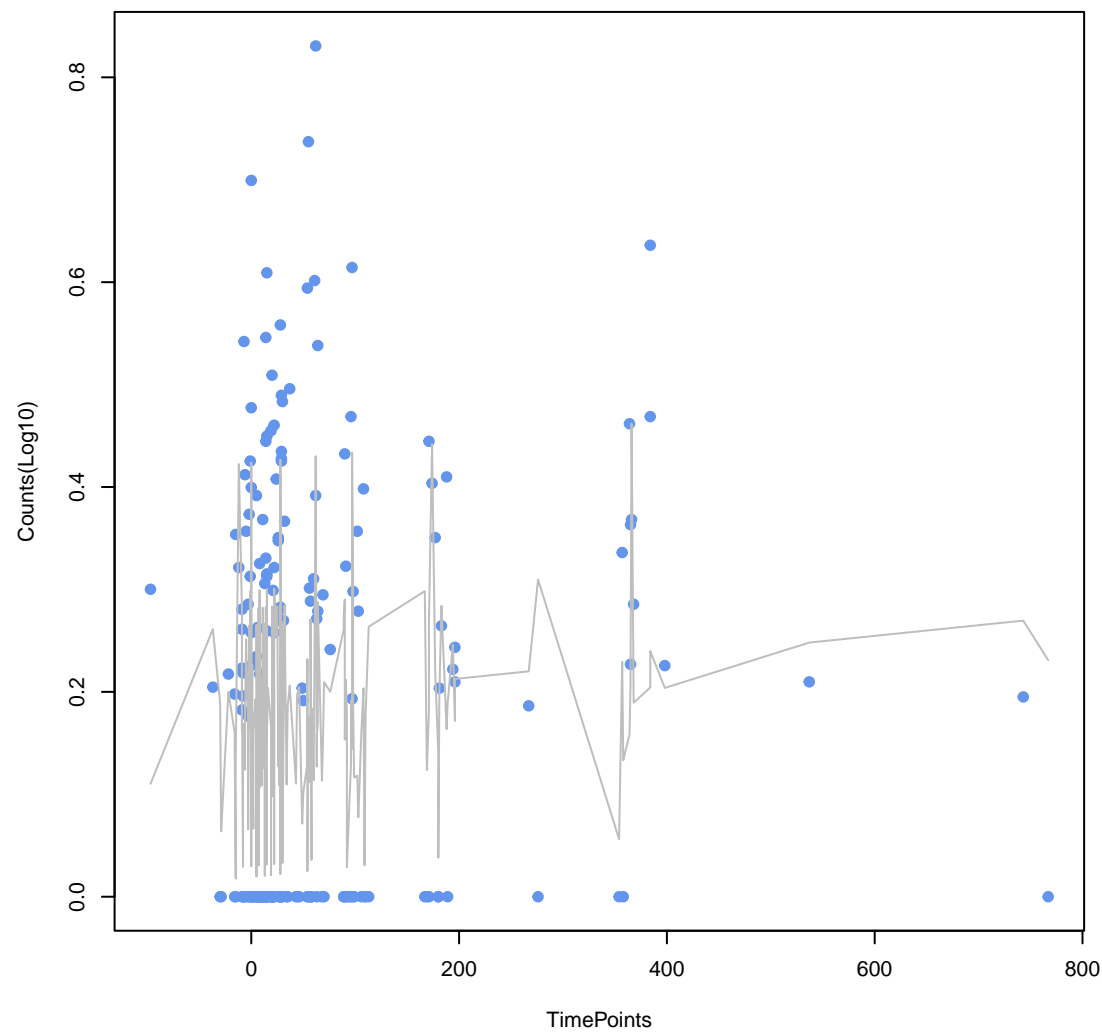
**mdtM**  
ANOVA P=0.314, adj. ANOVA-P=0.611



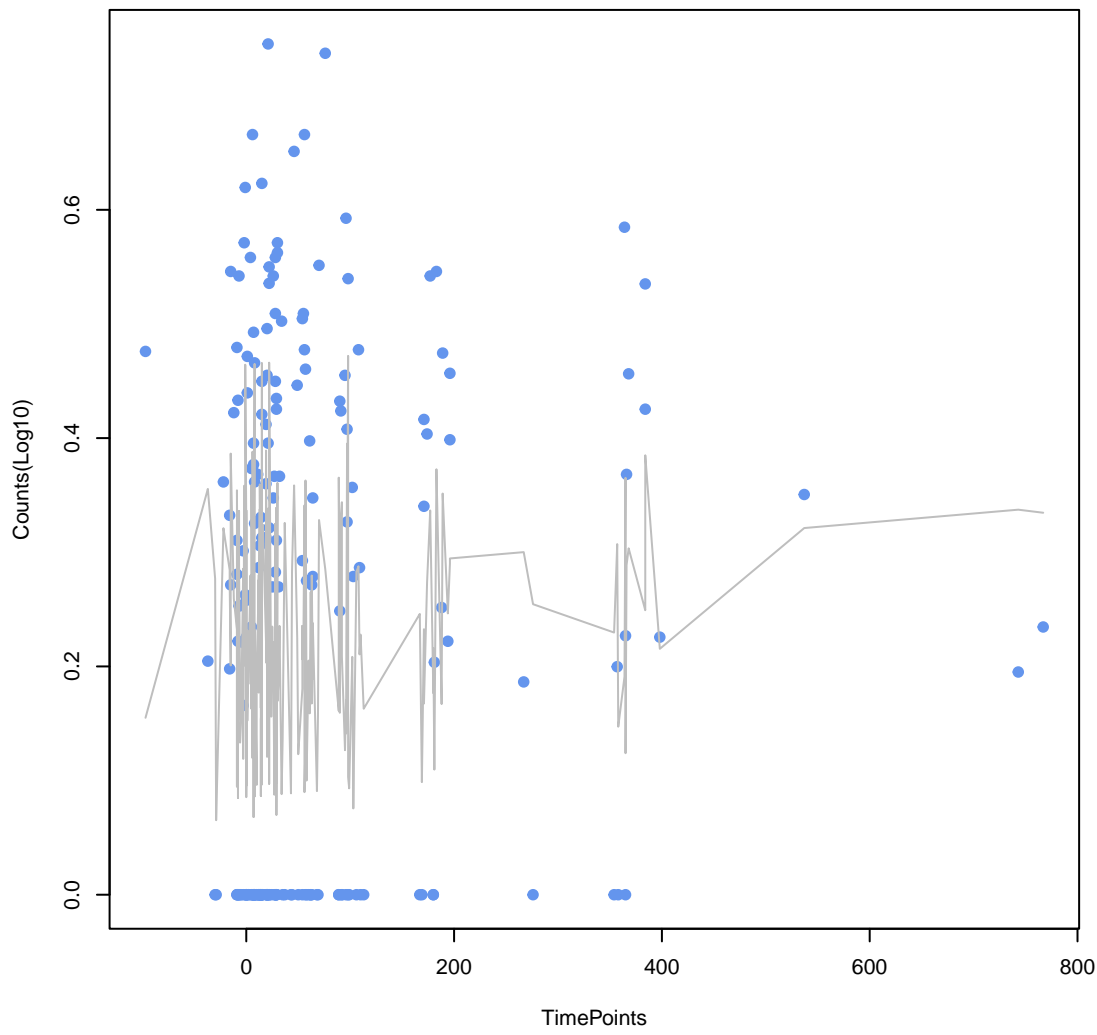
**mdtC**  
ANOVA P=0.314, adj. ANOVA-P=0.611



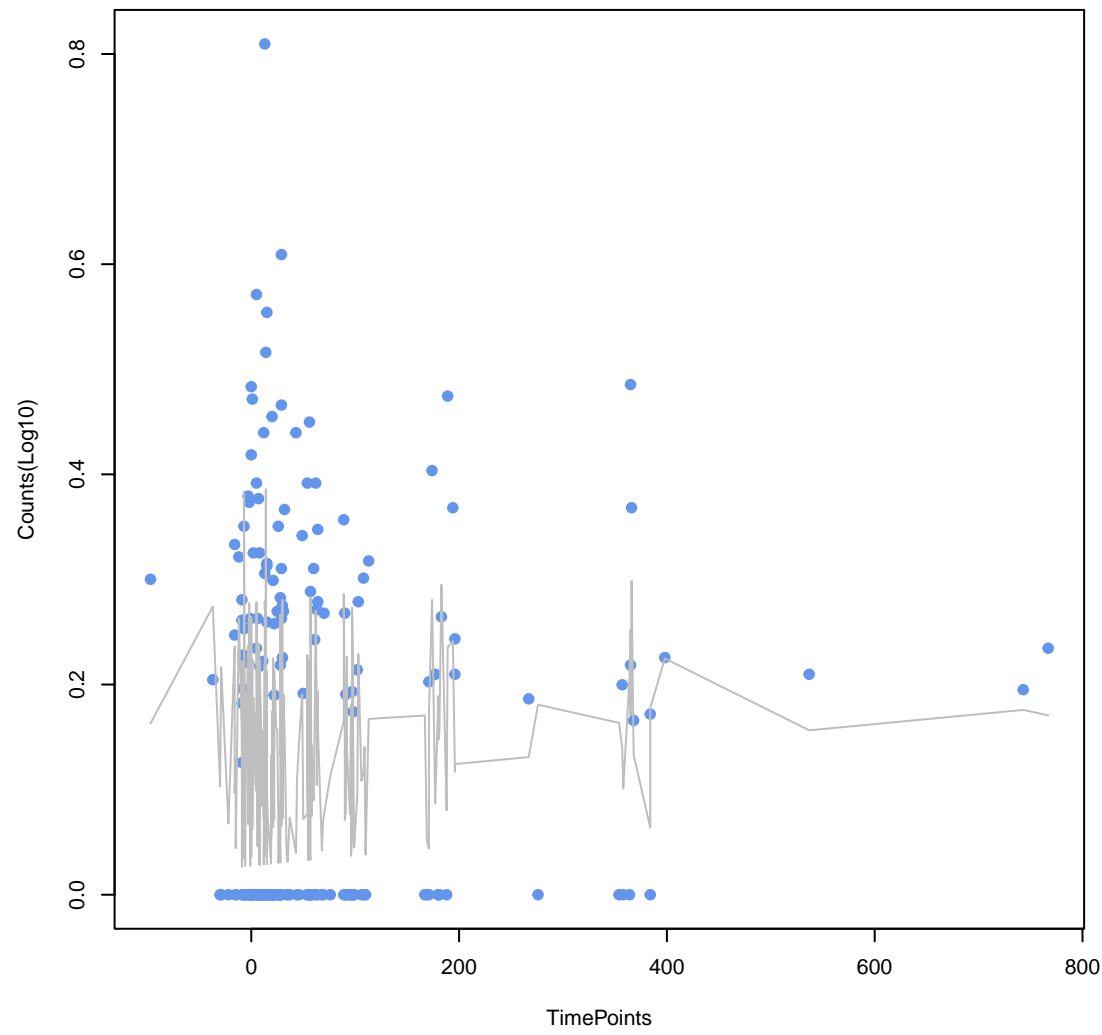
**baeR**  
ANOVA P=0.32, adj. ANOVA-P=0.611



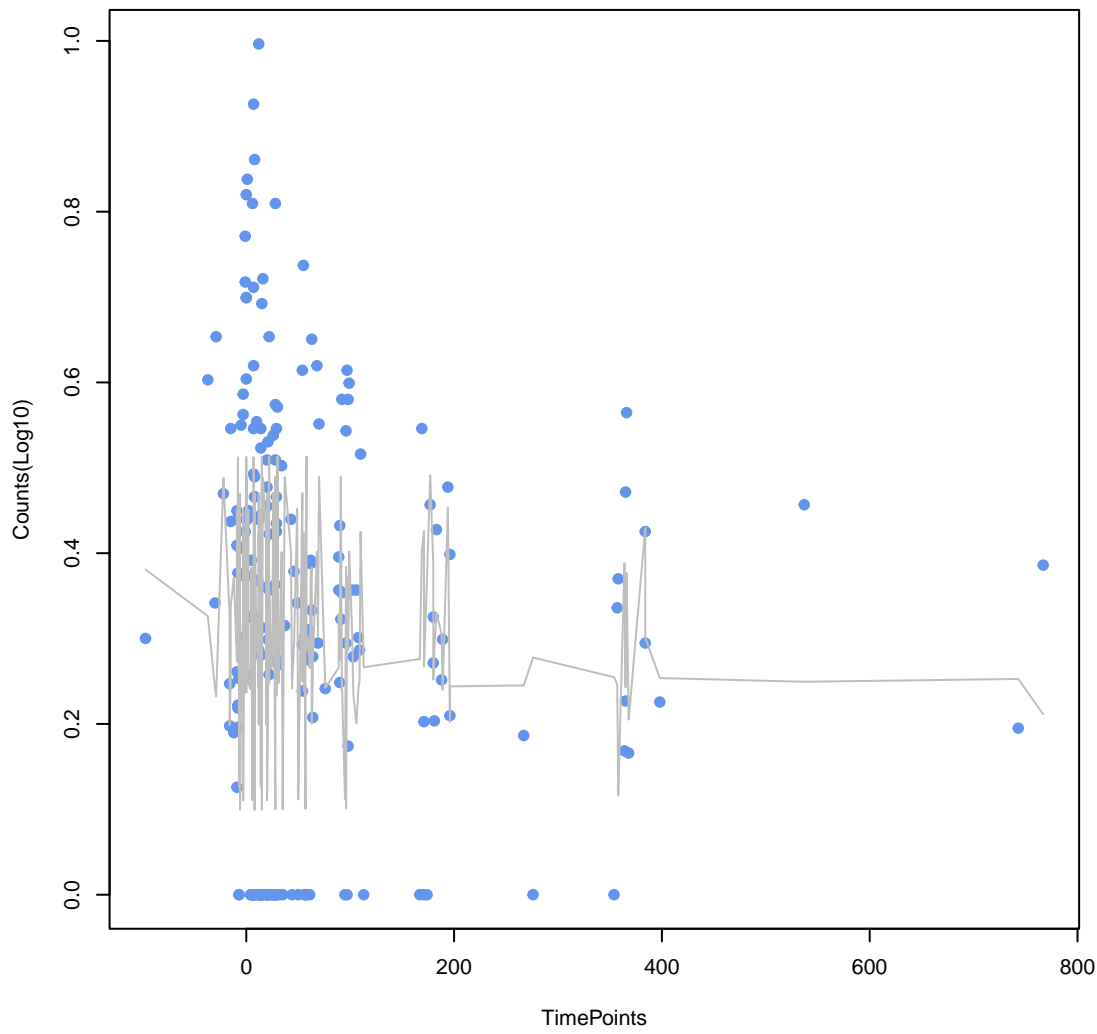
**cpxA**  
ANOVA P=0.332, adj. ANOVA-P=0.624



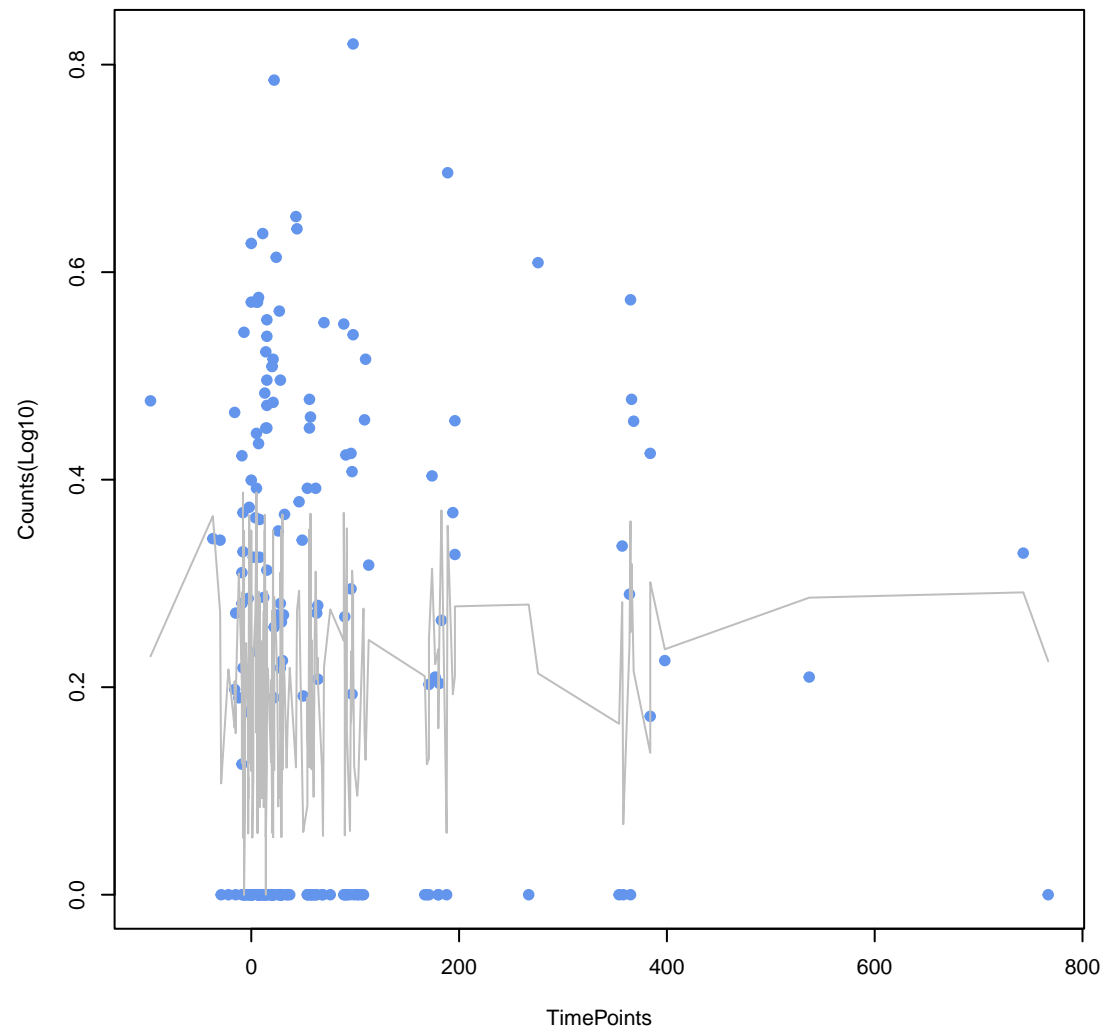
**Escherichia coli acrA**  
ANOVA P=0.353, adj. ANOVA-P=0.651



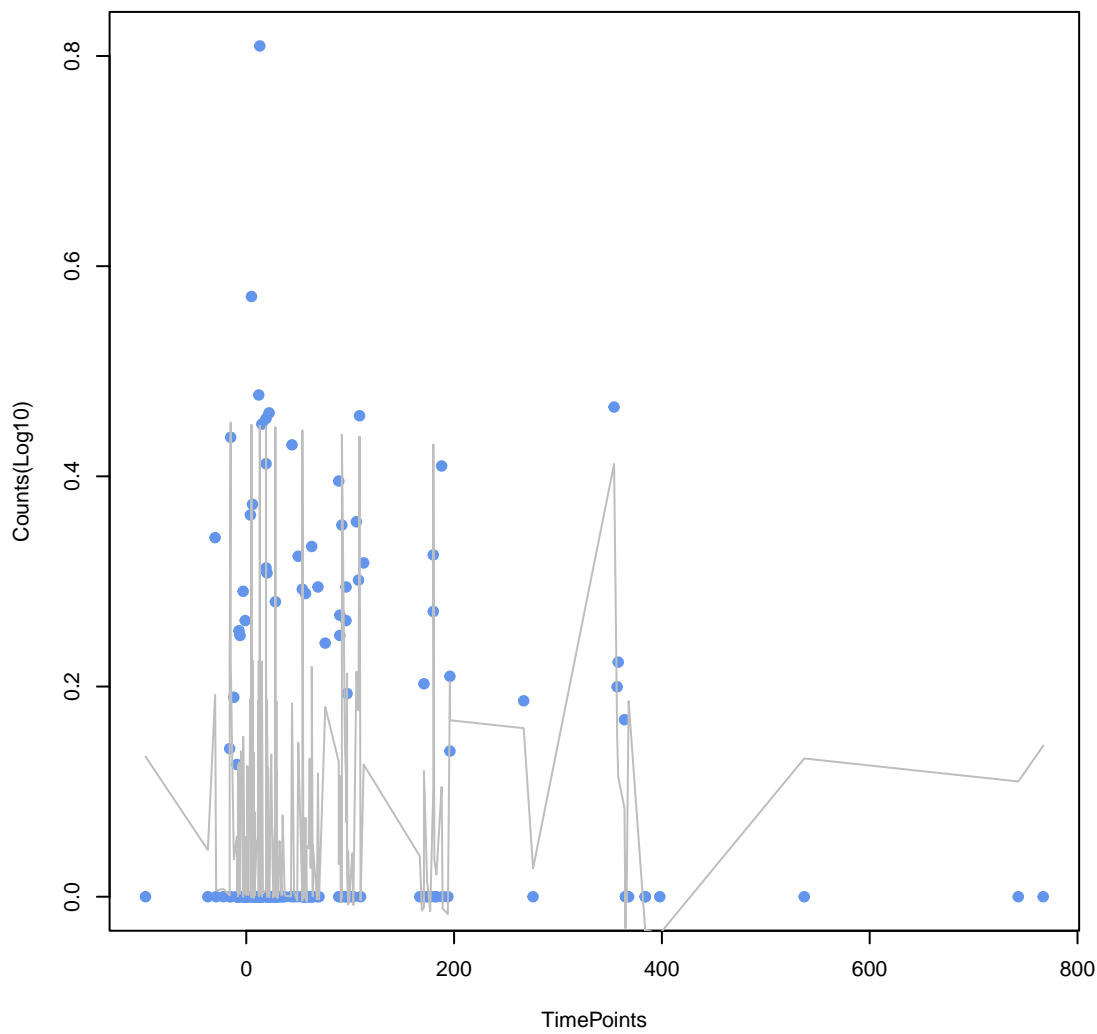
**tetB(46)**  
ANOVA P=0.364, adj. ANOVA-P=0.653



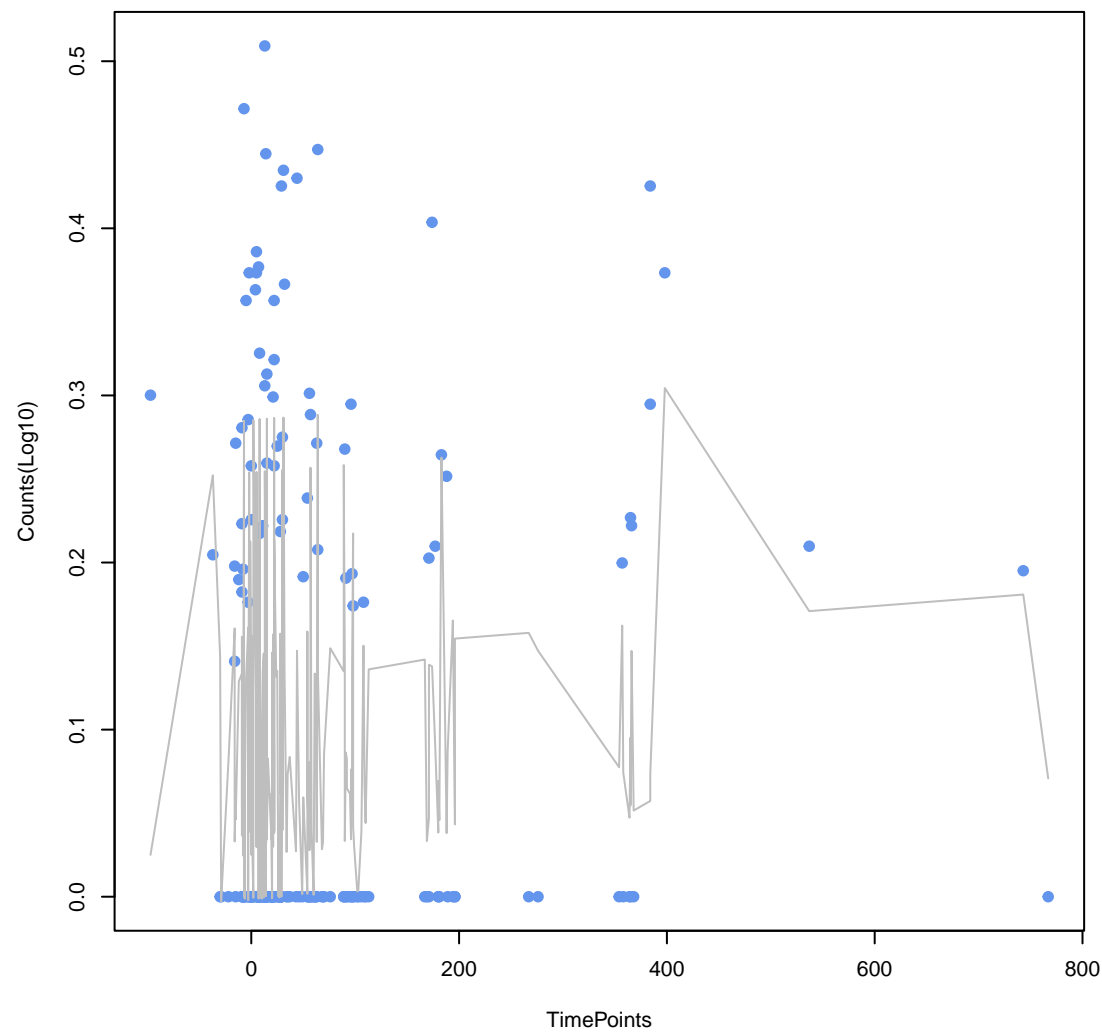
**mdtO**  
ANOVA P=0.372, adj. ANOVA-P=0.653



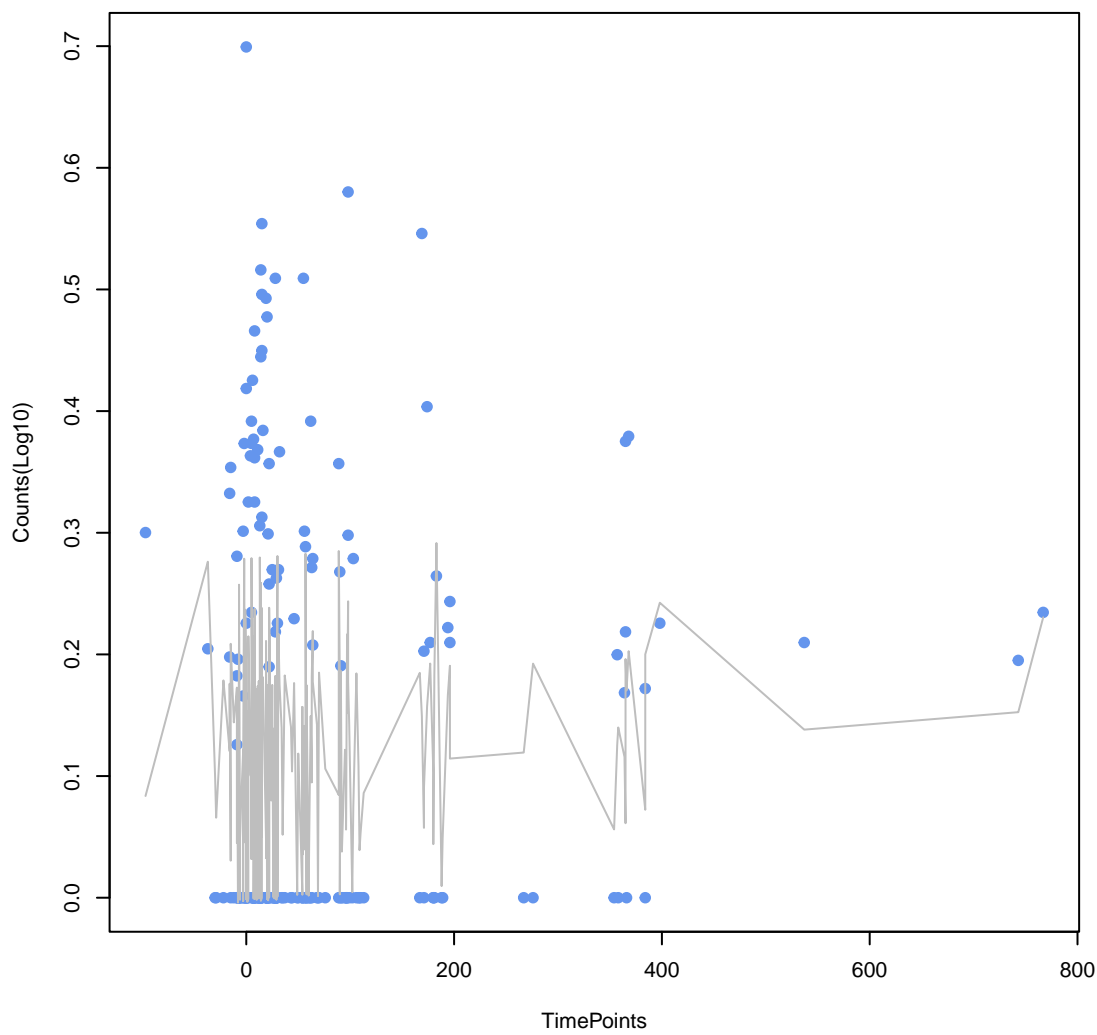
**vanR gene in vanE cluster**  
ANOVA P=0.373, adj. ANOVA-P=0.653



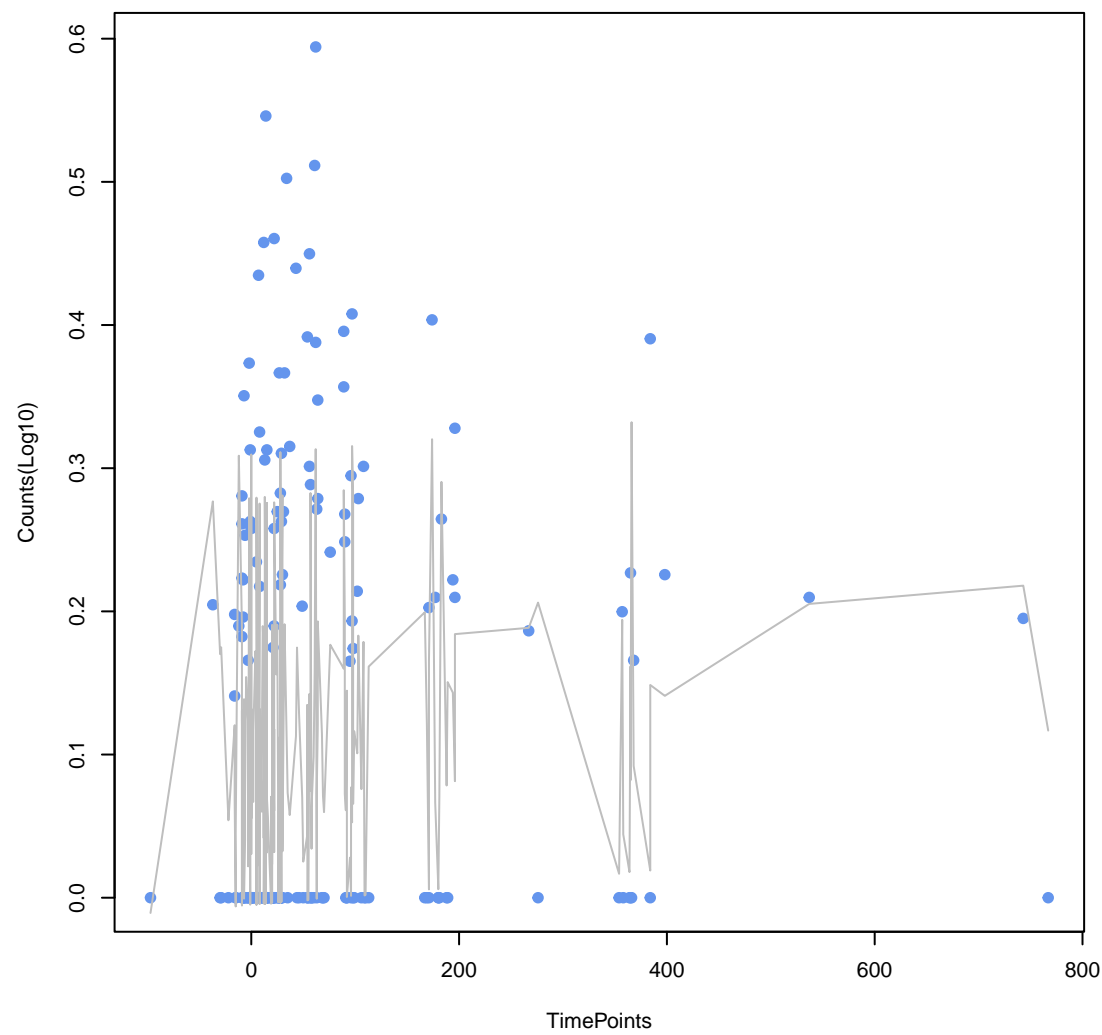
**chia coli AcrAB-TolC with AcrR mutation conferring resistance to ciprofloxacin, tetracycline**  
ANOVA P=0.378, adj. ANOVA-P=0.653



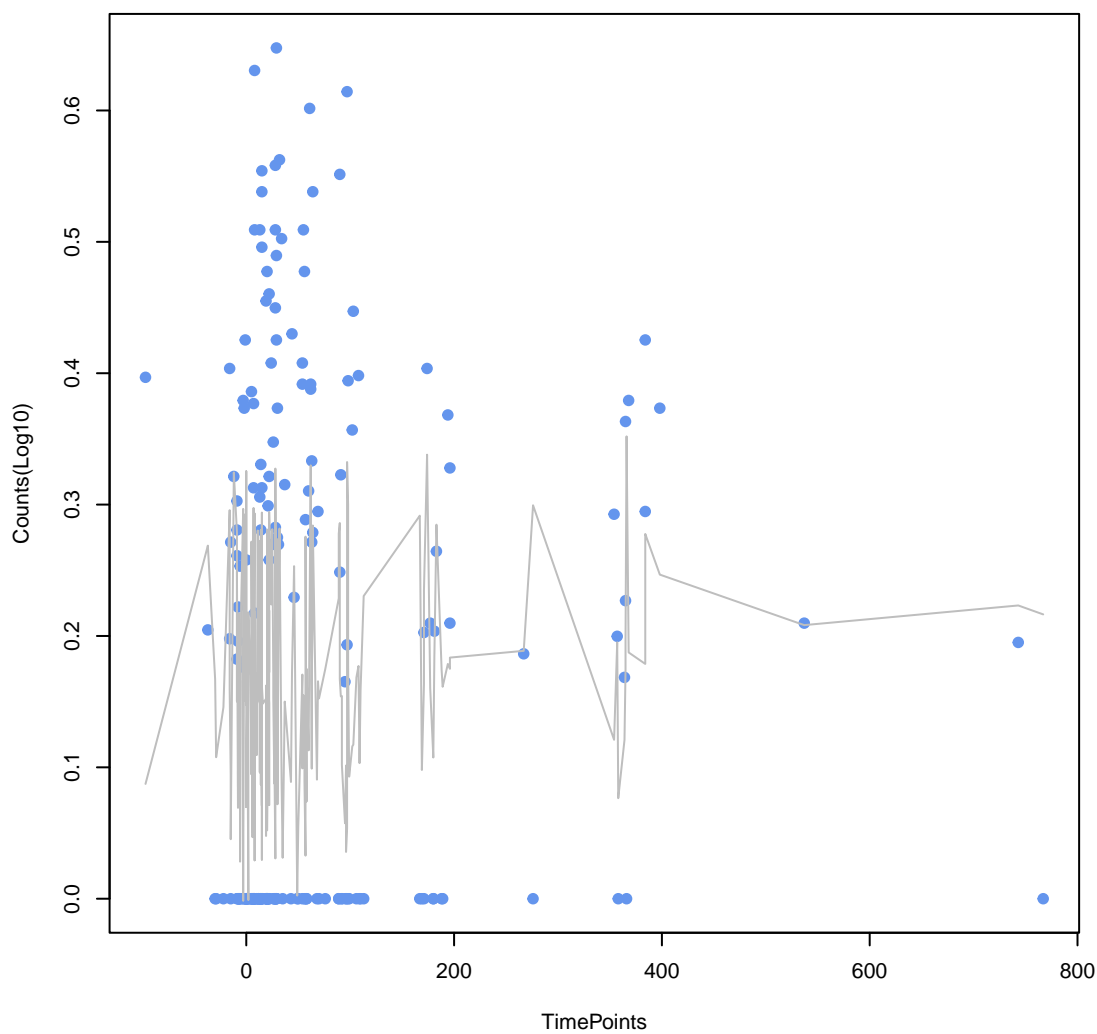
**mdtE**  
ANOVA P=0.392, adj. ANOVA-P=0.662



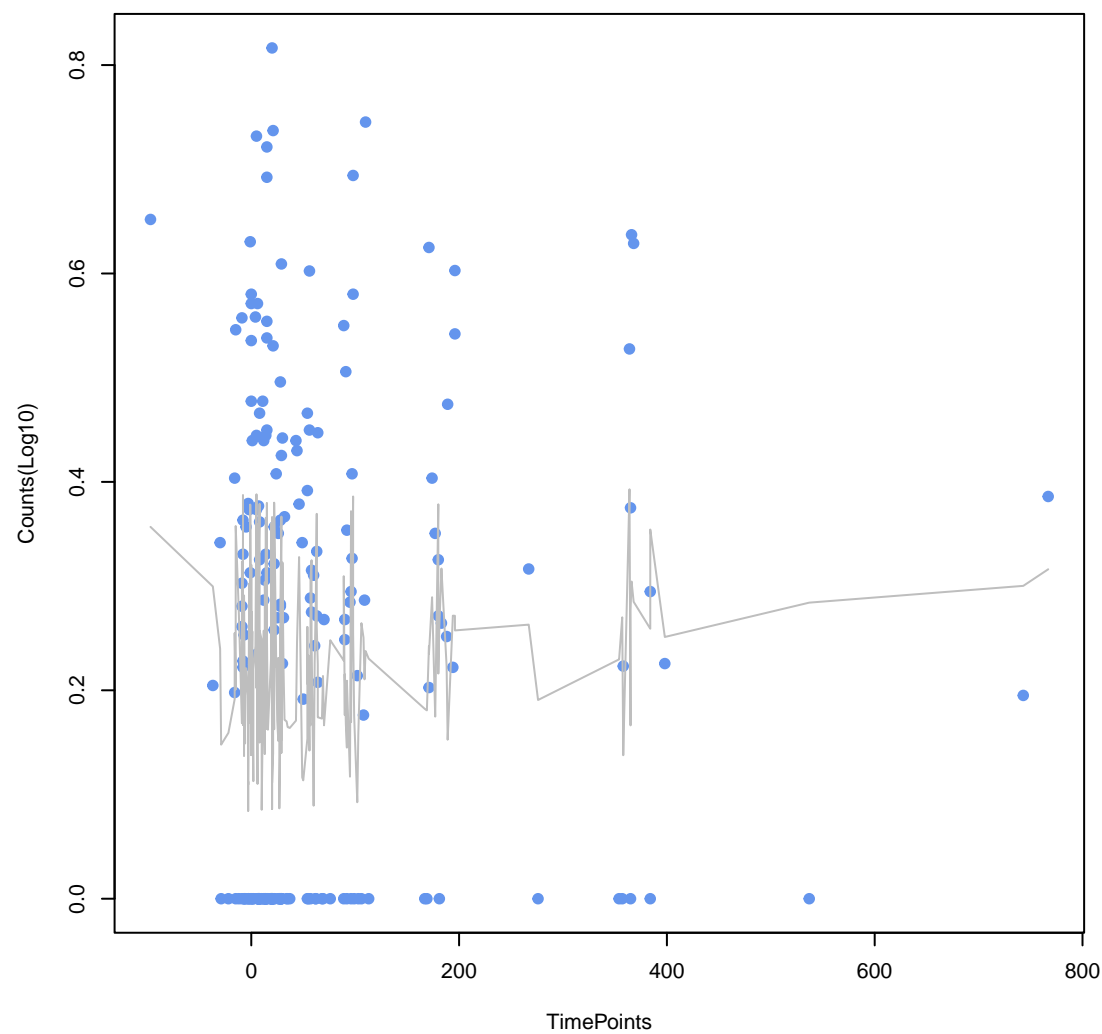
**H-NS**  
ANOVA P=0.396, adj. ANOVA-P=0.662



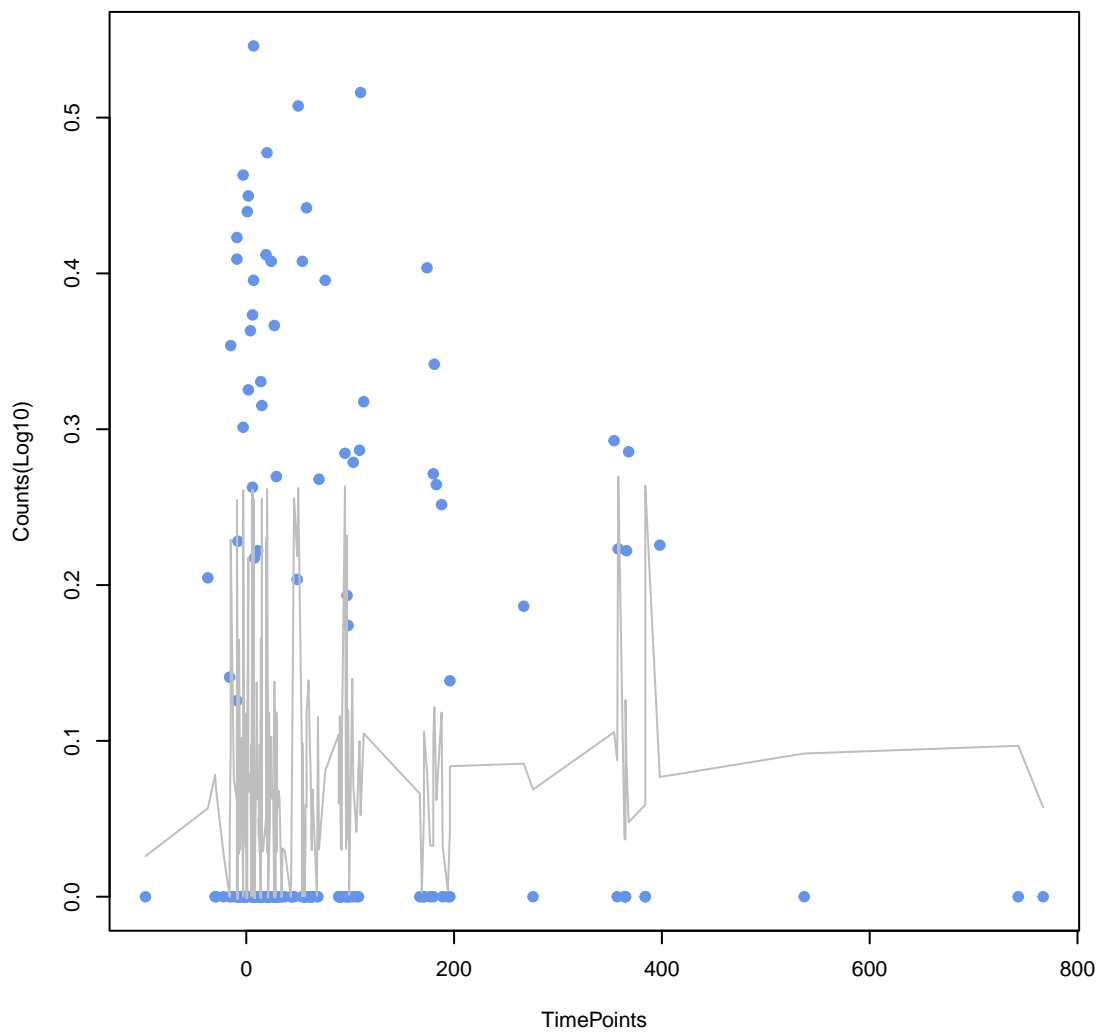
**PmrF**  
ANOVA P=0.444, adj. ANOVA-P=0.722



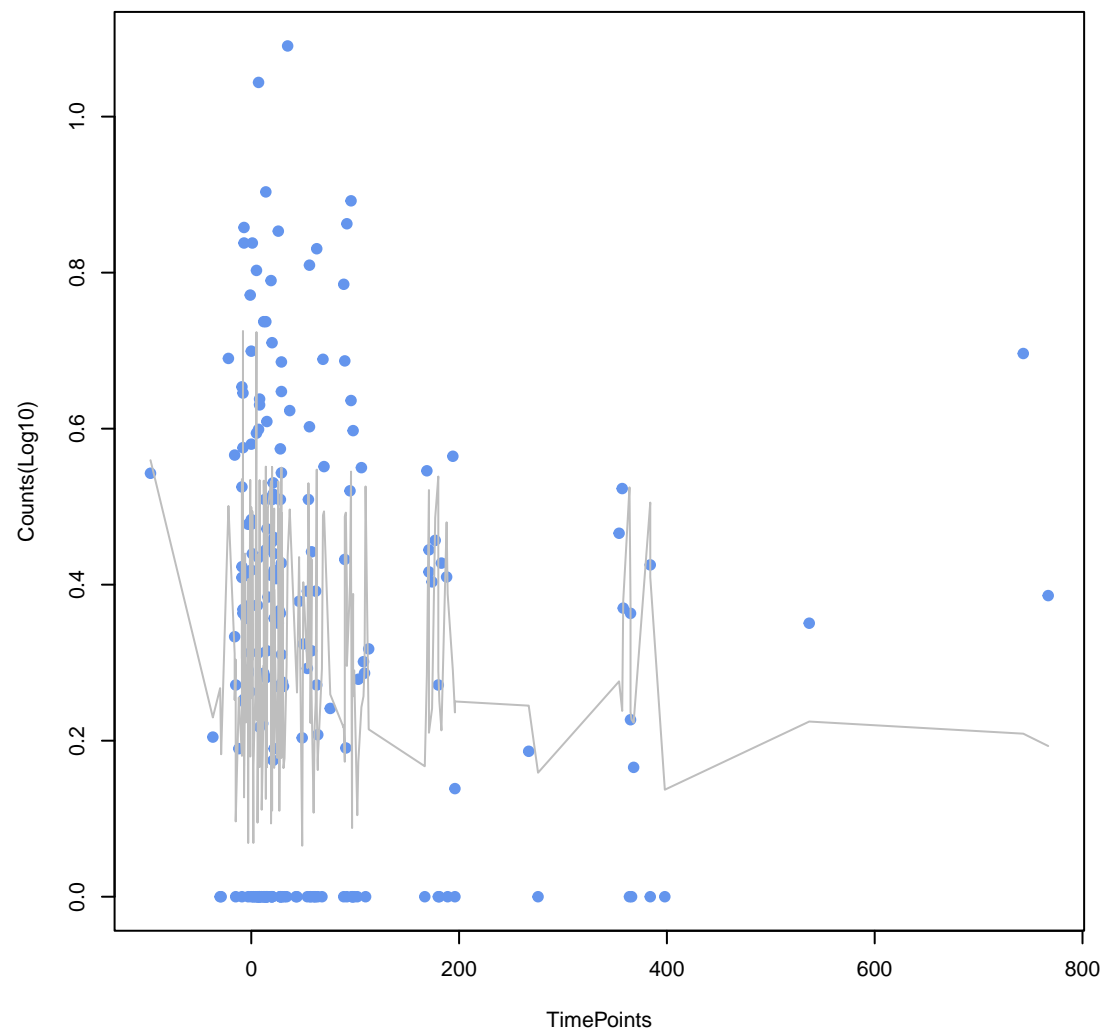
**AcrF**  
ANOVA P=0.445, adj. ANOVA-P=0.722



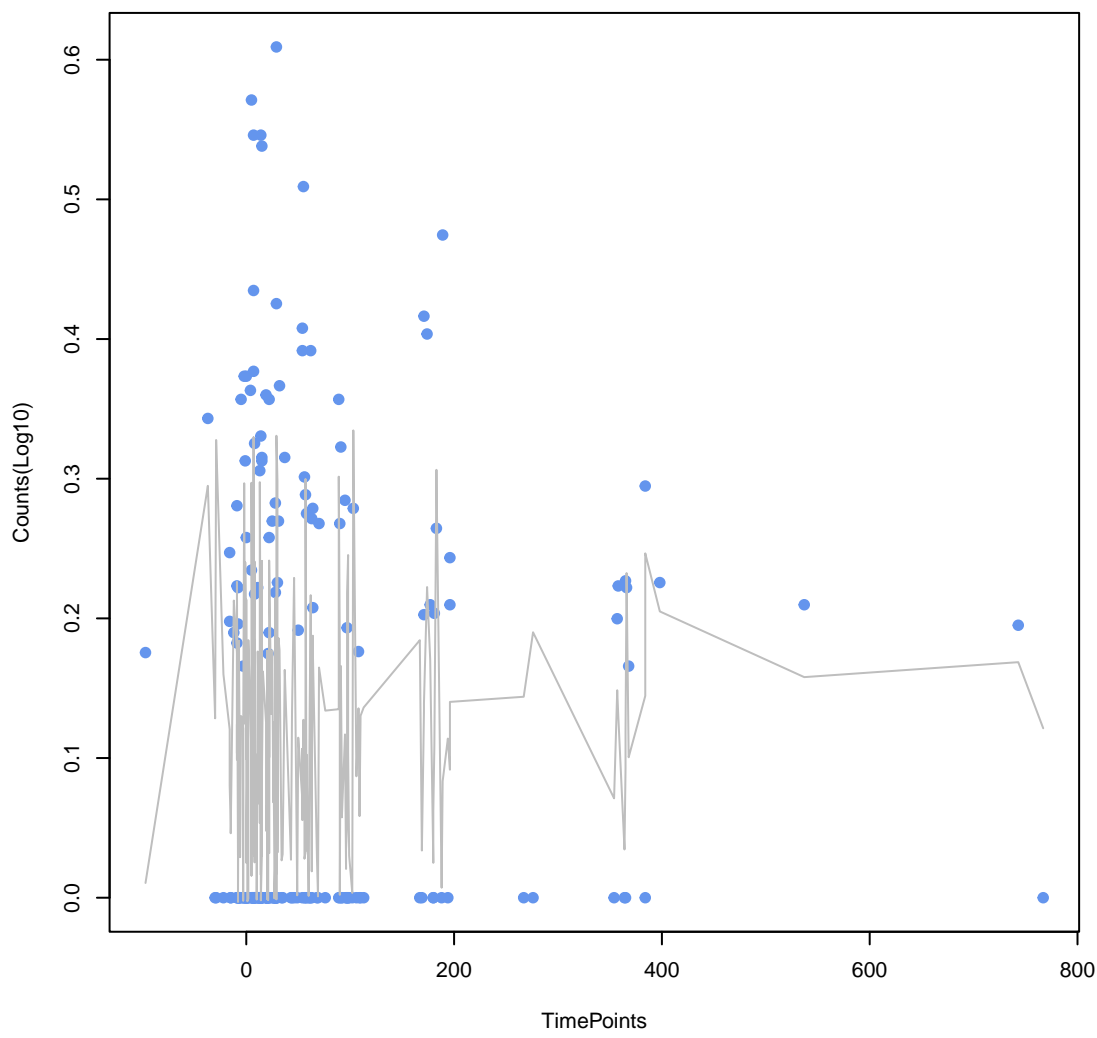
**mtrD**  
ANOVA P=0.497, adj. ANOVA-P=0.785



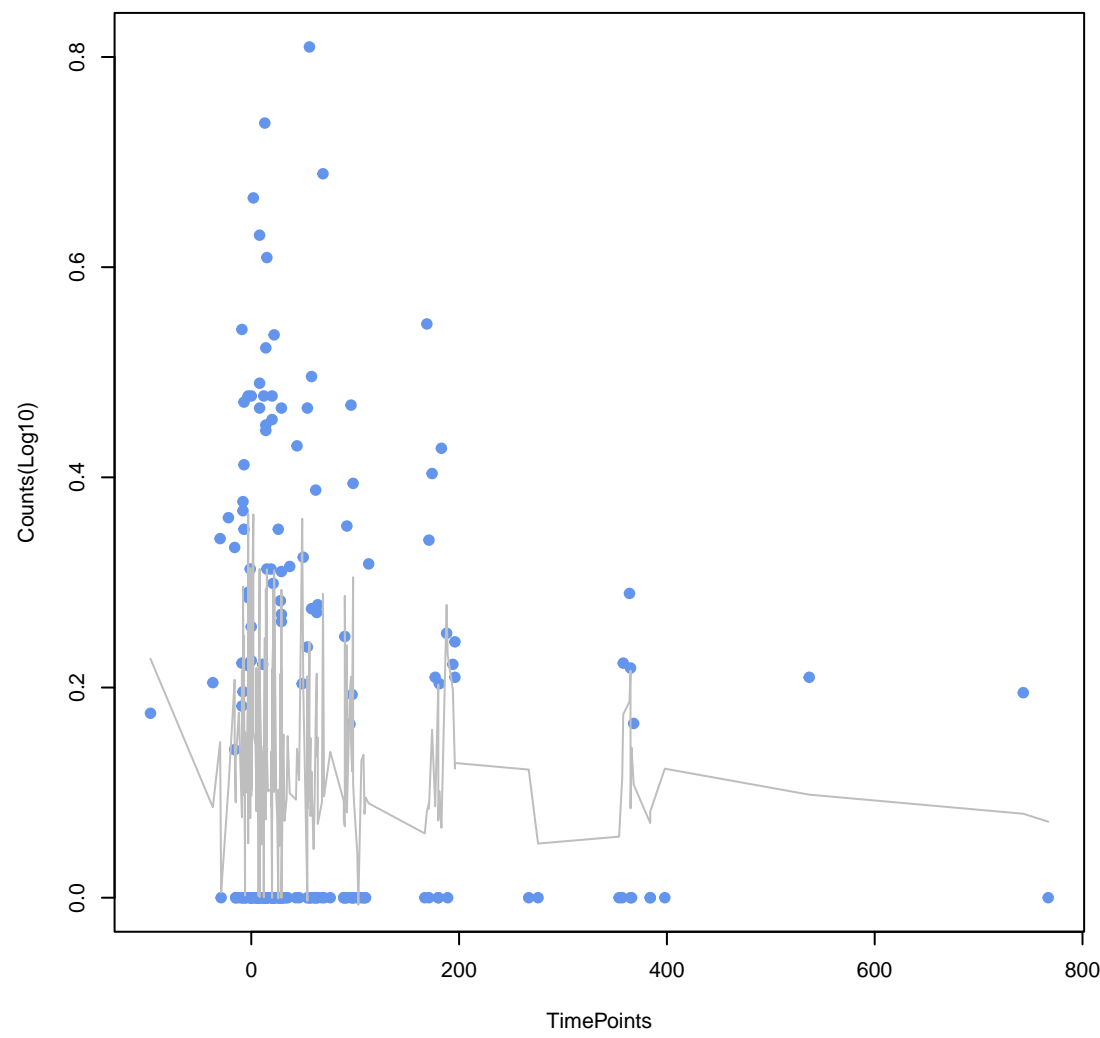
**Bifidobacterium adolescentis rpoB mutants conferring resistance to rifampicin**  
ANOVA P=0.499, adj. ANOVA-P=0.785



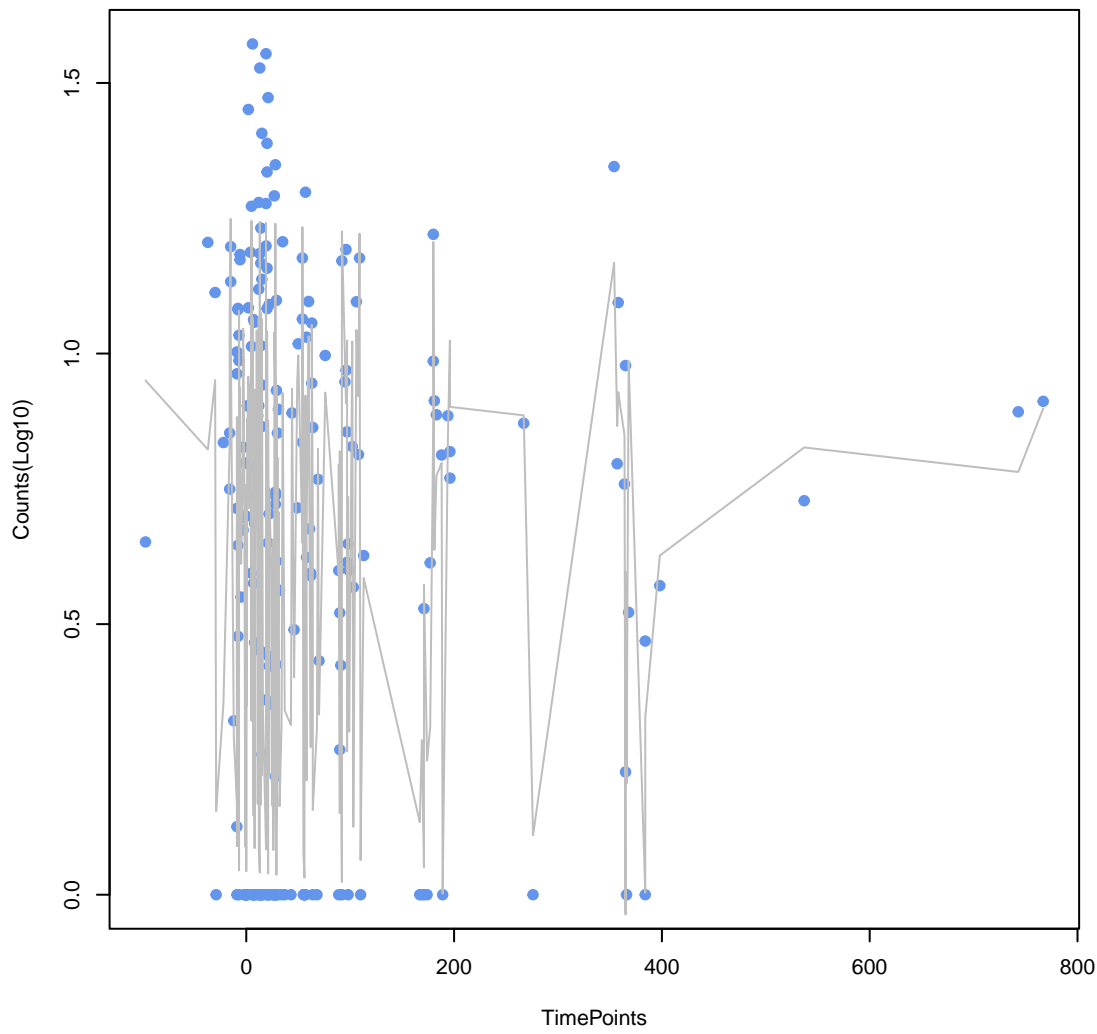
**Escherichia coli soxR with mutation conferring antibiotic resistance**  
ANOVA P=0.515, adj. ANOVA-P=0.799



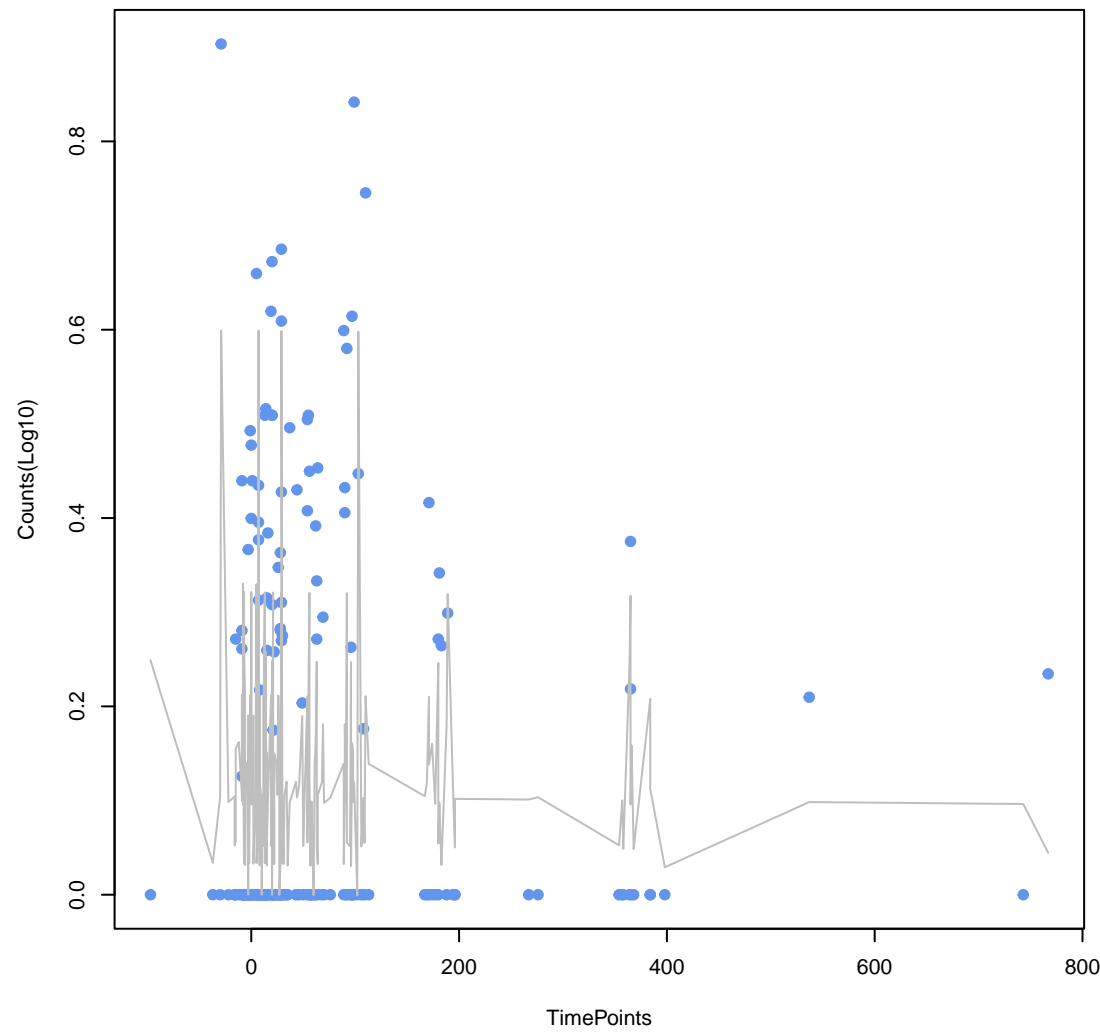
**Bifidobacterium bifidum ileS conferring resistance to mupirocin**  
ANOVA P=0.531, adj. ANOVA-P=0.799



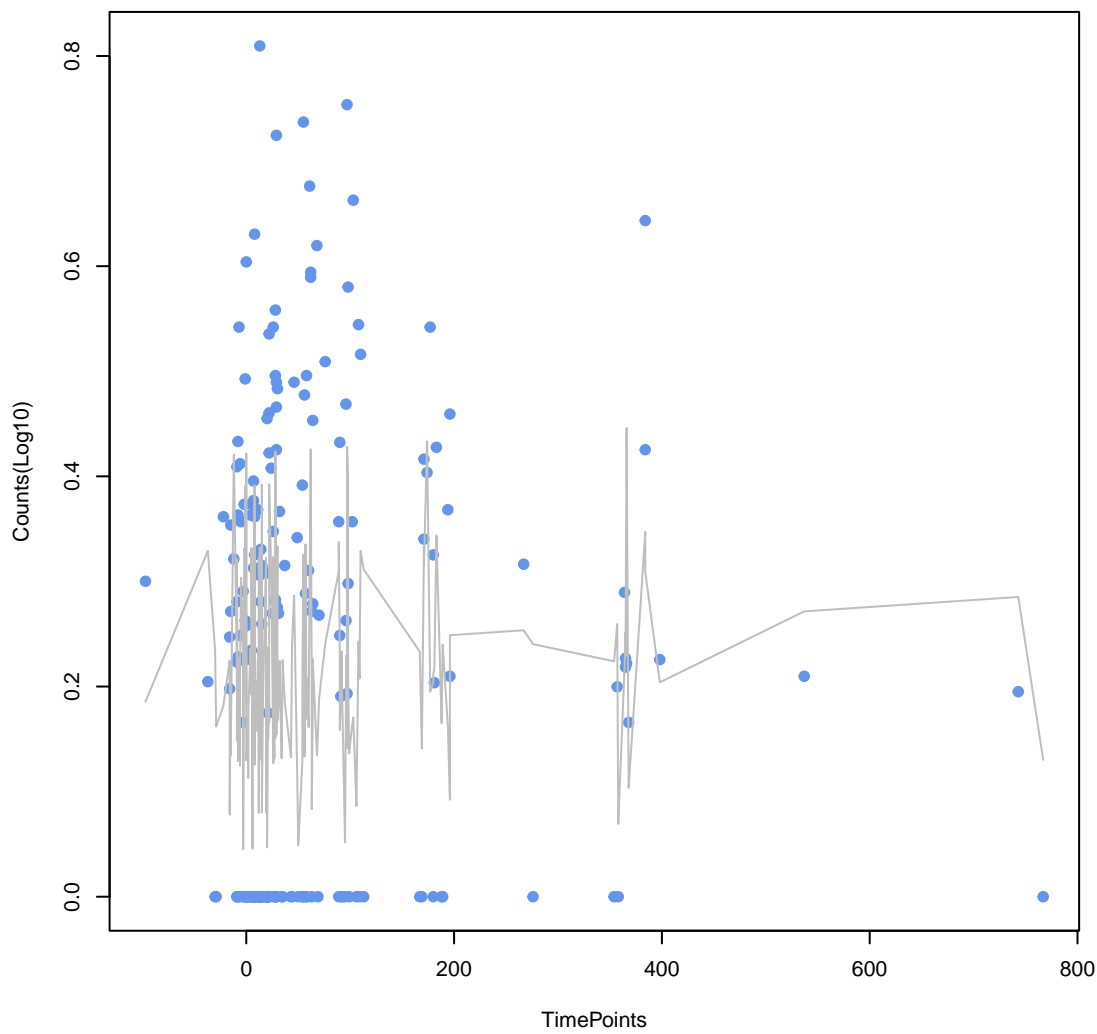
**adeF**  
ANOVA P=0.534, adj. ANOVA-P=0.799



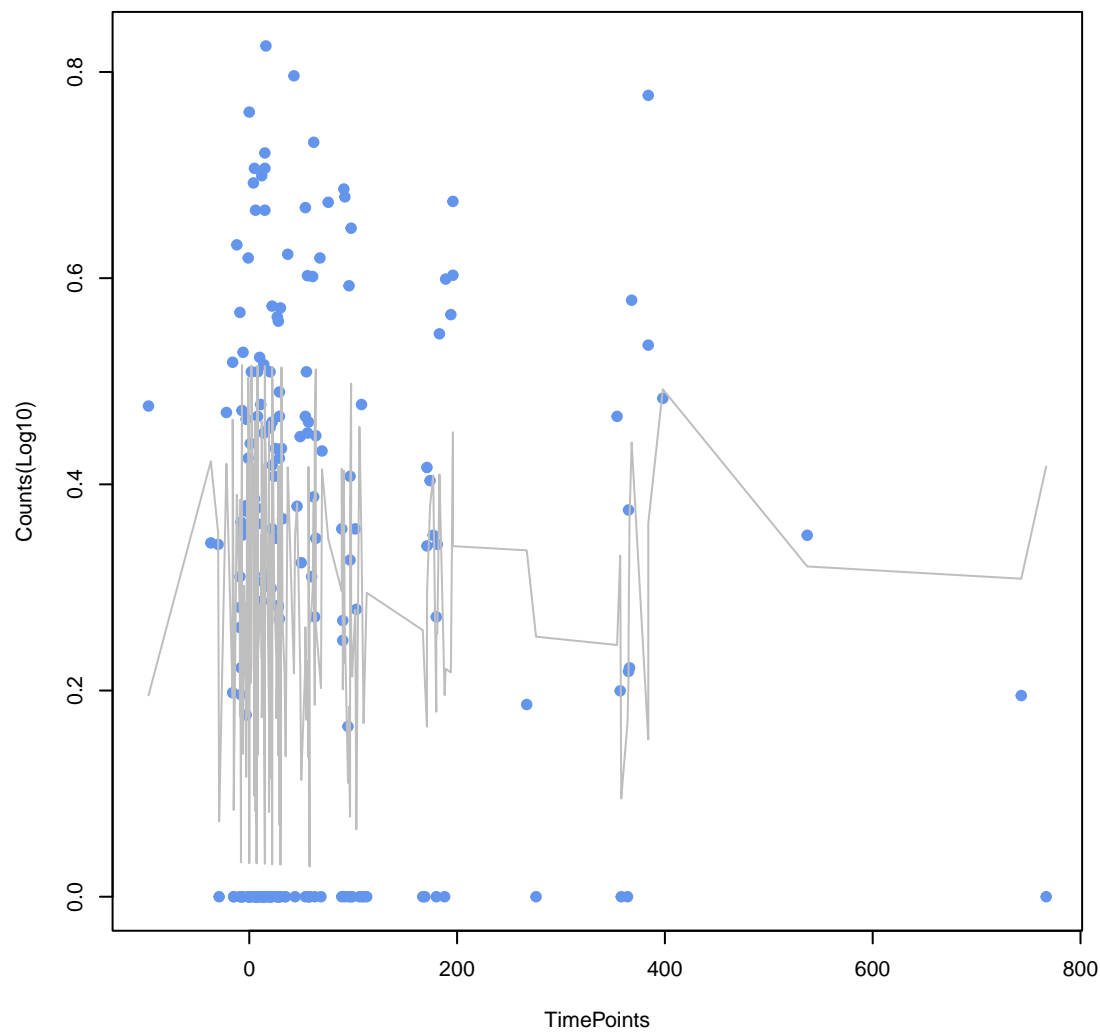
**tetB(60)**  
ANOVA P=0.537, adj. ANOVA-P=0.799



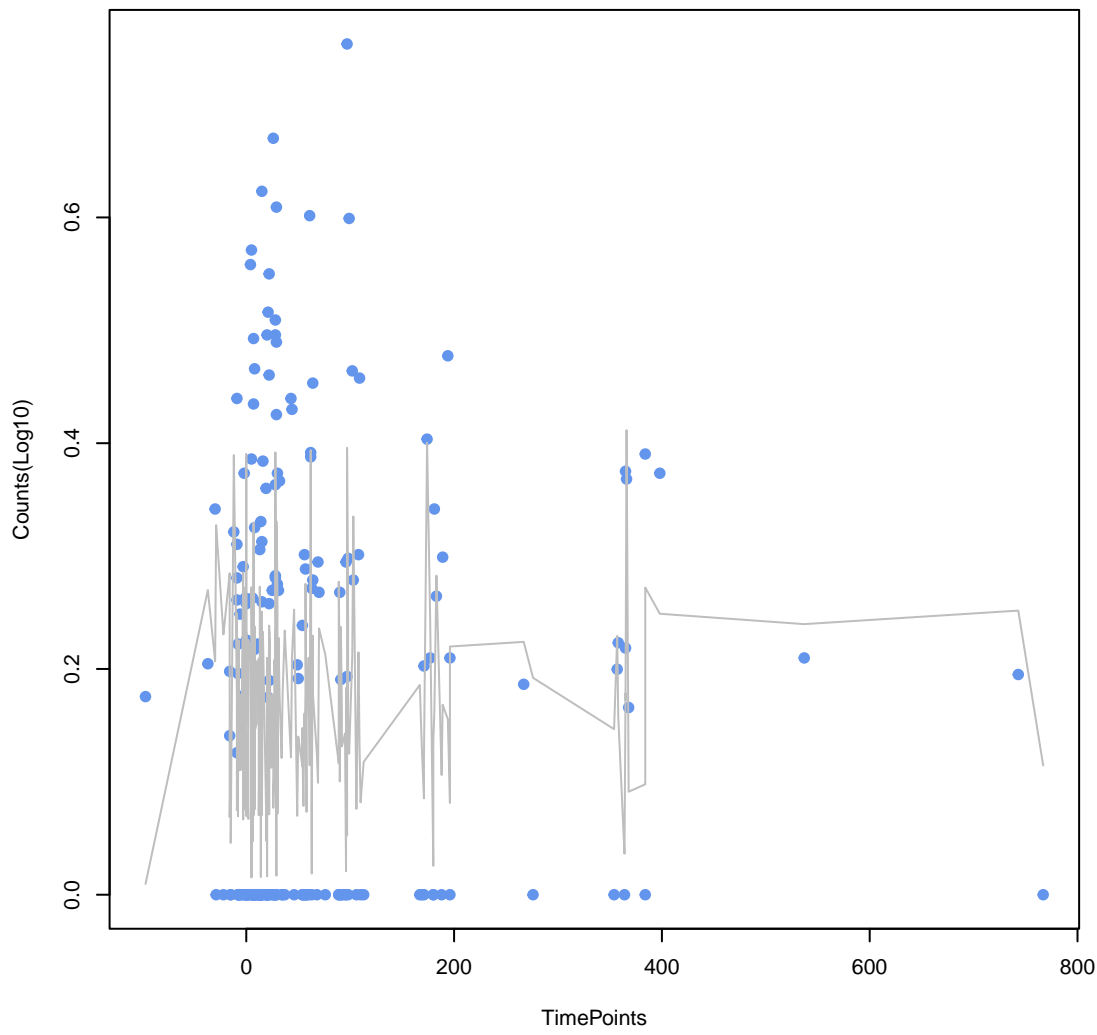
**CRP**  
ANOVA P=0.547, adj. ANOVA-P=0.802



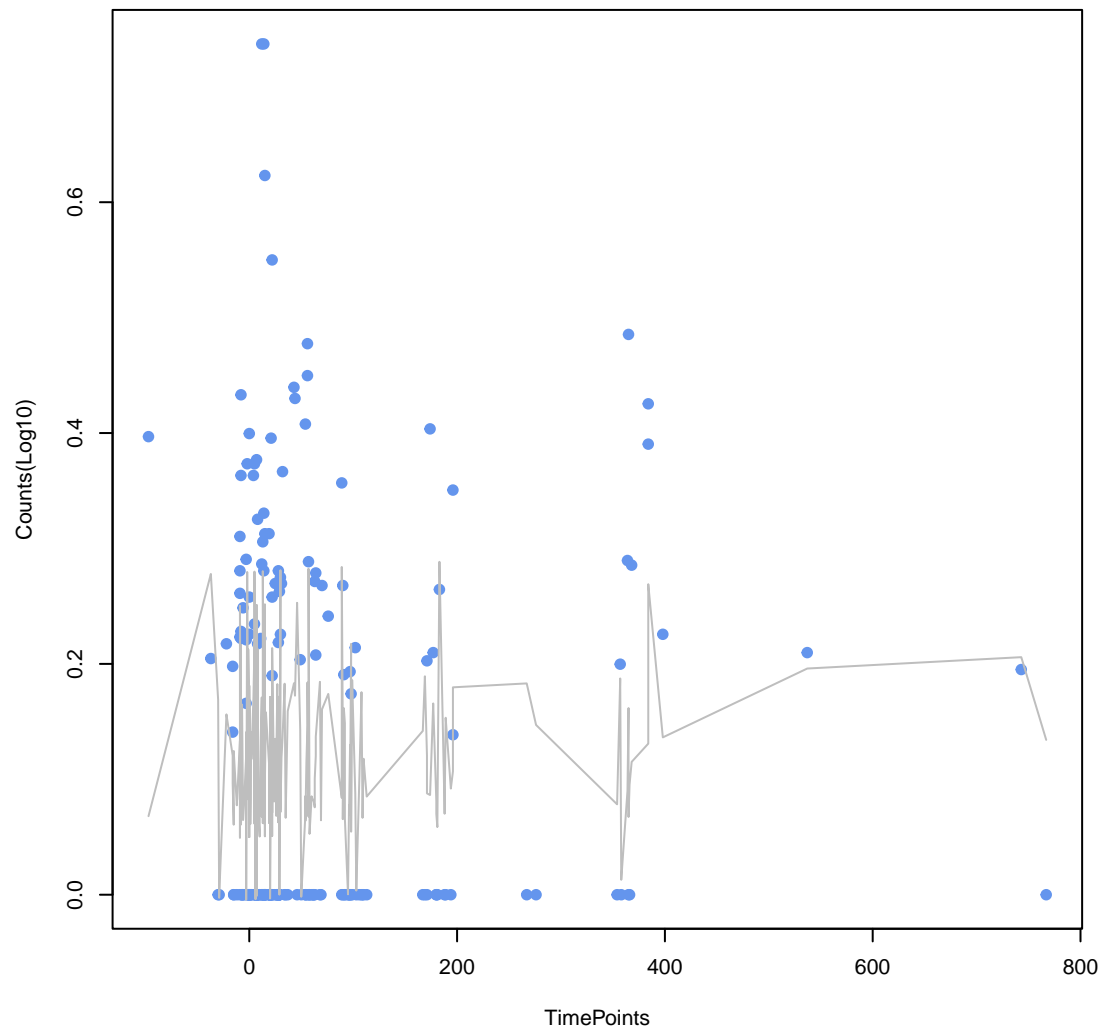
**acrB**  
ANOVA P=0.559, adj. ANOVA-P=0.808



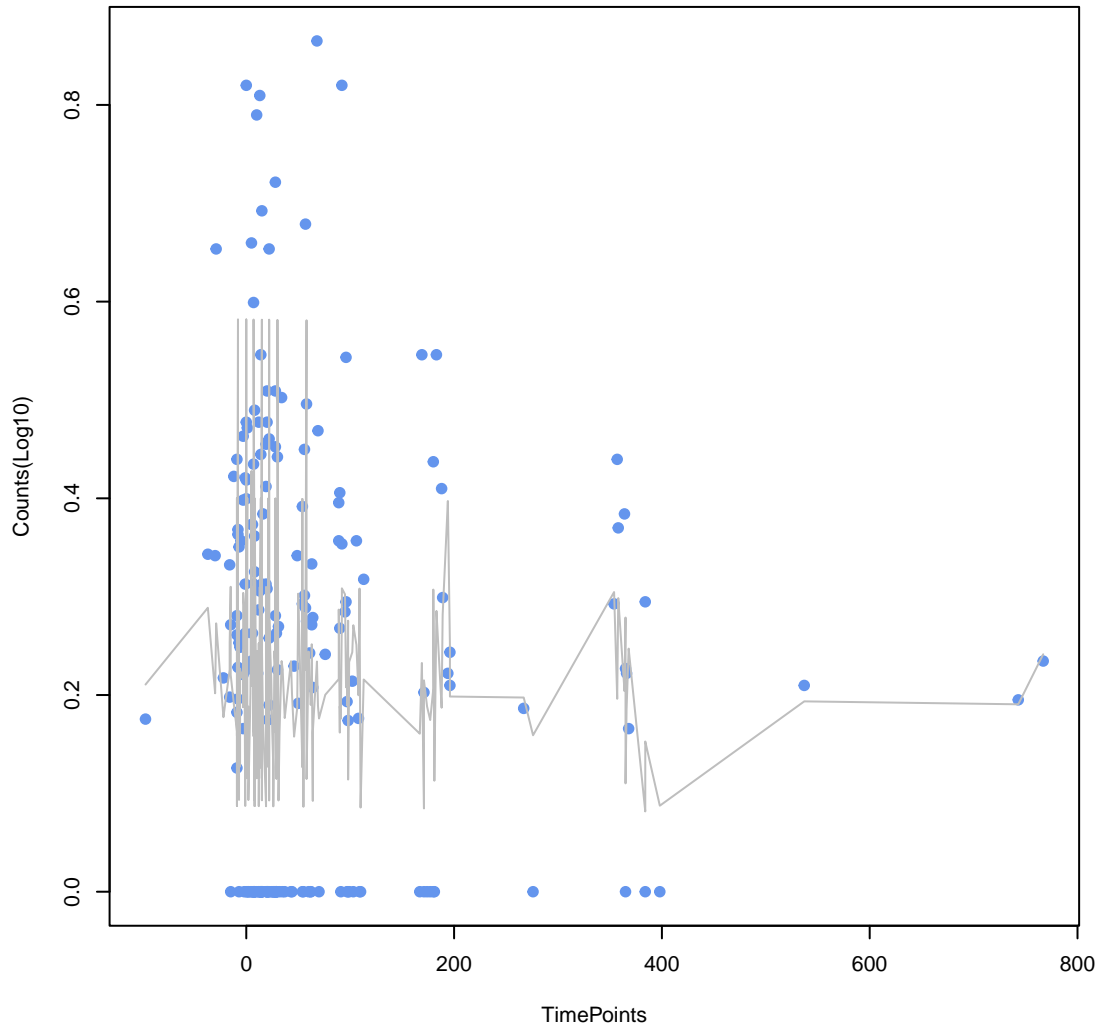
**Escherichia coli mdfA**  
ANOVA P=0.578, adj. ANOVA-P=0.821



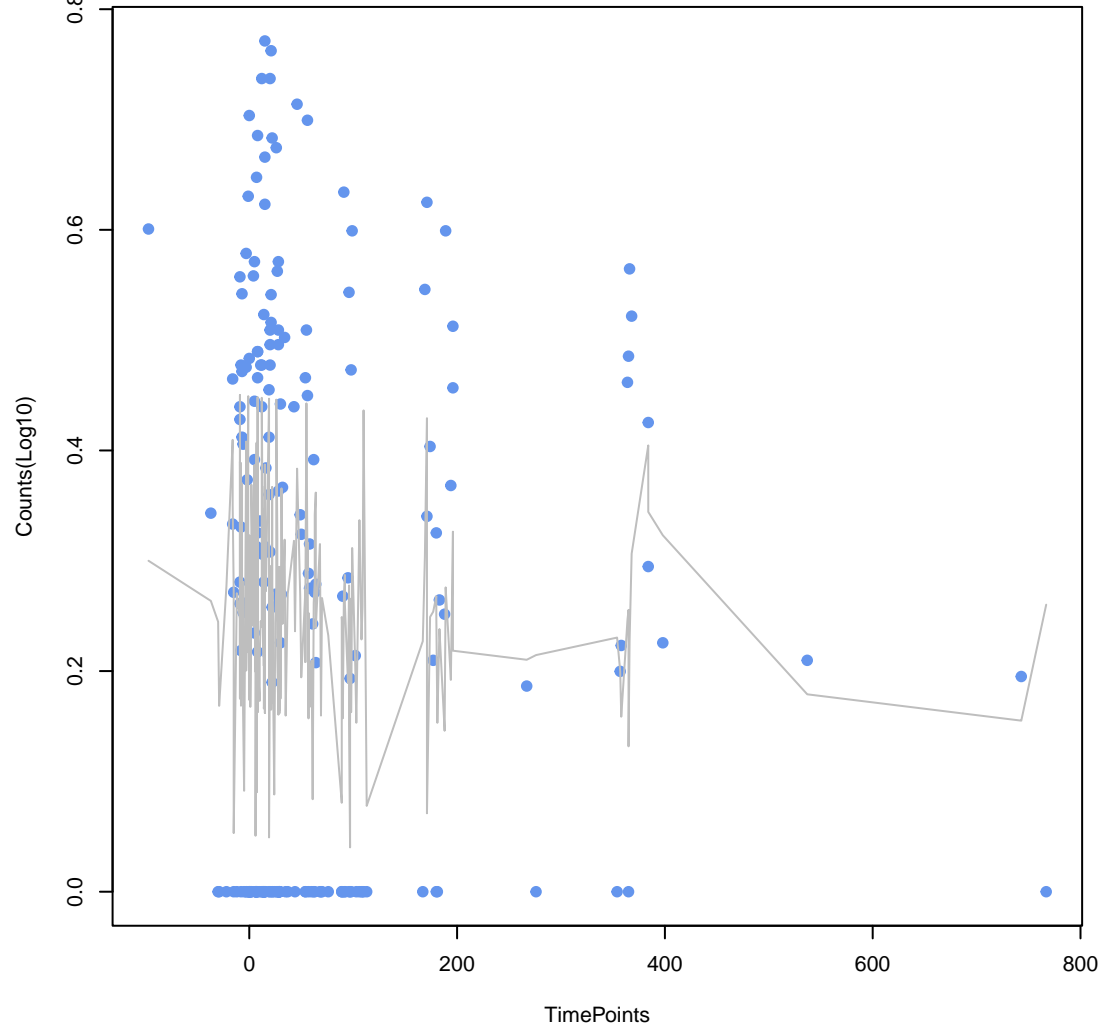
**mdtA**  
ANOVA P=0.593, adj. ANOVA-P=0.821



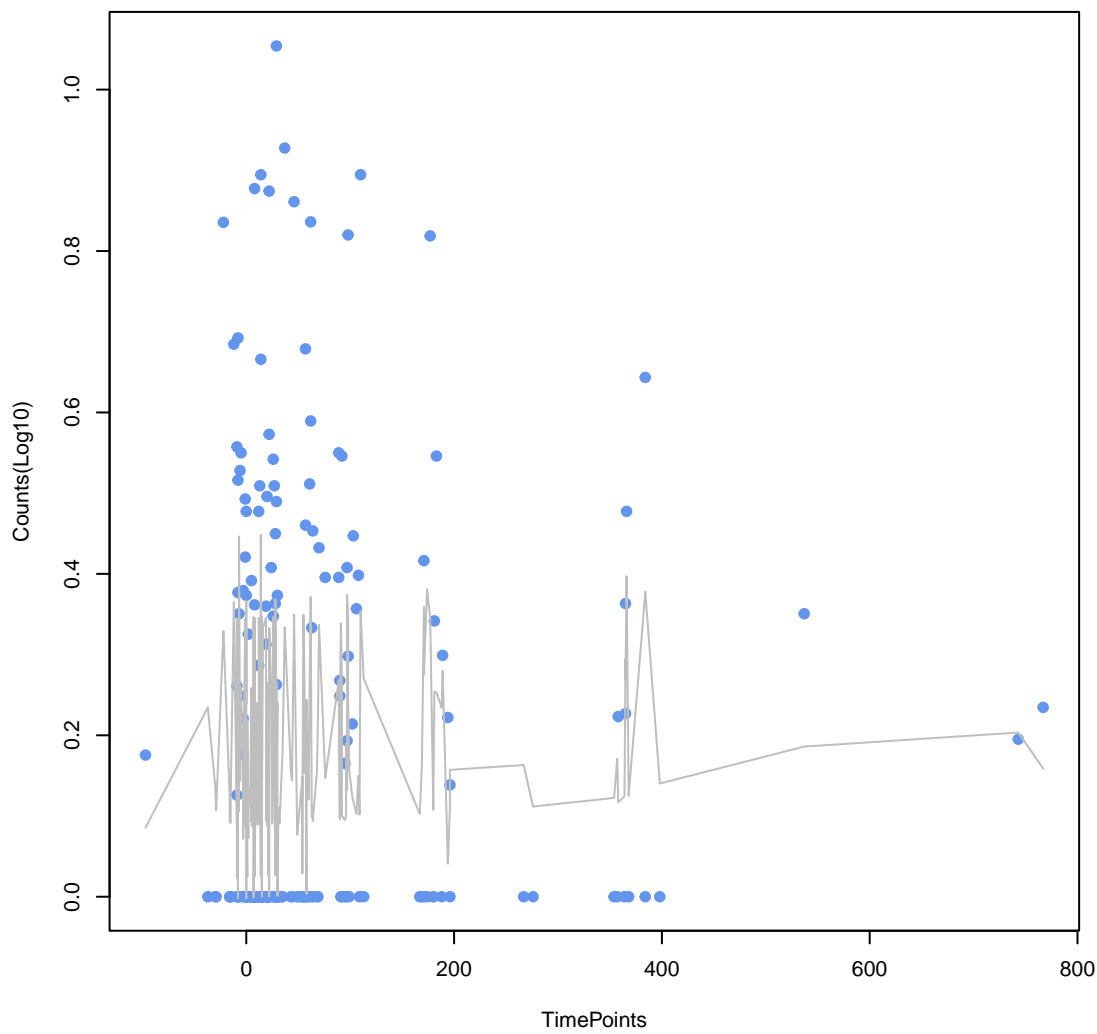
**InuC**  
ANOVA P=0.594, adj. ANOVA-P=0.821



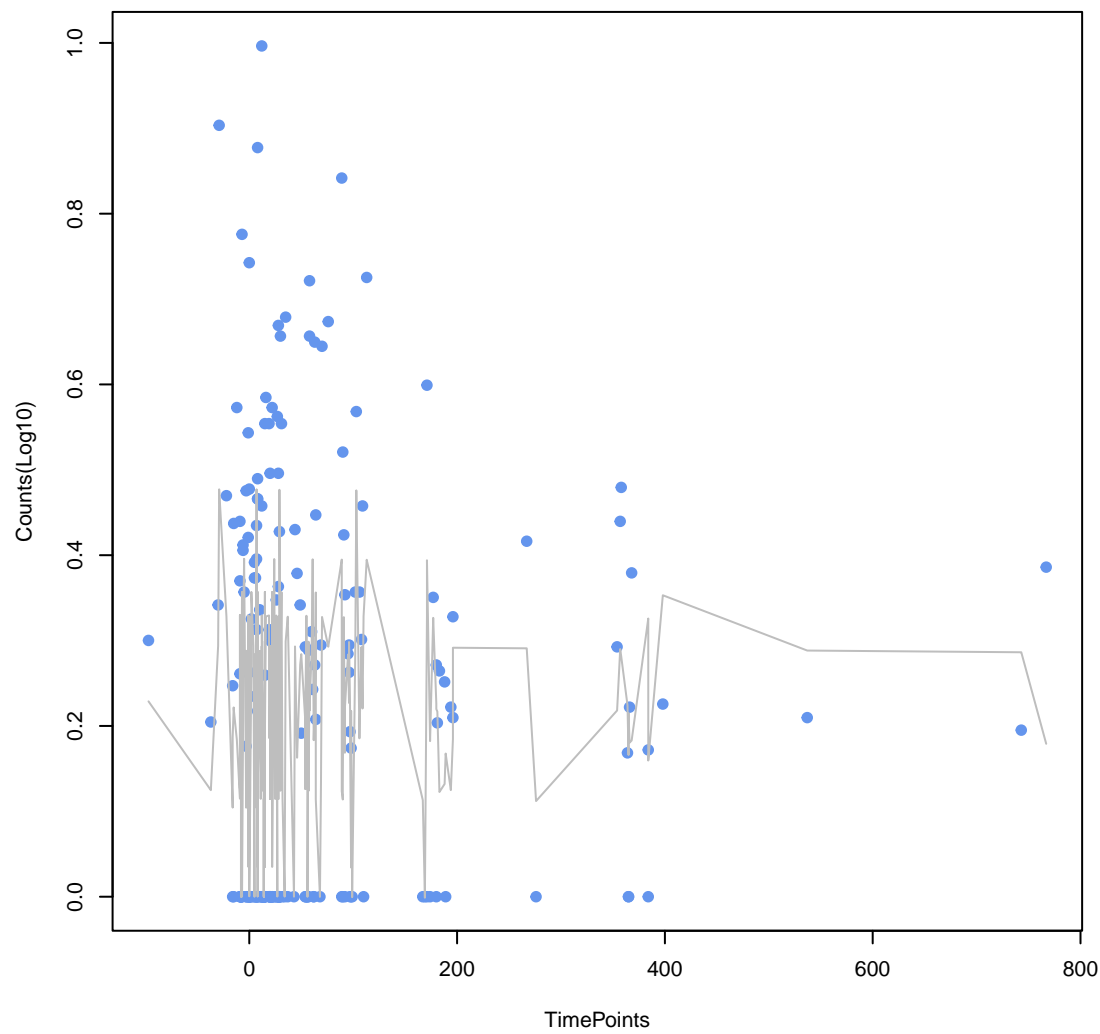
**evgS**  
ANOVA P=0.599, adj. ANOVA-P=0.821



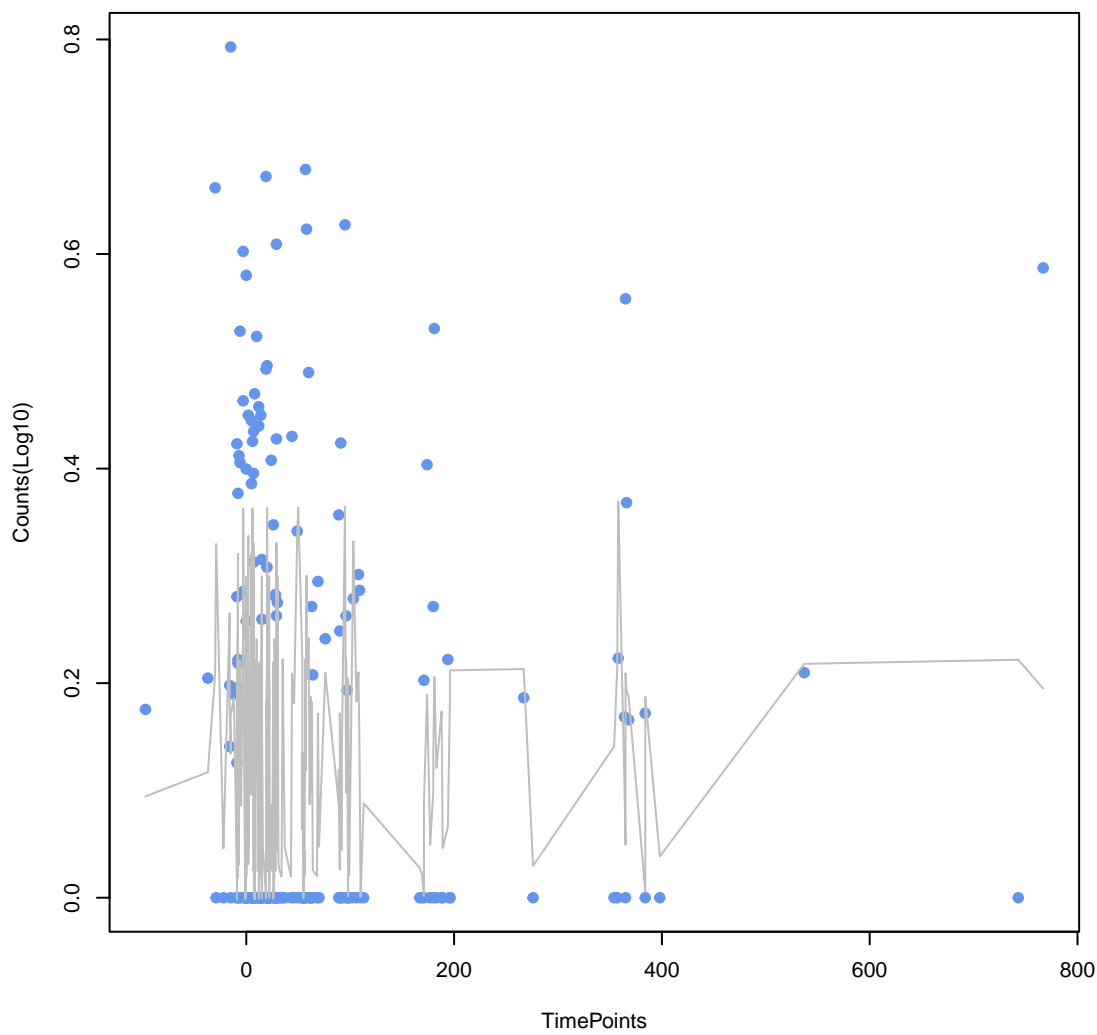
**oqxB**  
ANOVA P=0.617, adj. ANOVA-P=0.836



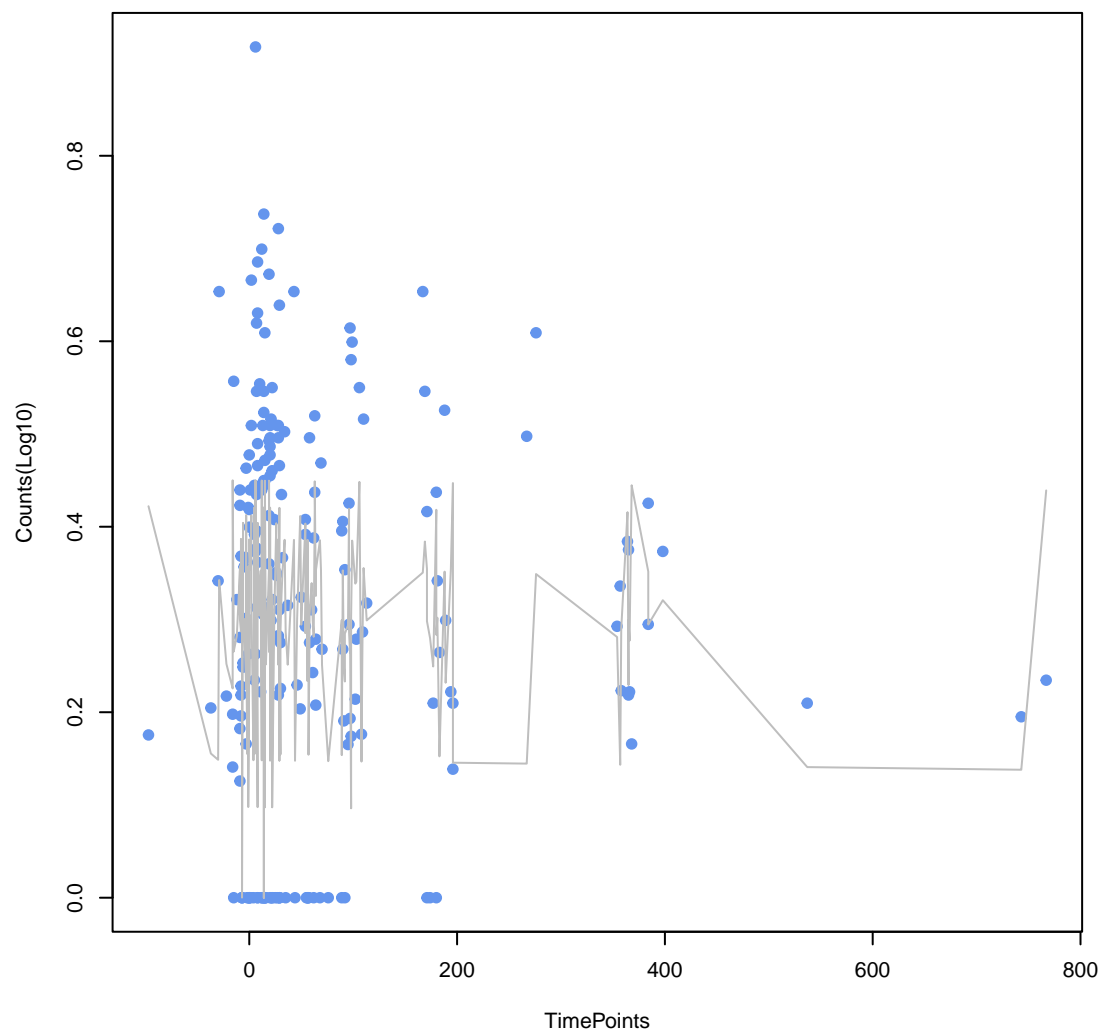
**vanR gene in vanD cluster**  
ANOVA P=0.647, adj. ANOVA-P=0.855



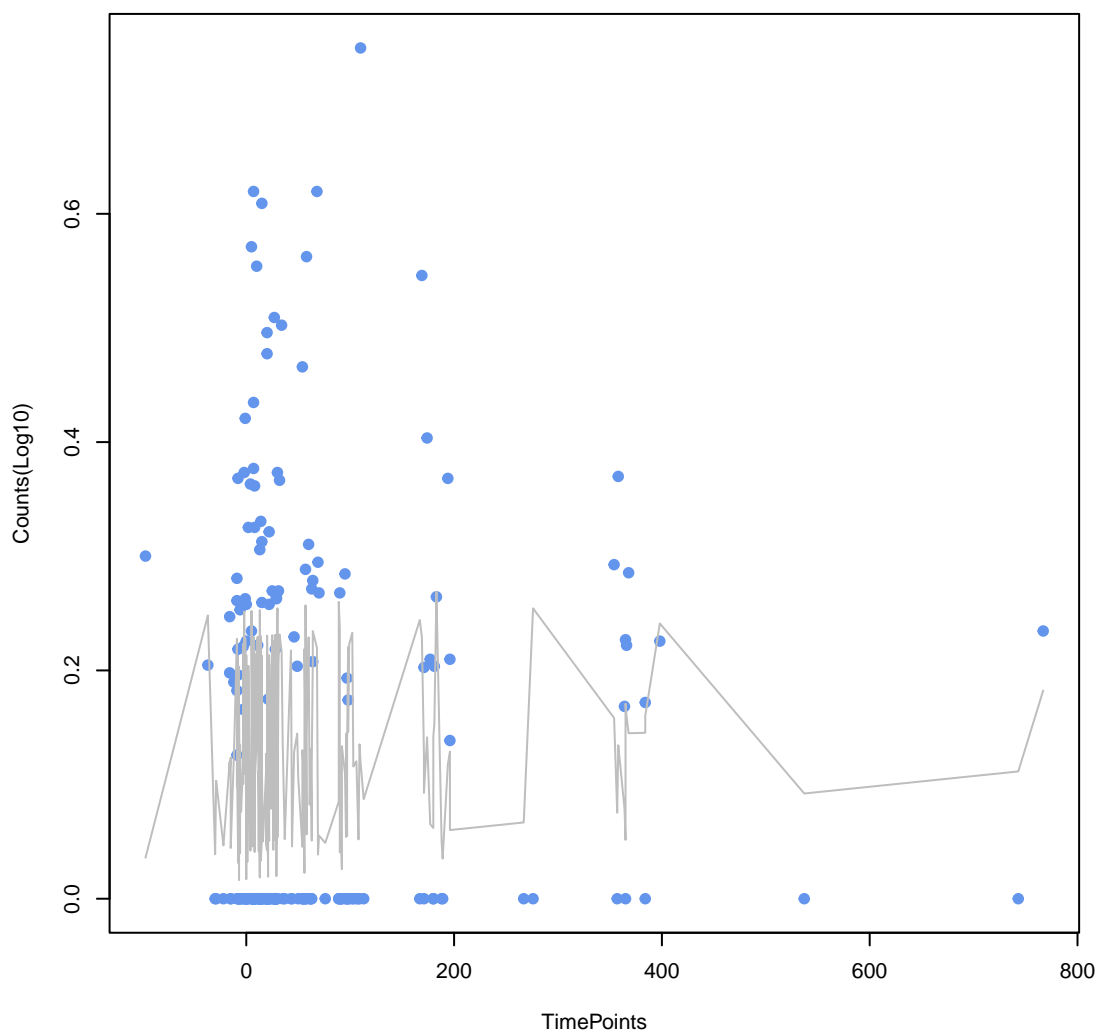
**PDC-402**  
ANOVA P=0.649, adj. ANOVA-P=0.855



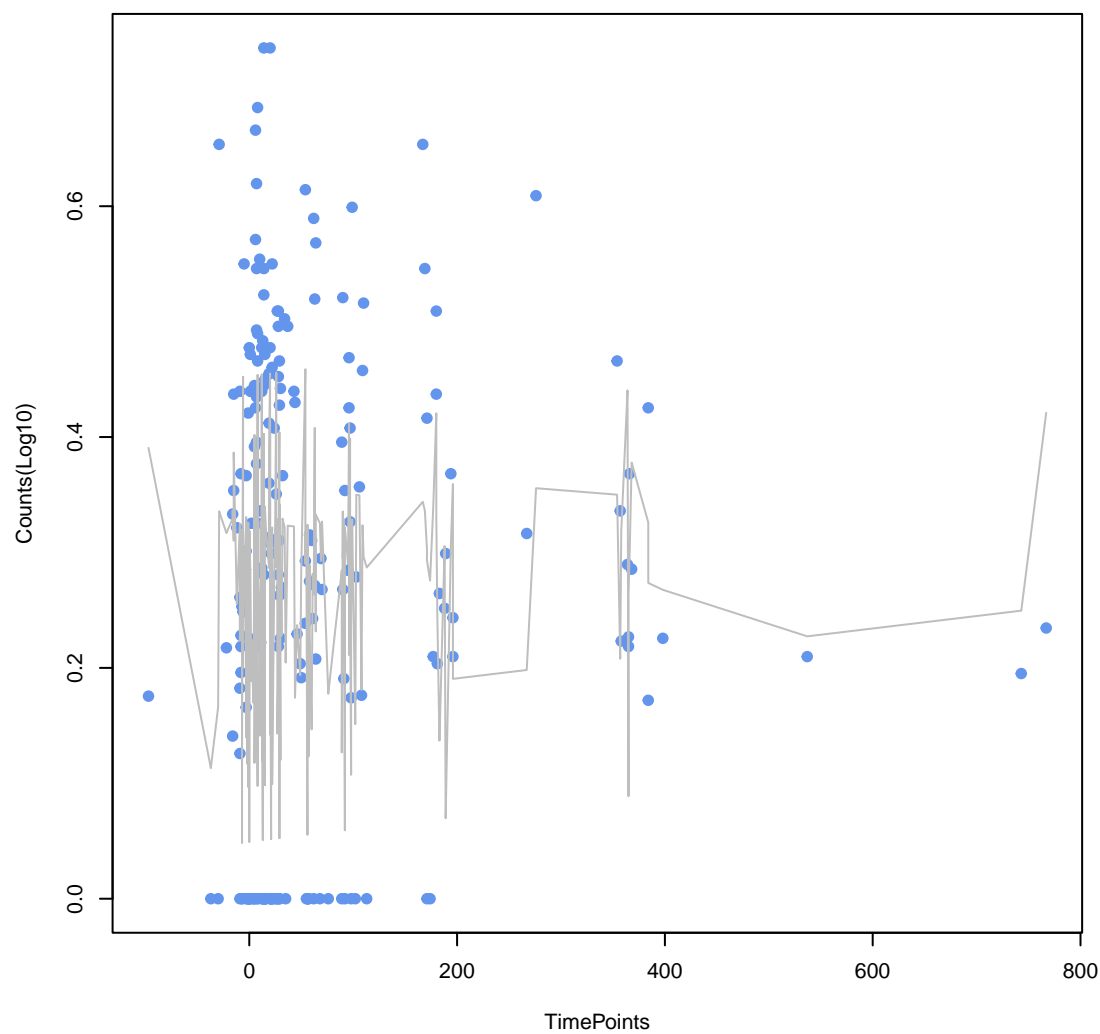
**aad(6)**  
ANOVA P=0.655, adj. ANOVA-P=0.855



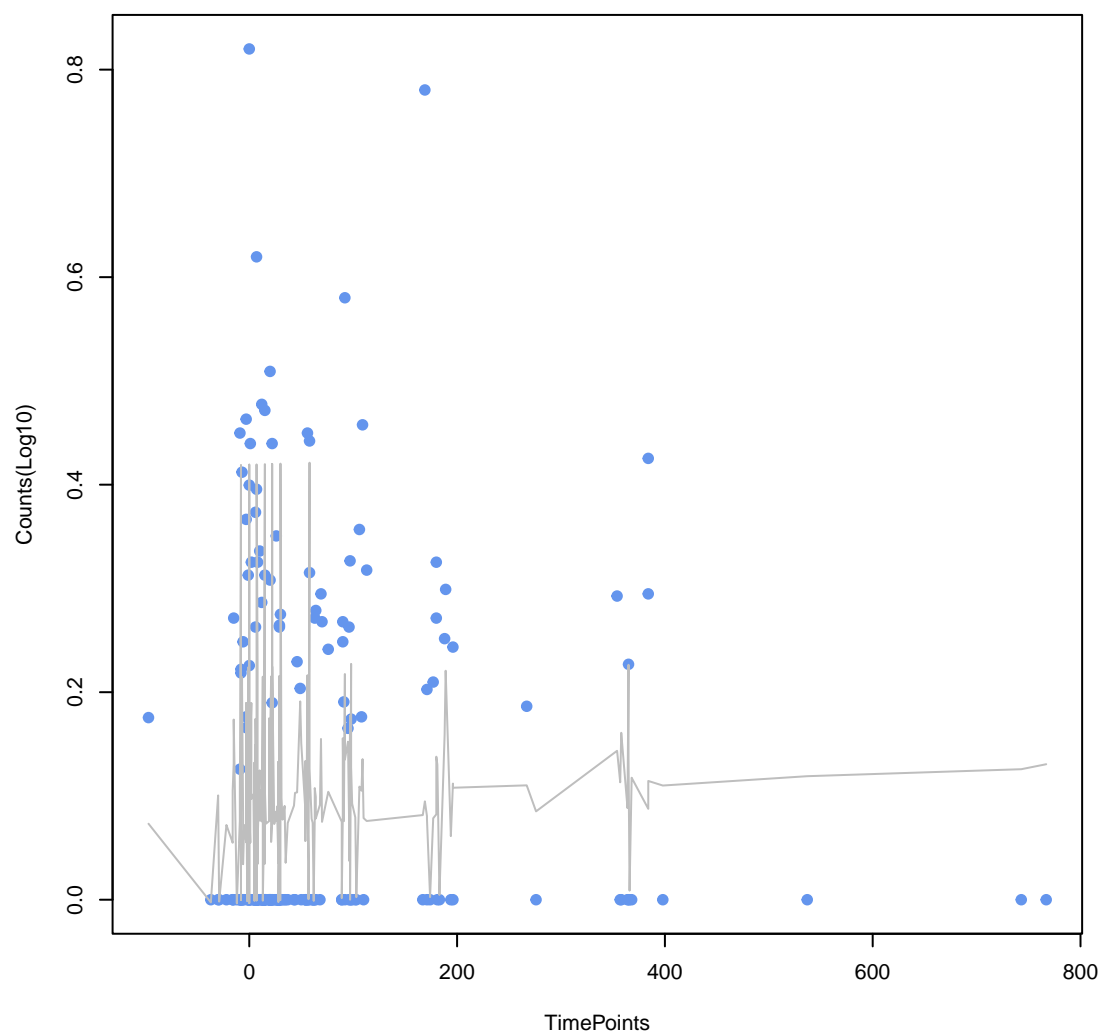
**AcrE**  
ANOVA P=0.676, adj. ANOVA-P=0.871



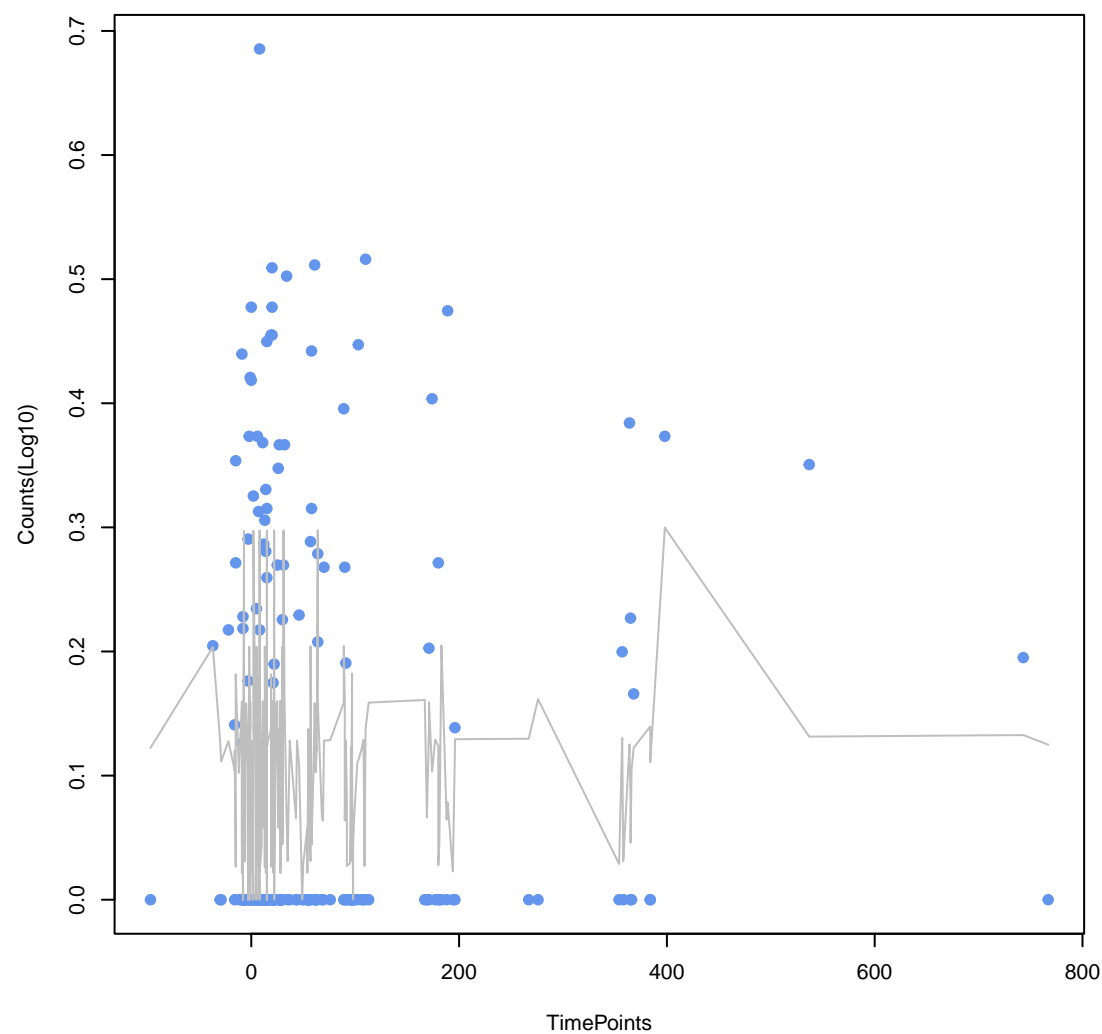
**SAT-4**  
ANOVA P=0.691, adj. ANOVA-P=0.88



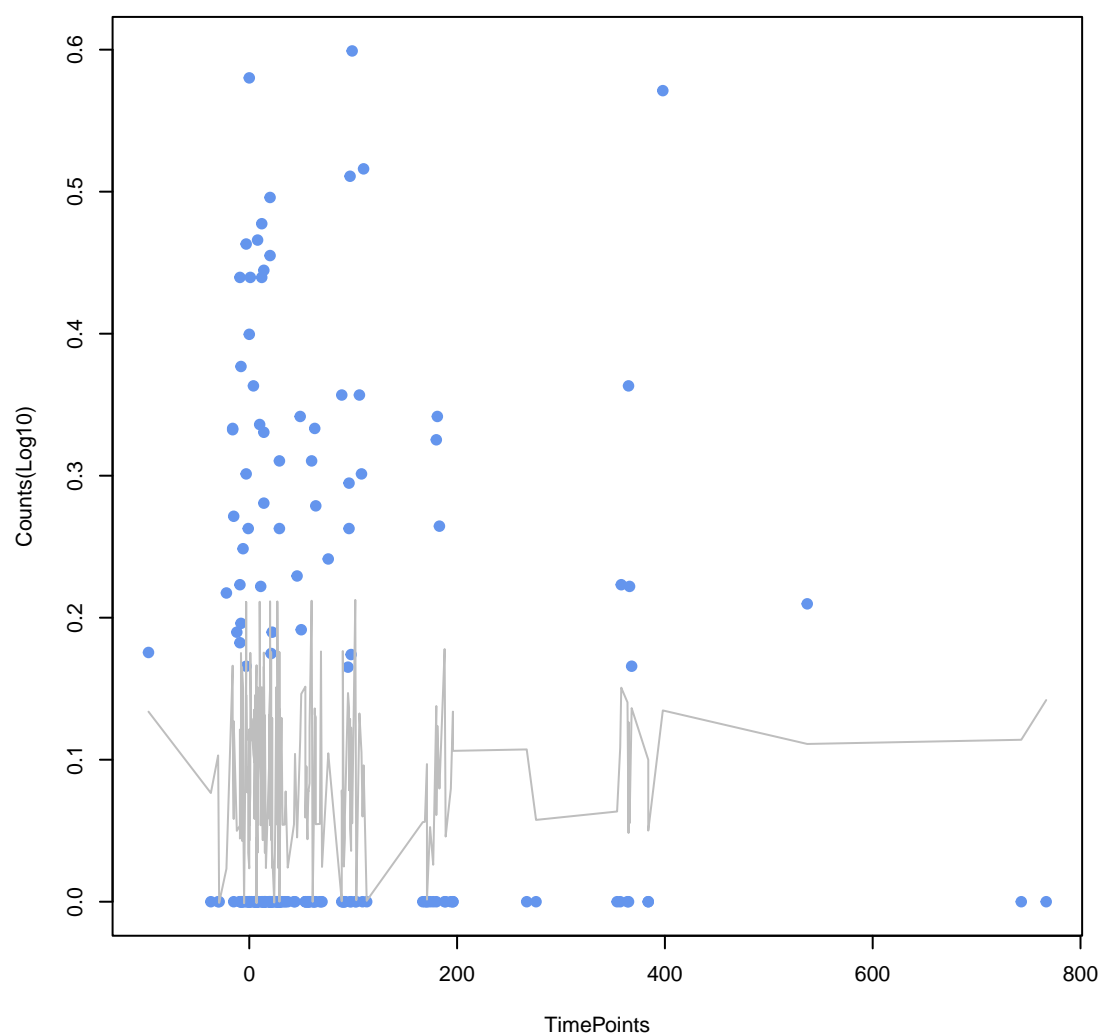
**farB**  
ANOVA P=0.715, adj. ANOVA-P=0.88



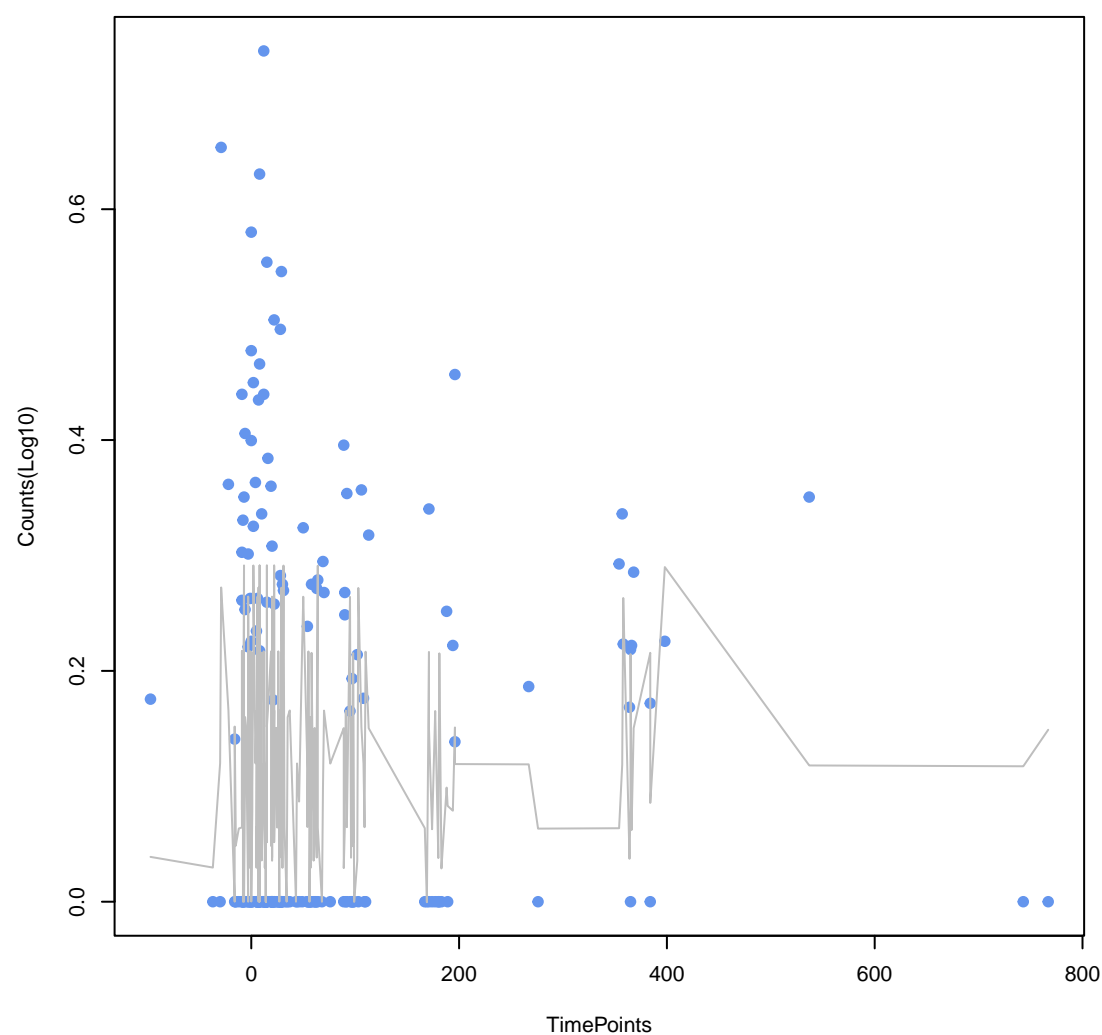
**APH(3'')-lb**  
ANOVA P=0.718, adj. ANOVA-P=0.88



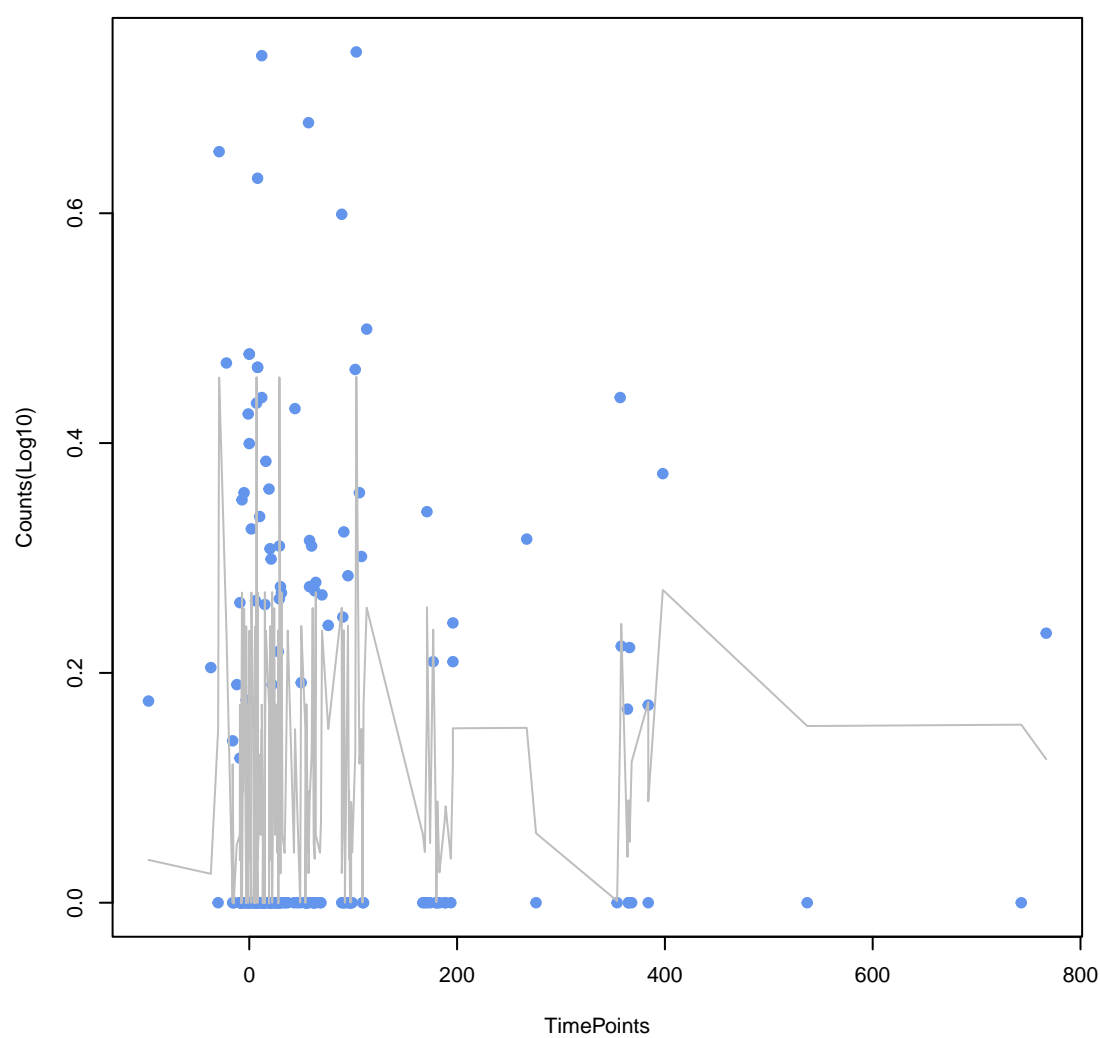
**TaeA**  
ANOVA P=0.727, adj. ANOVA-P=0.88



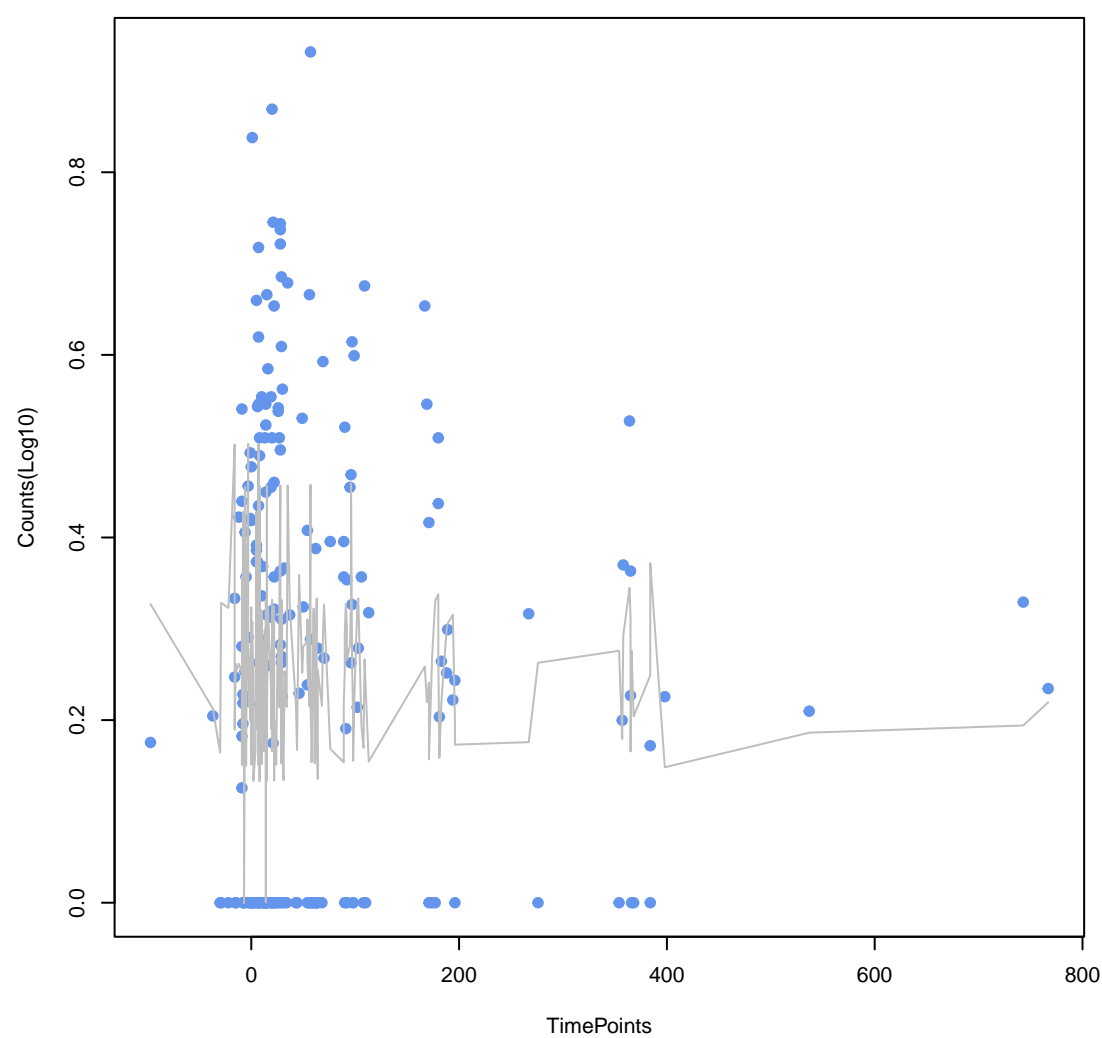
**vanS gene in vanD cluster**  
ANOVA P=0.728, adj. ANOVA-P=0.88



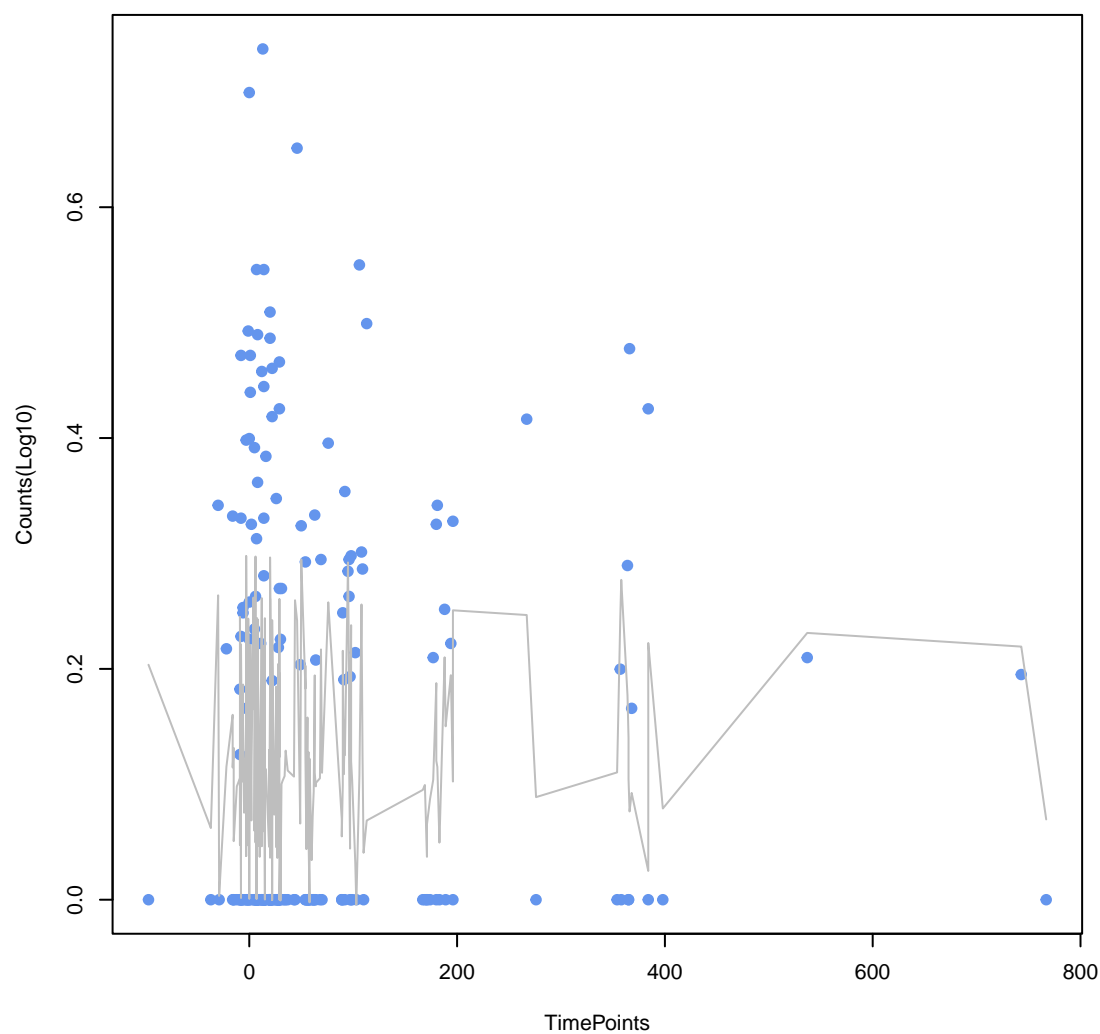
**vanX gene in vanD cluster**  
ANOVA P=0.732, adj. ANOVA-P=0.88



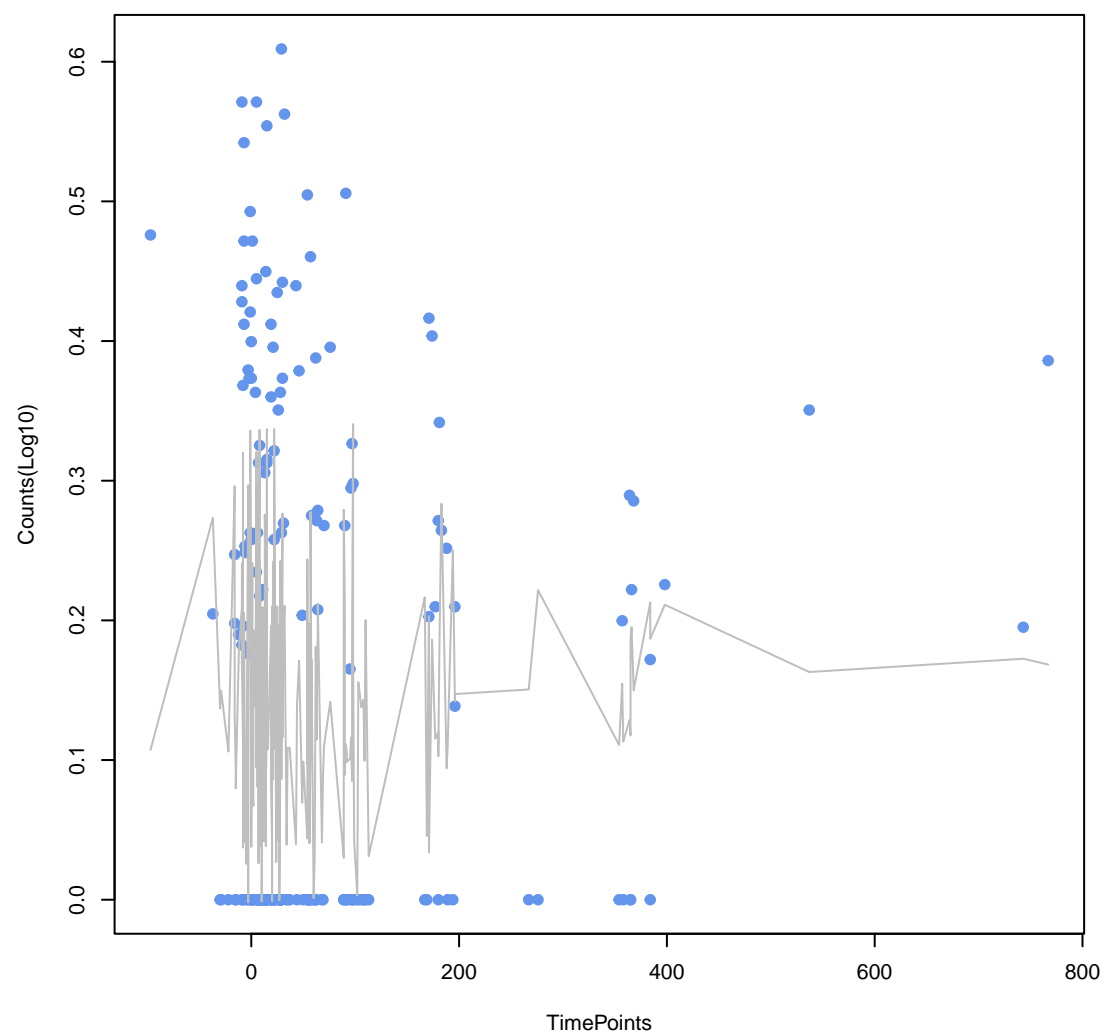
**fexA**  
ANOVA P=0.756, adj. ANOVA-P=0.899



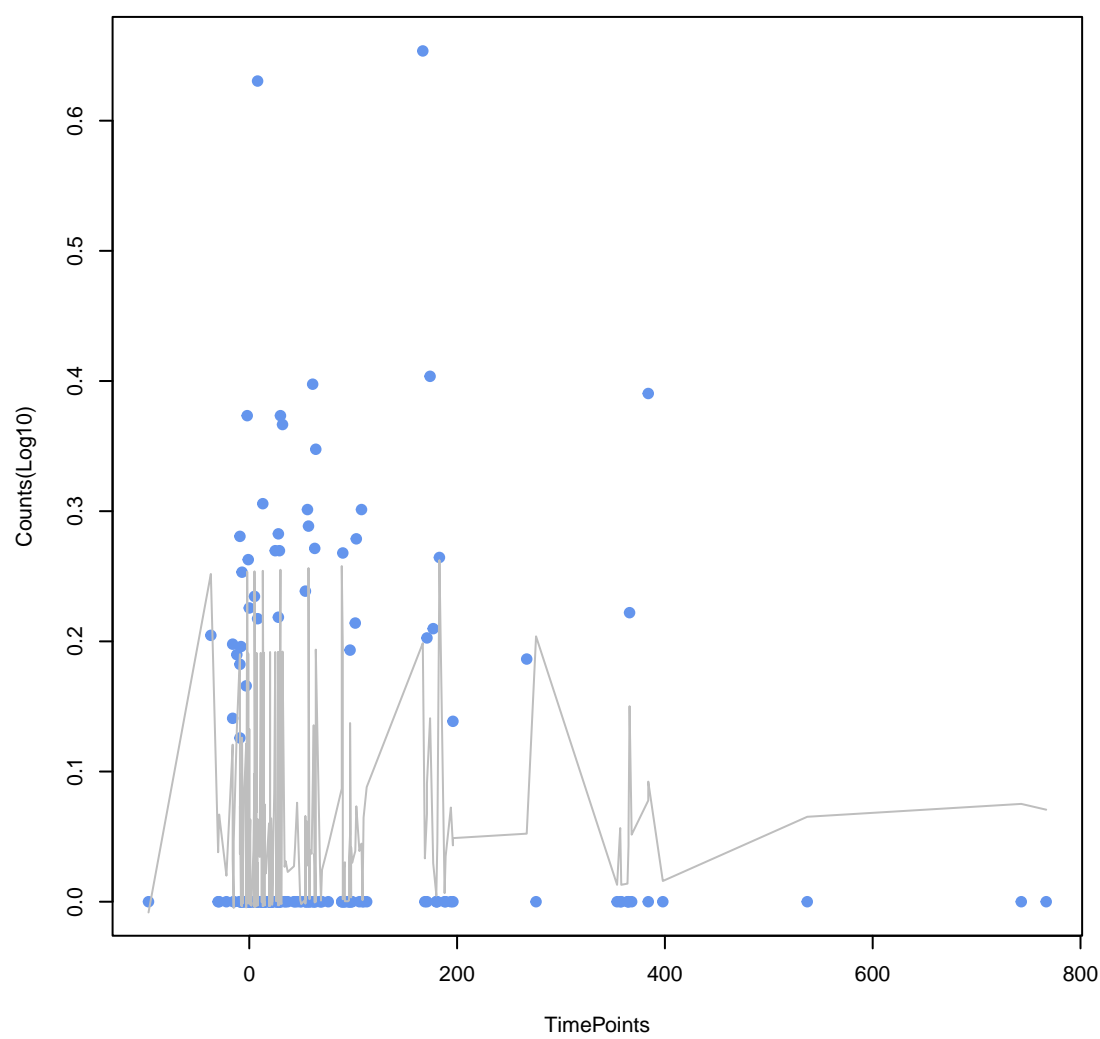
**MuxC**  
ANOVA P=0.765, adj. ANOVA-P=0.9



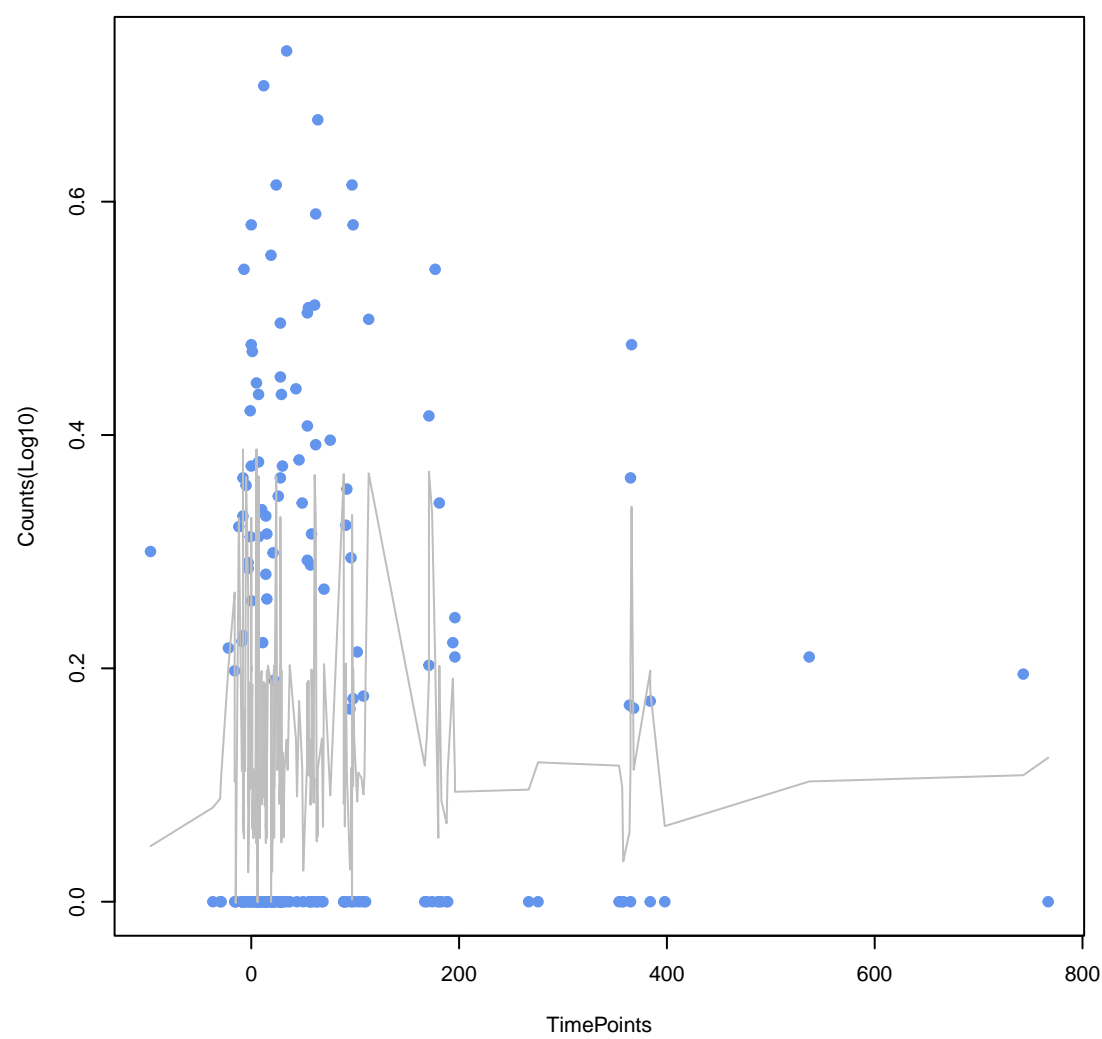
**YojI**  
ANOVA P=0.776, adj. ANOVA-P=0.902



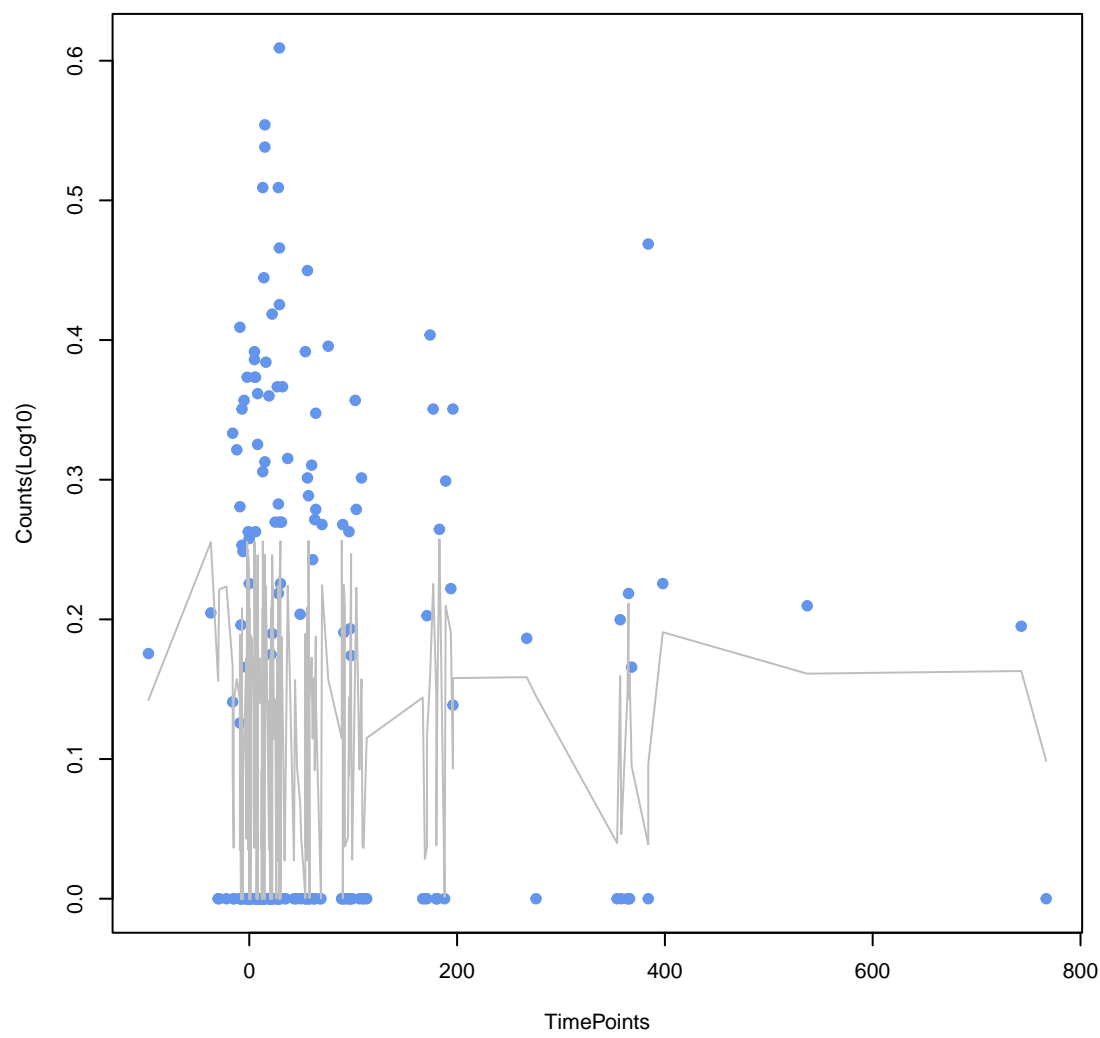
**Escherichia coli GlpT with mutation conferring resistance to fosfomycin**  
ANOVA P=0.791, adj. ANOVA-P=0.911



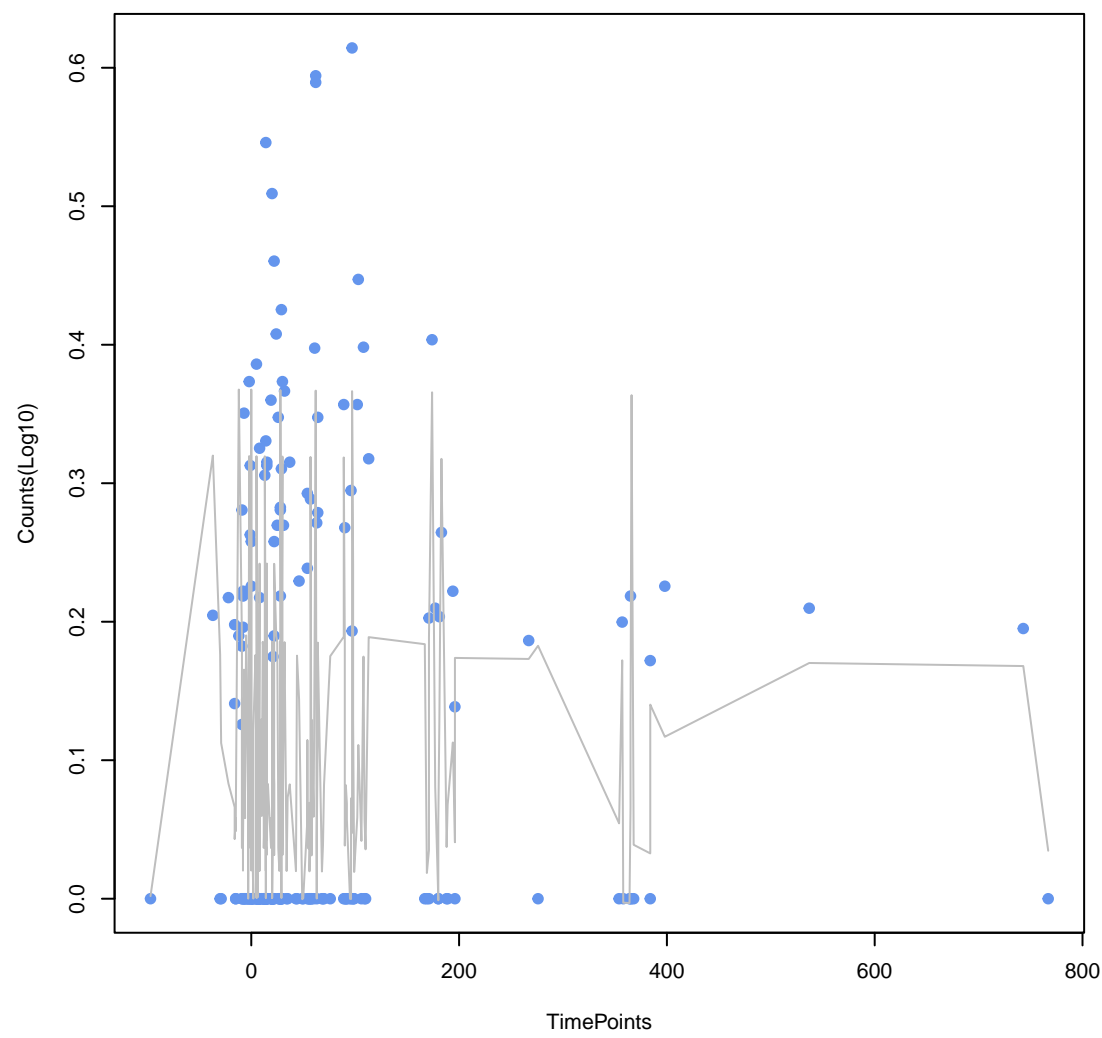
**Klebsiella pneumoniae KpnH**  
ANOVA P=0.819, adj. ANOVA-P=0.926



**kdpE**  
ANOVA P=0.822, adj. ANOVA-P=0.926

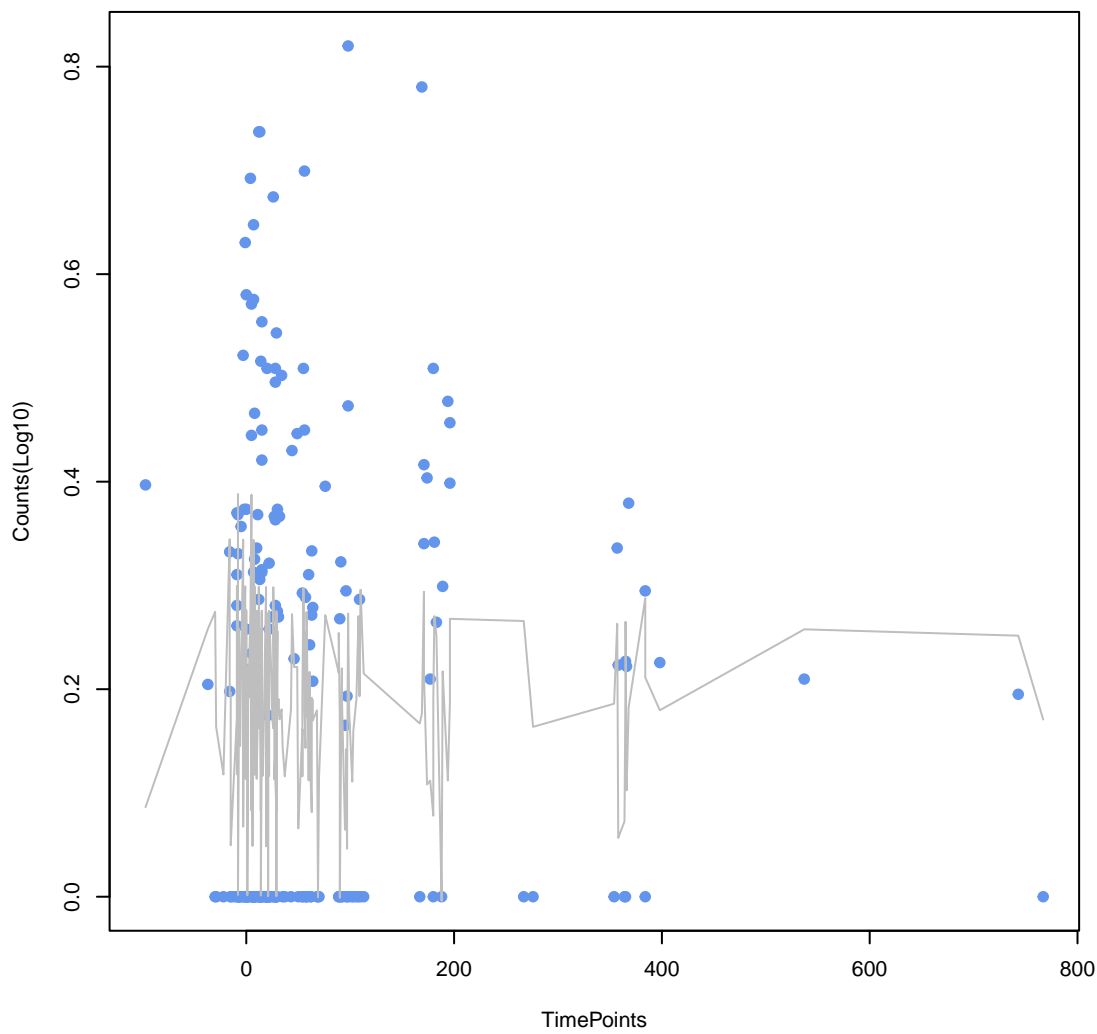


**rsmA**  
ANOVA P=0.857, adj. ANOVA-P=0.955

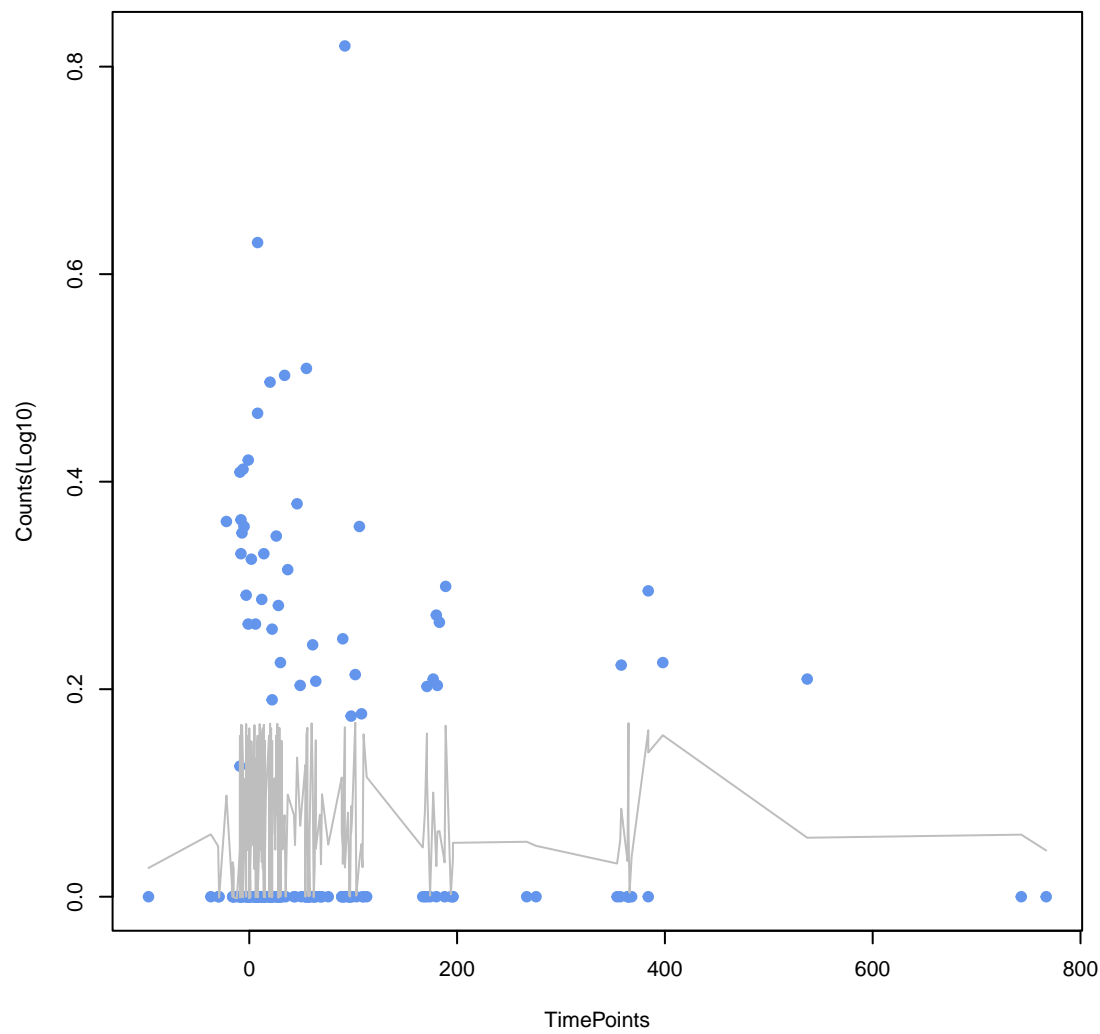




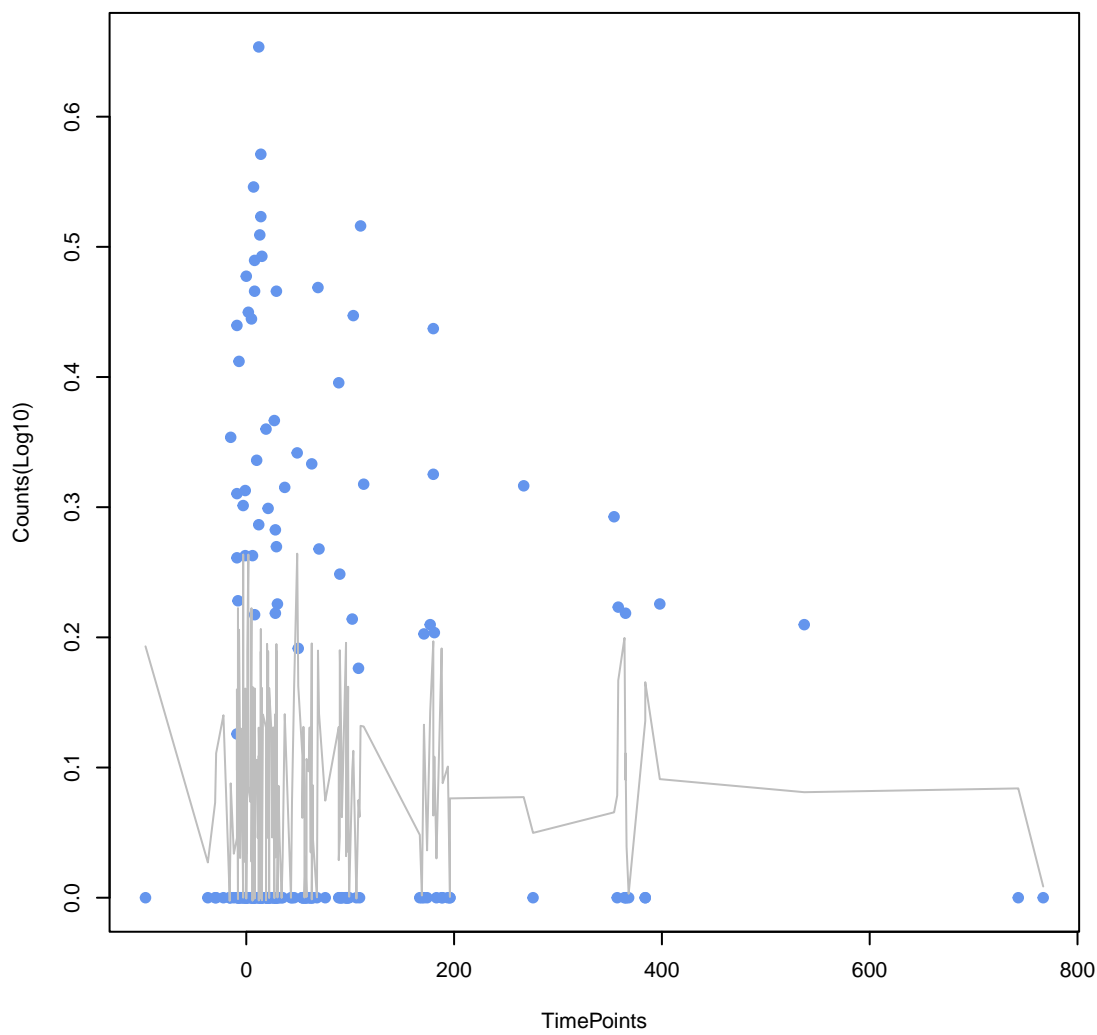
**TolC**  
ANOVA P=0.872, adj. ANOVA-P=0.962



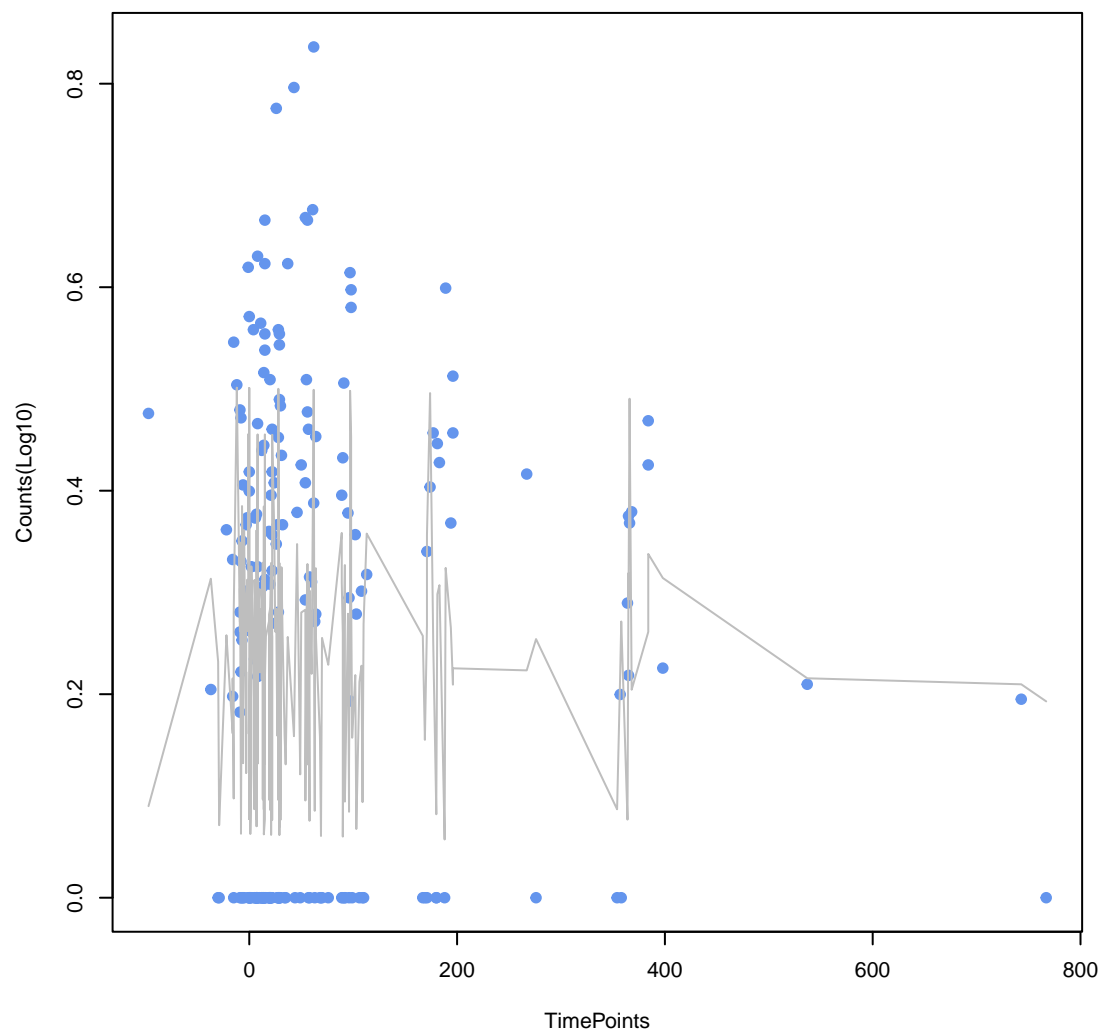
**Klebsiella pneumoniae acrA**  
ANOVA P=0.881, adj. ANOVA-P=0.962



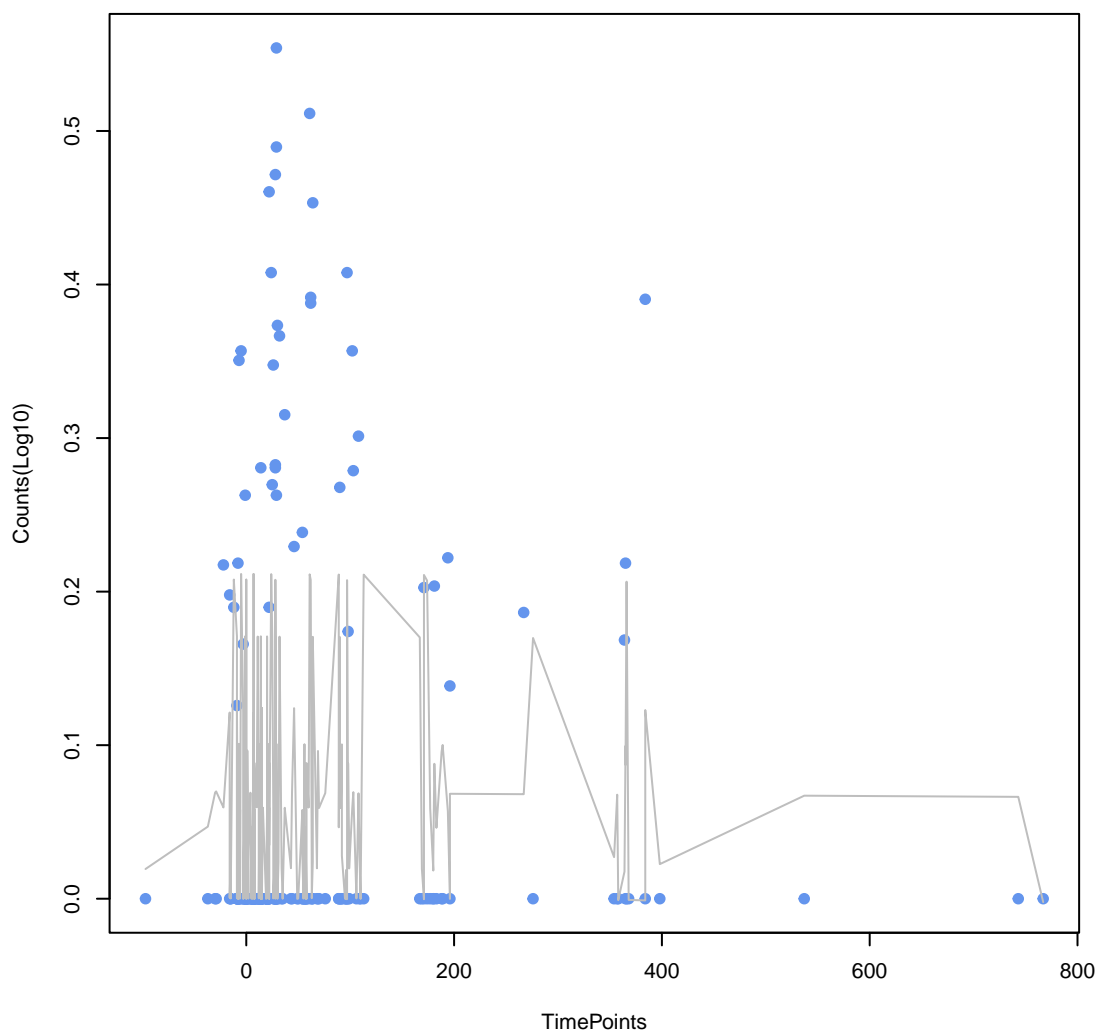
**oleB**  
ANOVA P=0.899, adj. ANOVA-P=0.971



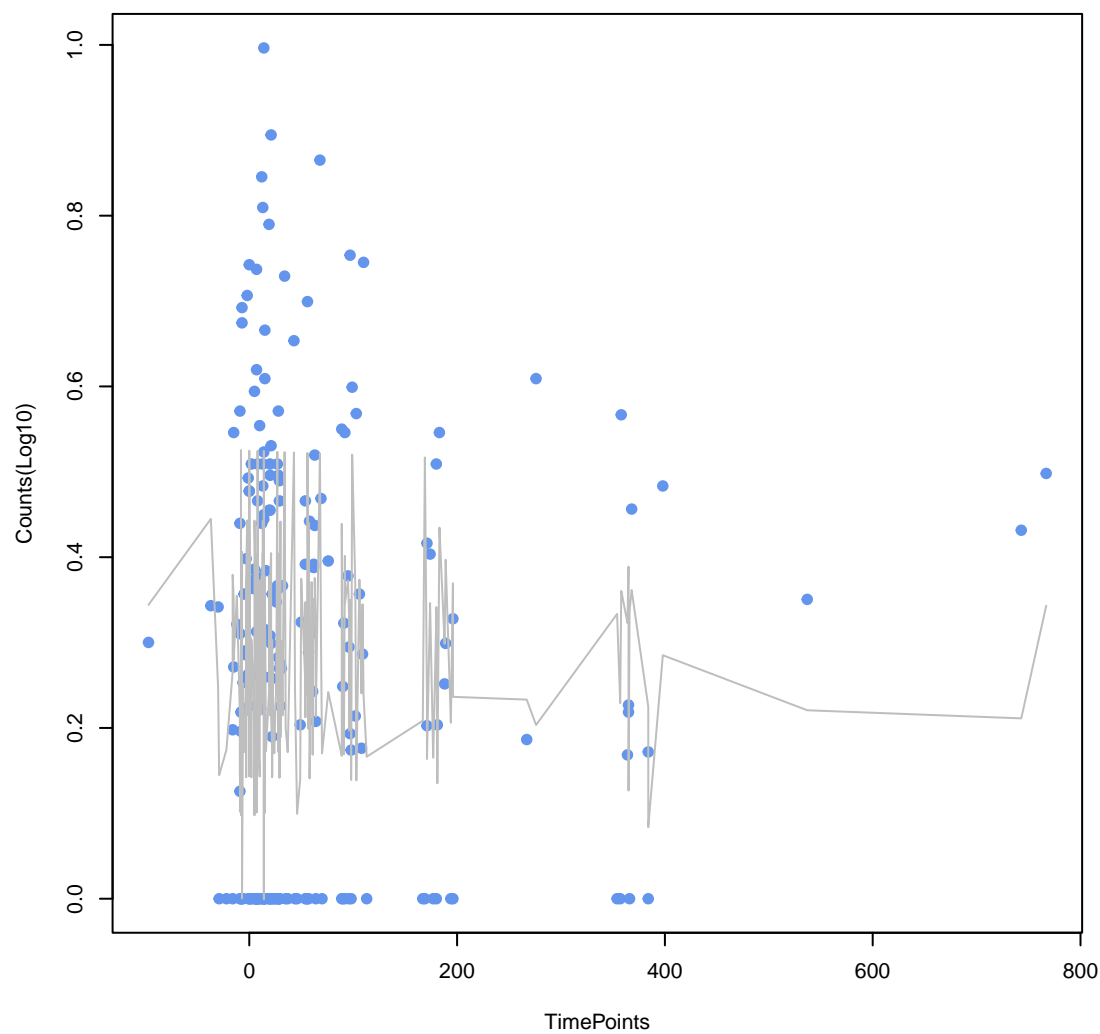
**msbA**  
ANOVA P=0.93, adj. ANOVA-P=0.972



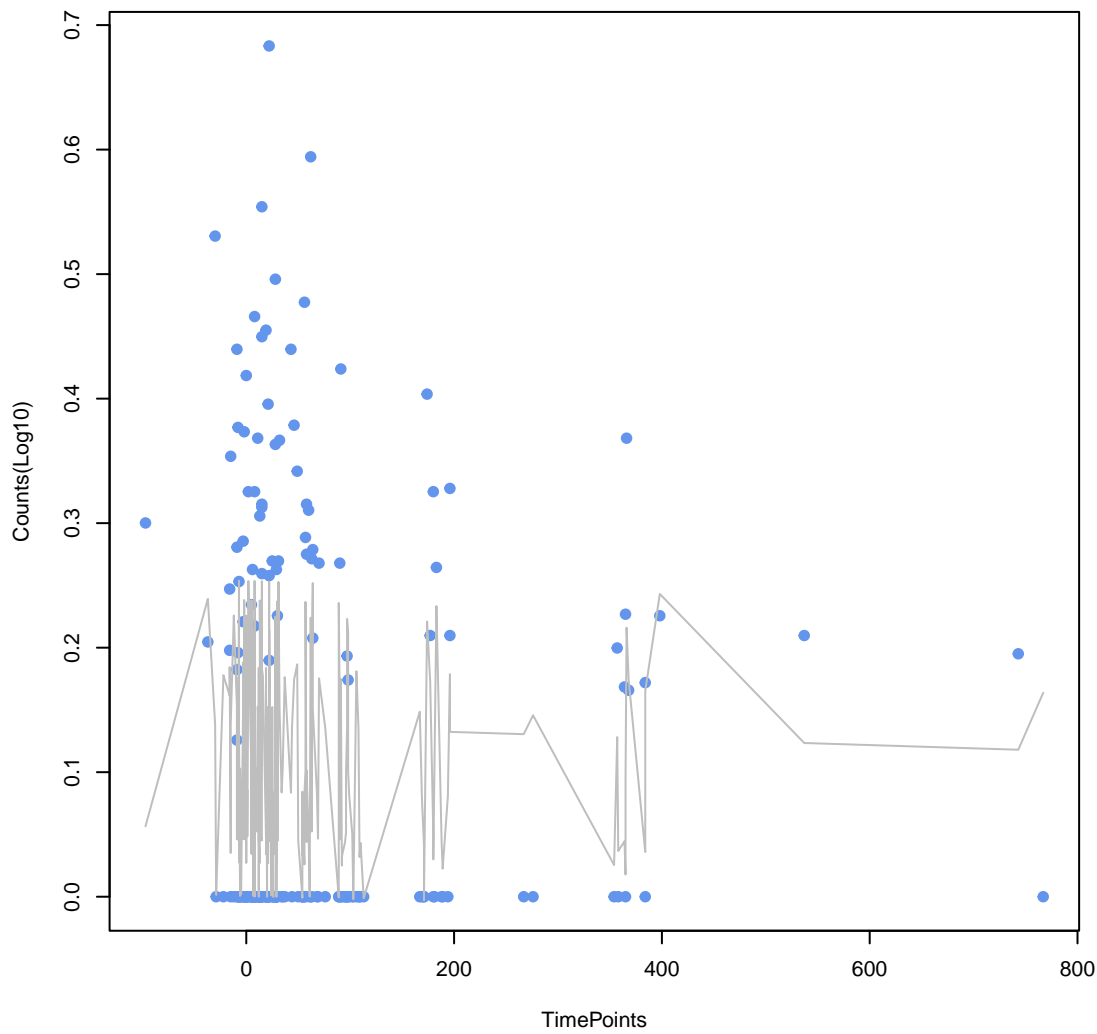
**Escherichia coli UhpT with mutation conferring resistance to fosfomycin**  
ANOVA P=0.931, adj. ANOVA-P=0.972



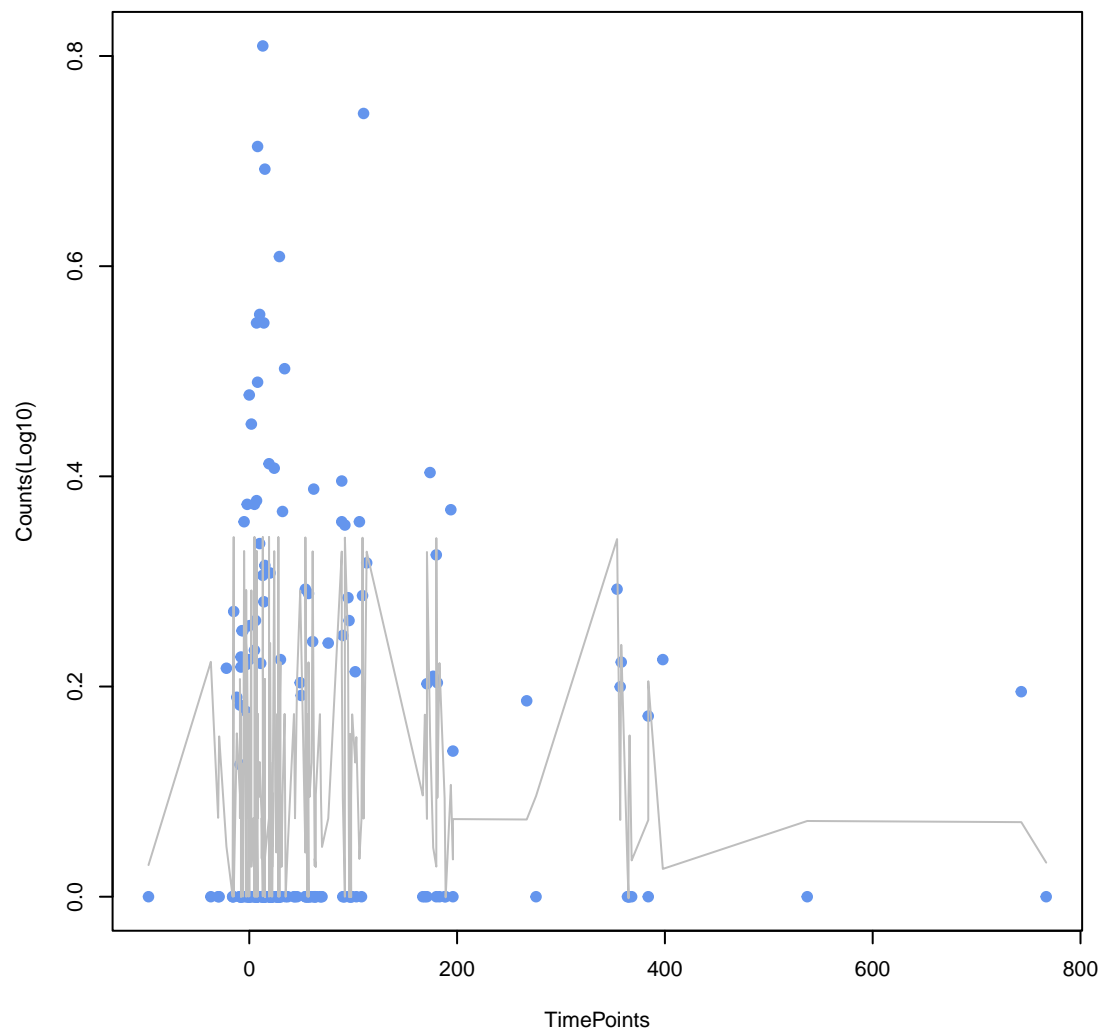
**efrB**  
ANOVA P=0.933, adj. ANOVA-P=0.972



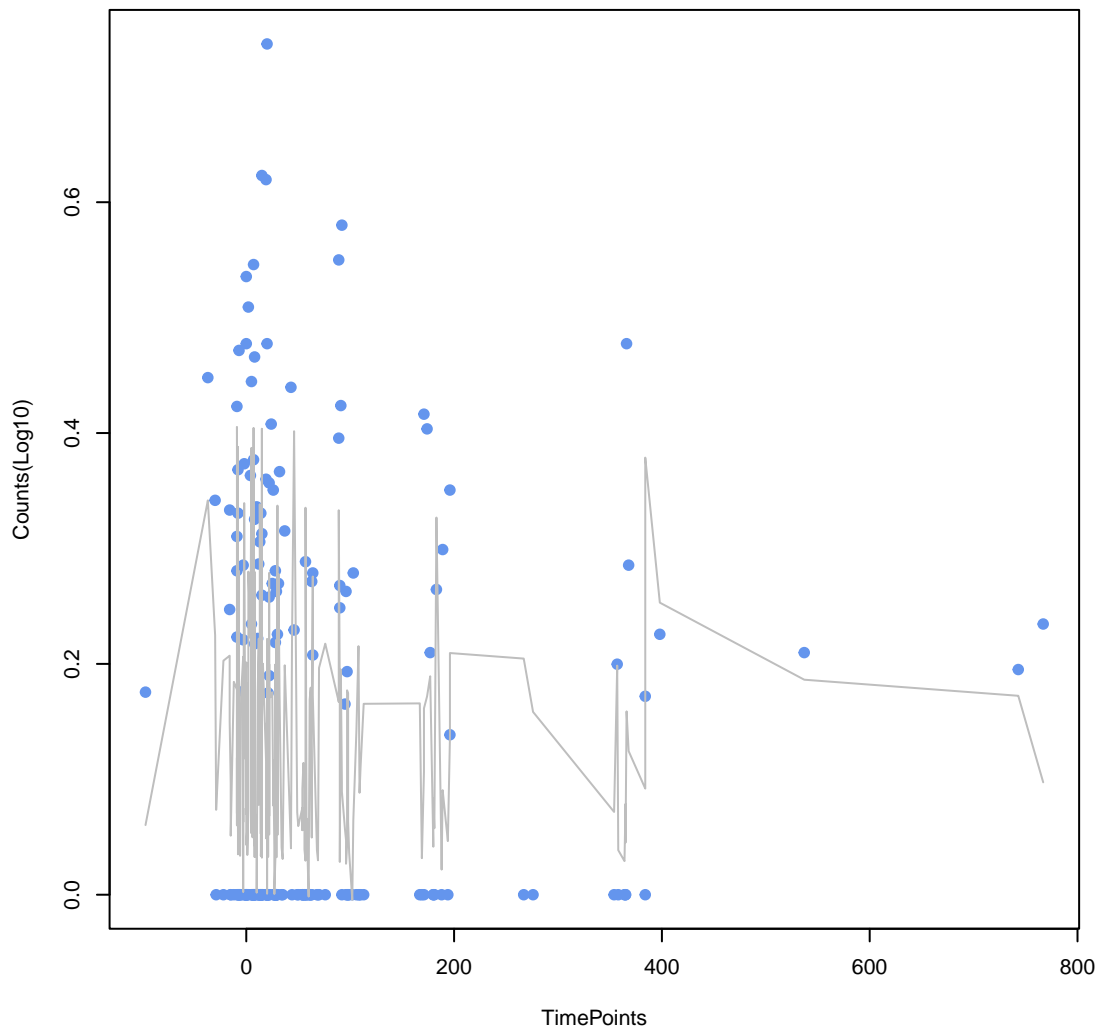
**emrK**  
ANOVA P=0.938, adj. ANOVA-P=0.972



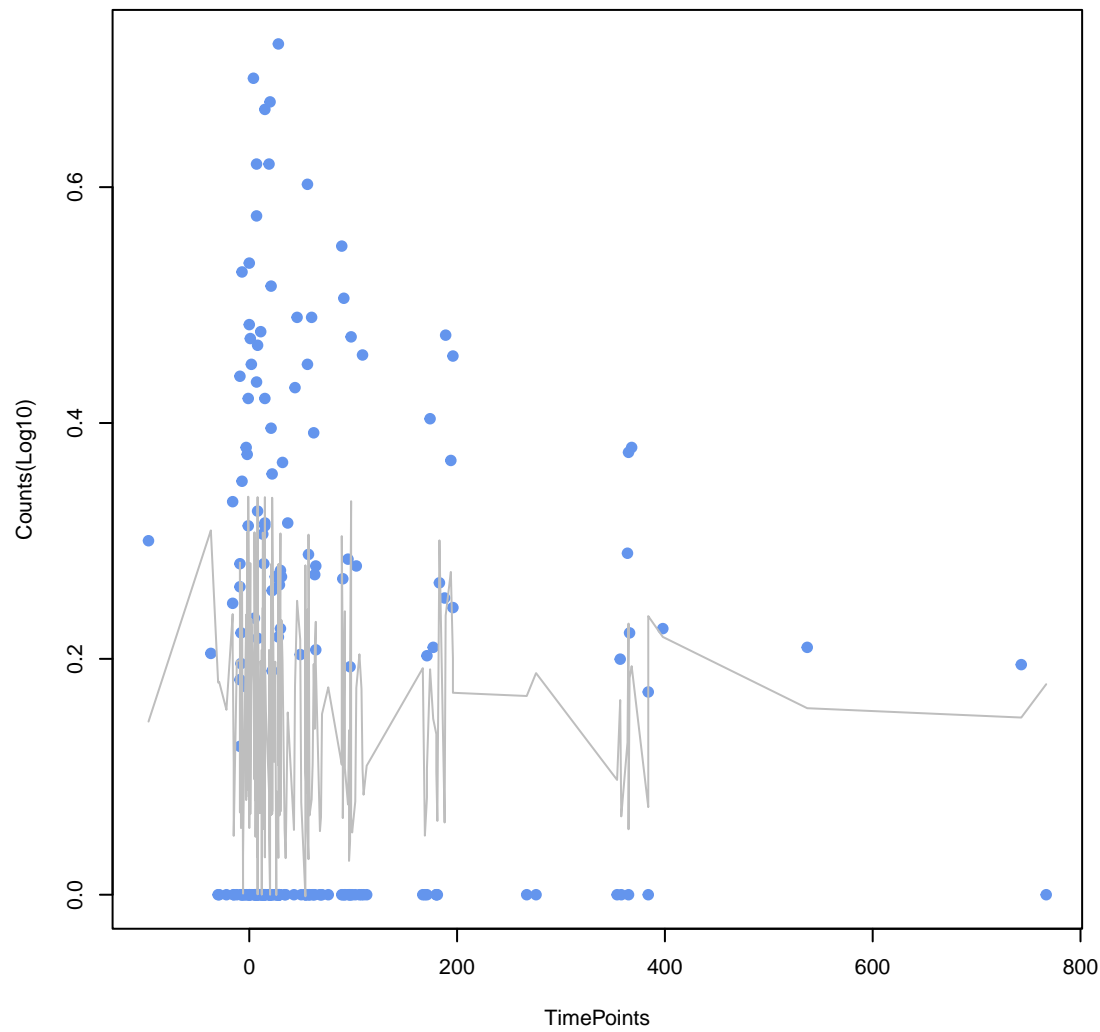
**CfxA3**  
ANOVA P=0.944, adj. ANOVA-P=0.972



**emrY**  
ANOVA P=0.965, adj. ANOVA-P=0.983



**mdtP**  
ANOVA P=0.987, adj. ANOVA-P=0.994



**emrA**  
ANOVA P=0.994, adj. ANOVA-P=0.994

